



FACULTAD DE INGENIERÍA Y ARQUITECTURA ESCUELA PROFESIONAL DE INGENIERÍA CIVIL

Diseño de la infraestructura de riego para mejorar la eficiencia hidráulica del canal El Porvenir 0+000-4+264 km. distrito La Peca-Amazonas

TESIS PARA OBTENER EL TÍTULO PROFESIONAL DE:

Ingeniero Civil

AUTOR:

Flores Serrano, Nayme Hugo (orcid.org/0000-0001-6031-8932)

ASESOR:

Mg. Benites Chero, Julio Cesar (orcid.org/0000-0002-6482-0505)

LÍNEA DE INVESTIGACIÓN:

Diseño de Obras Hidráulicas y Saneamiento

LÍNEA DE RESPONSABILIDAD SOCIAL UNIVERSITARIA:

Desarrollo económico, empleo y emprendimiento

CHICLAYO - PERÚ

2022

Dedicatoria

A Dios por darme vigor para superar todas las pruebas hacia el logro de mis metas personales y profesionales.

A mi padre, por el ejemplo de superación ya que gracias a su apoyo culmino mi carrera profesional.

A mi madre, por sus sabios consejos y amor incondicional que siempre me han motivado a seguir adelante, siendo el pilar en mi vida quien me acompaña hasta la mitad de mi carrera profesional.

Nayme Hugo

Agradecimiento

Mi especial agradecimiento a mi asesor Ing. Julio César Benites Chero, quien me brindó la oportunidad de alcanzar este objetivo, por sus altos conocimientos y experiencia profesional.

Agradecer a todos los ingenieros y profesionales de la Escuela de Ingeniería Civil de la Universidad César Vallejo, que me brindaron sus conocimientos y experiencias, que fueron fundamentales para el desarrollo personal y profesional

Nayme Hugo

Índice de contenidos

| | |
|--------------------------------------------------------------|------|
| CARÁTULA | i |
| DEDICATORIA..... | ii |
| AGRADECIMIENTO..... | iii |
| ÍNDICE DE CONTENIDOS | iv |
| ÍNDICE DE TABLAS | v |
| ÍNDICE DE GRÁFICOS Y FIGURAS | vi |
| RESUMEN | vii |
| ABSTRACT | viii |
| I. INTRODUCCIÓN | 1 |
| II. MARCO TEÓRICO | 4 |
| III. METODOLOGÍA | 14 |
| 3.1 Tipo y diseño de investigación..... | 14 |
| 3.2 Variables y operacionalización | 14 |
| 3.3 Población y muestra, muestreo | 15 |
| 3.4 Técnicas e instrumentos de recolección de datos | 16 |
| 3.5 Procedimientos..... | 16 |
| 3.6 Método de análisis de datos | 17 |
| 3.7 Aspectos éticos | 17 |
| IV. RESULTADOS..... | 18 |
| V. DISCUSIÓN..... | 22 |
| VI. CONCLUSIONES | 27 |
| VII. RECOMENDACIONES..... | 28 |
| REFERENCIAS..... | 29 |
| ANEXOS | 35 |

Índice de tablas

| | |
|---------------------------------------------------------------------|----|
| Tabla 1. Canteras disponibles para la obtención de materiales | 18 |
| Tabla 2. Estudio de mecánicas de suelo de calicatas | 19 |
| Tabla 3. Registro de precipitaciones máximas en 24 horas (mm) | 20 |
| Tabla 4. Parámetros hidráulicos clave del canal | 20 |
| Tabla 5. Diseño del sistema hidráulico del canal el porvenir | 21 |
| Tabla 6. Especificaciones técnicas del canal lateral | 22 |
| Tabla 7. Presupuesto del proyecto | 22 |

Índice de figuras

| | |
|---------------------------------------|----|
| Figura 1. Estado físico del agua..... | 11 |
| Figura 2. Procedimiento..... | 16 |

Resumen

La investigación aborda la necesidad crítica de realizar una evaluación y diseño integral de un canal ubicado en Porvenir 0+000-4+264 km, en el Distrito La Peca, Amazonas. Este proyecto surge de la demanda de optimizar la conducción de agua para riego, con el fin de satisfacer una necesidad insatisfecha y, por ende, mejorar significativamente el rendimiento agrícola de la región. El objetivo principal es elevar la calidad de vida de los agricultores mediante el incremento de las cosechas, lo que se traduciría en una mejora sustancial en sus condiciones de vida y seguridad alimentaria. En su metodología de investigación de un diseño no experimental y descriptivo. Por otro lado, en sus resultados se detalla que el suelo predominante en la zona es de tipo CL, enfrentando una precipitación máxima de 245.5 mm. El análisis propone un caudal para el canal de 1.14 m³/s, con un ancho de solera de 0.9 m, y una pendiente del 0.8 %. Se identifica un flujo supercrítico, alcanzando velocidades de 2.6091 m/s, lo que sugiere una capacidad óptima para el manejo eficiente del agua. La evaluación ambiental del proyecto confirma su viabilidad, proyectando una ejecución efectiva en un periodo de 129 días calendario. Se concluye la importancia vital de infraestructuras de riego ya que es un soporte esencial para el desarrollo sostenible de comunidades agrícolas en áreas vulnerables. Mediante la implementación de este diseño, se busca no solo cubrir las necesidades actuales sino también asegurar un futuro más próspero para los agricultores y familias.

Palabras clave: Canal, riego, ejecución, infraestructura, diseño integral.

Abstract

The research addresses the critical need to carry out a comprehensive evaluation and integral design of a canal located in Porvenir 0+000-4+264 km, in the La Peca District, Amazonas. This project arises from the demand to optimize the conduction of water for irrigation, in order to satisfy an unmet need and, therefore, significantly improve the agricultural performance of the region. The main objective is to raise the quality of life of farmers by increasing harvests, which would translate into a substantial improvement in their living conditions and food security. In its research methodology of a non-experimental and descriptive design. On the other hand, its results detail that the predominant soil in the area is CL type, facing a maximum reception of 245.5 mm. The analysis proposes a flow rate for the channel of 1.14 m³/s, with a sill width of 0.9 m, and a slope of 0.8 %. A supercritical flow is identified, reaching velocities of 2.6091 m/s, which suggests an optimal capacity for efficient water management. The environmental evaluation of the project confirms its viability, projecting effective execution in a period of 129 calendar days. The vital importance of irrigation infrastructure is concluded as it is an essential support for the sustainable development of agricultural communities in vulnerable areas. By implementing this design, we seek not only to meet current needs but also to ensure a more prosperous future for farmers and families.

Keywords: Canal, irrigation, execution, infrastructure, integral design.

I. INTRODUCCIÓN

En los últimos años, los proyectos de irrigación han enfrentado diversos problemas en sus diferentes etapas, incluyendo el diseño, la operación y la ejecución. Según Chen et al. (2024), estas dificultades se manifiestan en la falta de mejoramiento de la infraestructura de riego en las construcciones, lo que resulta en sistemas que no funcionan adecuadamente, impidiendo así el incremento de la eficiencia de conducción y la productividad agrícola.

Adicionalmente, Moreno et al. (2024) complementan esta perspectiva señalando que, específicamente en la totalidad de los canales de riego en la ciudad de Ecuador, se presentan problemas significativos. Estos incluyen deficiencias en el diseño, así como la inexistencia de métodos, normas o reglamentos específicos para el diseño de canales que permitan determinar el comportamiento óptimo de la estructura.

En Bolivia, la distribución de los recursos hidráulicos presenta grandes desafíos, siendo estos escasos y mal distribuidos. Según Gao et al. (2024), mientras que las planicies costeras disfrutan de una abundancia de agua, en el resto del país este recurso es notablemente escaso. Esta disparidad geográfica en la disponibilidad de agua, junto con la alta demanda del sector agrícola, está generando una presión significativa para reformar las políticas relacionadas con el manejo adecuado de este recurso vital, como señalan Cai et al. (2023).

Además, Li et al. (2024) destacan que el deterioro de la infraestructura de la red de conducción de agua agrava esta situación. Las pérdidas significativas por fugas e infiltración en canales de tierra, junto con un control deficiente del agua en estos sistemas, evidencian la urgente necesidad de atender el mal estado de la infraestructura.

A nivel nacional, la necesidad de fortalecer la política agrícola es evidente, requiriéndose de una adecuada capacidad estatal y formulación interinstitucional. Esto, como apuntan Baque y Merchán (2023), permitiría trabajar de manera coordinada con los gobiernos locales en las infraestructuras de riego, esenciales para abastecer las necesidades hídricas de los cultivos. En este contexto, la mejora de la productividad y producción agrícola, especialmente en la sierra central, se ha

establecido como un objetivo clave. Según Nuñez (2022), esta mejora se basa en la realización de planes de infraestructura de riego diseñados específicamente para dotar de agua a la población, enfatizando la importancia de una gestión eficaz del recurso hídrico. Por otro lado, Montoya (2020) destaca un problema crítico: la infraestructura de riego en el sector Chancay se encuentra deteriorada tras casi medio siglo de uso, con componentes dañados debido a la insuficiente inversión y mantenimiento. Esta situación subraya la urgencia de renovar y mantener adecuadamente estas infraestructuras esenciales. A nivel local, el análisis del canal de riego en estudio revela su estado de excavación, caracterizado por pendientes mínimas y secciones sobredimensionadas, lo que conduce a problemas como el estancamiento del agua. Este diagnóstico sugiere la necesidad de un rediseño que contemple una máxima eficiencia hidráulica, lo que permitiría modelar de manera óptima el comportamiento del flujo de agua en toda la infraestructura. Por lo que resulta imprescindible plantearse como problema general, la siguiente interrogante: ¿Con el Diseño de la infraestructura de riego se podrá mejorar la eficiencia hidráulica del canal El Porvenir 0+000-4+264 km. Distrito la Peca-Amazonas?, planteándose los problemas específicos: ¿Cuál es el estado situacional del Diseño de la infraestructura de riego para mejorar la eficiencia hidráulica del canal El Porvenir 0+000-4+264 km. Distrito la Peca-Amazonas? ¿Influyen los estudios básicos de ingeniería del Diseño de la infraestructura de riego para mejorar la eficiencia hidráulica del canal El Porvenir 0+000-4+264 km. Distrito la Peca-Amazonas? ¿En la implementación del diseño del sistema hidráulico de la infraestructura de riego mejorará la eficiencia hidráulica del canal El Porvenir 0+000-4+264 km. Distrito la Peca-Amazonas? ¿Cuál es la evaluación de costos, presupuesto e impacto ambiental del diseño de la infraestructura de riego para mejorar la eficiencia hidráulica del canal el Porvenir 0+000-4+264 km Distrito la Peca-Amazonas? Por consiguiente, la investigación se justifica en cuatro enfoques: Académico: porque permite aplicar los logros de aprendizaje alcanzados de la carrera profesional en el desarrollo; técnicamente, porque existe un canal que necesita una evaluación y diseño integral en el distrito para mejorar la eficiencia de conducción y cubrir la demanda insatisfecha de riego, socialmente, porque la contribuirá directamente a que los agricultores; sobre manejo de la eficiencia del canal de riego, y esta manera se estaría mejorando el rendimiento de la producción

agrícola en beneficio de la población, garantizando una mejor calidad de vida, ya que las cosechas se incrementarían y los agricultores tendrían mejores condiciones de vida. Es ambiental, porque los habitantes de la localidad el porvenir del distrito de la Peca se dedica primordialmente a la actividad como sustento económico a la agricultura, por lo cual la finalidad de mejorar se desarrolla con la infraestructura de riego para elevar la eficiencia hidráulica y esta manera los pobladores asuman nuevas formas para optimizar la sostenibilidad del recurso.

En este sentido el objetivo general es Diseñar la infraestructura de riego para mejorar la eficiencia hidráulica del canal El Porvenir 0+000-4+264 km. Distrito la Peca-Amazonas. Lo cual tiene como objetivos específicos: Diagnosticar el estado situacional del Diseño de la infraestructura de riego para mejorar la eficiencia hidráulica del canal El Porvenir 0+000-4+264 km. Distrito la Peca-Amazonas. Elaborar los estudios básicos de ingeniería del Diseño de la infraestructura de riego para mejorar la eficiencia hidráulica del canal El Porvenir 0+000-4+264 km. Distrito la Peca-Amazonas. Diseñar el sistema hidráulico de la infraestructura de riego para mejorar la eficiencia hidráulica del canal El Porvenir 0+000-4+264 km. Distrito la Peca-Amazonas. Elaborar los costos, presupuesto del Diseño de la infraestructura de riego para mejorar la eficiencia hidráulica del canal El Porvenir 0+000-4+264 km. Distrito la Peca-Amazonas. En su hipótesis general: El diseño de la infraestructura de riego mejorará la eficiencia hidráulica del canal El Porvenir 0+000-4+264 km. Distrito la Peca-Amazonas. Hipótesis específicas: El diagnóstico situacional del Diseño de la infraestructura de riego permitirá conocer los factores que determina la situación en la que se encuentra el canal El Porvenir 0+000-4+264 km. Distrito la Peca-Amazonas. Realizar los estudios básicos de ingeniería mejorará el Diseño de la infraestructura de riego para mejorar la eficiencia hidráulica del canal El Porvenir 0+000-4+264 km. Distrito la Peca-Amazonas. Diseñar el sistema hidráulico de la infraestructura de riego mejorará la eficiencia hidráulica del canal el Porvenir 0+000-4+264 km. Distrito la Peca-Amazonas. La evaluación de costos, presupuesto e impacto ambiental del Diseño de la infraestructura de riego mejorará la eficiencia hidráulica del canal El Porvenir 0+000-4+264 km. Distrito la Peca-Amazonas.

II. MARCO TEÓRICO

A nivel Internacional existen trabajos relativos al presente tema de investigación; según Baltodano y Morales (2020) en su estudio expresa diseñar el sistema de conducción, red secundaria y primaria y reservorio para el sistema de riego y describir los aspectos teóricos del diseño hidráulico y su marco legal. Donde concluye que el diseño del proyecto se realizó mediante el software HCANALES mostrando las características hidráulicas del canal con máxima eficiencia, permitiendo la buena marcha hidráulica de todo el canal, en un diseño de un talud de 0.50, 4m de base y un ángulo de 63. 42° y un espejo de agua de 5.60 m y el borde de 1m por donde transitara el caudal de 57.13 m³, asimismo en el revestimiento, con un espesor de losa de 15cm con acero reforzado en un concreto hidráulico de 210kg/cm².

Además, Moya y Álvarez (2018) En su estudio expresa sobre la “Modelación Hidráulica de un canal urbano del canal río negro”, teniendo como finalidad realizar los estudios para analizar la problemática del canal Río Negro. La metodología de investigación es de enfoque cuantitativa y de tipo descriptivo. Finalmente concluye que se ha logrado implementar un nuevo diseño de canal de riego, ubicado en la zona de alta precipitación en época de lluvias; donde se consideró el reforzamiento de las áreas de desbordamiento, estas áreas se ubican en zonas urbanas y afectan a ciudades y zonas cercanas al canal, por lo que es necesario realizar cálculos con caudal suficiente para evitar desbordamientos y así proteger a los habitantes del área adyacente al canal.

Por otro lado, Mogro et al. (2019) en su artículo expresa analizar la innovación tecnología en la aplicación de riego presurizado con la tecnificación y el grado de adopción tradicional de riego y verificar el grado de compromiso de los regantes, en adopción al sistema de riego. La metodología aplicada contiene un análisis mediante la teoría de la innovación. Finalmente concluye que el 14% de 7 directivos han adoptado el sistema de riego para 490 ha, con un reservorio de 80000 m³.

Luego, Olivero (2018) en su estudio expresa que el objetivo es mostrar los puntos de la ubicación de que representan un riesgo de desbordamiento, asimismo la cantidad de sedimentos es cuantificar y desarrollar un modelo hidráulico del canal como garantizar la “funcionalidad y la seguridad” de su

operación. La metodología de investigación es experimental mediante un enfoque cuantitativo. Los resultados obtenidos nos hablan que el trabajo de mantenimiento es fundamental para el buen funcionamiento de la eficiencia hidráulica del canal, para evitar de esta manera desbordamiento e inundaciones. En conclusión, la mejor alternativa es brindar un mantenimiento permanente para controlar el desgaste del canal y de las crecientes aguas por causa de las lluvias.

Consecuentemente en este orden, la presente investigación se empleó los antecedentes nacionales para el presente estudio de Asalde (2020) expresa en su contenido determinar la influencia principal de la aplicación del sistema HEC-RAS en la elaboración del diseño de la infraestructura de riego con una máxima eficiencia hidráulica(MEH) del km 0+000 al km 3 + 3085 de la región de Lambayeque. La metodología es de tipo descriptiva, de enfoque cuantitativo y aplicada donde se llevará a cabo un análisis de cálculo del módulo de riego y con el trazo de tres pendientes a lo largo del eje longitudinal. Finalmente tiene como conclusión que el software se llega a modelar de manera correcta, pero siempre cuando se ingresen las secciones y superficie correctas, determinando la influencia del diseño geométrico del canal de riego con una MEH en el km 0+000 al 3+085.

Otro aporte, Pasco y Rosas (2020) En su estudio expresa analizar la influencia de la sección triangular y trapezoidal como determinar estas secciones y obtener la sección eficiente del mejoramiento hidráulico del canal. La metodología de investigación es de tipo aplicada, mediante un enfoque cuantitativo y un diseño cuasiexperimental. La población es el canal de regadío de 600 metros y la muestra del estudio es el tramo comprendido desde la progresiva 0+500 a 0+600.00 del canal de regadío. En conclusión, la influencia de la sección trapezoidal fue positiva en el mejoramiento hidráulico esto porque el tirante de la sección rectangular es de 0.332, asimismo la influencia de la secciones trapezoidales, triangulares y rectangulares se determinan con una sección trapezoidal del 3% de pendiente con una altura máxima de 0.467.

Luego, Aranda y Pinedo (2019) Expresa como objetivo realizar la propuesta y evaluación de diseño del canal de riego de Coriac del departamento de Ancash. La metodología de investigación es aplicada, mediante un diseño experimental y un enfoque cuantitativo. La población está determinada por el canal de riego de Coriac, la muestra en estudio es 965.00 metros lineales del canal.

Finalmente concluye que se registró excesivas pérdidas de agua para el sector agrícola, donde el caudal del canal es de 76.94 m³/s y una salida de 19.91 m³/s, abordando una diferencia de 60.03 m³/s el cual ayuda para tener en cuenta una mejor propuesta de diseño hidráulico, igualmente las tipologías geométricas se determinan por una base de 0.30 m y un tirante normal de 0.103m, con un borde de 0.20 m y un 0.506 m de su perímetro.

Se suma Ricaldi y Martinez (2021) En su estudio expresa que los canales de riego en la actualidad son diseñados para abastecer el agua para la producción de agricultura es por ello que la investigación presenta como objetividad la determinación de la eficiencia hidráulica de canal de riego y en los canales de riego por gravedad estimar la magnitud de los tirantes. En su metodología presenta una investigación de tipo aplicada, el método aplicar es científico y se inicial mediante la observación directa, de la deficiencia hidráulica en canal de riego, mediante una investigación explicativa, no experimental. La población está determinada por el canal Matriz de Huarisca de 18.8 km, en toda su extensión y la muestra se conforma por un tramo.

Por otro lado, Ascencio (2021) expresa en su objetivo evaluar y diseñar el canal integrados Santa San Bartolo, cuyo fin es mejorar el servicio de agua para riego y desarrollar el diseño hidráulico. La investigación es cuantitativa, de tipo descriptivo. En conclusión, la evaluación del diseño de canal incidió positivamente en mejorar el servicio de la población porque permitió la identificación de la problemática y acciones inmediatas proponer, asimismo en el diseño hidráulico, en sus dimensiones existentes llegan a cumplir satisfactoriamente con el caudal, donde se muestre viable construir y volver a reponer la estructura dañada con la geometría misma que presenta.

Finalmente, con respecto a los antecedentes locales Chuquipa (2020) en su estudio expresa que el objetivo es diseñar el canal. En sus resultados los estudios hidrológicos realizados en el área del proyecto, concluimos que el agua que se espera recolectar del río Tañuspe para abastecer el Canal de Monterrico es suficiente y que no existen problemas de escasez de agua en los tramos bajos del río Tañuspe. Finalmente se concluye que, tomando en cuenta los estudios de mecánica de suelos realizados, pudimos demostrar que el terreno por donde pasa

el eje del cauce tiene una fuerza cohesiva moderada y está compuesto por capas de limo y arcilla.

En el departamento de amazonas mantiene actualmente una brecha para el manejo de la agricultura y riego en el distrito la Peca, pero por el producto del cambio climático sin embargo presenta un inadecuado servicio de riego, y la escasez de la principal fuente hídrica, donde se provoca sequias, por lo que cual no se tiene un uso eficiente del recurso hídrico, asimismo el canal está en deterioro, provocando perdidas al sector agrario y ganadero del distrito de la Peca, existiendo otras deficiencias como el poco apoyo de las autoridades locales, y el ministerio de agricultura, en lo cual se plantea la siguiente investigación porque los agricultores desean mejorar su infraestructura el sector agrícola de riego para mejorar.

En las teorías relacionadas el diseño de infraestructuras de riego orientado a mejorar la eficiencia hidráulica de los canales implica un enfoque integrado que considera la optimización del transporte y distribución del agua, minimizando las pérdidas y maximizando el aprovechamiento del recurso. Según (Mohamed 2023), este proceso engloba desde la planificación detallada de las características físicas del canal, como su trazado, pendiente, y materiales de construcción, hasta la incorporación de tecnologías avanzadas para el control y manejo del flujo de agua. Yeh (2023) destaca la importancia de los estudios hidrológicos y edafológicos previos que permiten adaptar el diseño a las condiciones específicas del terreno y a las necesidades hídricas de los cultivos.(Mahpour y El-Diraby 2024) enfatizan que mejorar la eficiencia hidráulica no solo contribuye a una agricultura más productiva y sostenible, sino que también favorece la conservación de los recursos hídricos frente a los crecientes desafíos del cambio climático y la demanda alimentaria global. En conjunto, estos esfuerzos reflejan un compromiso con el uso responsable del agua, destacando el papel crucial del diseño ingenieril en la sostenibilidad de los sistemas de riego.

Por otro lado, el diseño de infraestructuras de riego que representa un complejo proceso técnico y científico, enfocado en la planificación, proyección, y construcción de sistemas y estructuras que permitan una distribución y manejo eficiente del agua destinada a la agricultura. Según Alkhattabi, Alkhard y Gouda (2023), este proceso abarca desde la evaluación precisa de las necesidades hídricas de los cultivos y la disponibilidad de recursos hídricos hasta el análisis de

las características del terreno y las condiciones climáticas, todo ello con la finalidad de optimizar el uso del agua, impulsar la productividad agrícola y reducir el impacto ambiental. Ammar, Abdel y Dash (2023) enfatizan la importancia de un enfoque integral que contemple las diversas características ambientales e ingenieriles, esencial para garantizar tanto la eficiencia hidráulica como la sostenibilidad a largo plazo del proyecto.

Adicionalmente, la investigación de Yao et al. (2023) destaca que las características edafológicas juegan un papel crítico en este proceso. Según Soana et al. (2023), comprender la composición, estructura y otras propiedades del suelo, como su textura, porosidad y capacidad de retención de agua, es fundamental, dado que estas propiedades tienen un impacto directo en la eficiencia del riego. Esto determina la cantidad precisa de agua que se requiere para satisfacer las necesidades de los cultivos, evitando el desperdicio por escorrentía o percolación excesiva. Así, Lund, Gates y Scalia (2023) sugieren que un estudio edafológico detallado es indispensable para adaptar el diseño del canal de manera que se optimice la distribución del agua según las características específicas del suelo en el área de influencia del proyecto, como también lo corroboran Mao et al. (2024) quienes reafirman la necesidad de adaptar las estrategias de riego a las condiciones locales para maximizar la eficacia y la sostenibilidad del sistema de irrigación.

Las características hidrológicas del área destinada a un proyecto de riego cobran una importancia crítica durante la fase de planificación, tal como subrayan Fan et al. (2023). La meticulosa evaluación de la disponibilidad de recursos hídricos, junto con los patrones de flujo, la frecuencia y distribución de las precipitaciones, así como la dinámica de las aguas subterráneas, conforman el núcleo de este análisis. Entender a fondo el ciclo hidrológico local se vuelve un pilar esencial para definir con precisión la capacidad de agua que se podrá destinar al riego. Este conocimiento es clave para diseñar de manera efectiva los sistemas de canalización y almacenamiento, con el fin de garantizar un abastecimiento constante y adecuado durante todo el año, como apuntan Diwedar et al. (2023), quienes también destacan cómo este entendimiento contribuye a prevenir la sobreexplotación de fuentes hídricas y a reducir el impacto ambiental asociado al proyecto de riego.

Por otra parte, el análisis de las características climáticas de la región se presenta como un requisito indispensable, considerando el impacto significativo del clima sobre la demanda de agua de los cultivos y sobre la eficiencia operativa del sistema de riego. Zhu, Guan y Wang (2023) recalcan cómo variables climáticas, tales como la temperatura, la humedad relativa, la evaporación y la evapotranspiración, determinan la cantidad de agua necesaria para sostener cultivos saludables y productivos. En este sentido, la concepción del diseño de infraestructura de riego debe incorporar estas variables para asegurar la capacidad de adaptación y resiliencia del sistema ante variaciones estacionales y fenómenos climáticos extremos. Lightfoot et al. (2023) complementan esta visión al integrar en la ingeniería básica del proyecto todos estos análisis, desarrollando soluciones técnicas que abarcan desde la captación hasta la gestión del agua, con el objetivo final de garantizar la sostenibilidad y eficacia del sistema de riego propuesto.

La fase preliminar de cualquier proyecto de infraestructura de riego es fundamental, abarcando un análisis exhaustivo de la zona de influencia del proyecto. Wu et al. (2023) enfatizan la importancia de evaluar las características geográficas, económicas y sociales, ya que estas determinarán de manera significativa el impacto y el alcance del sistema de riego propuesto. A su vez, Jiang et al. (2022) subrayan la relevancia de la investigación hidrológica, la cual provee datos vitales sobre la disponibilidad de agua, caudales, precipitaciones y otras variables relacionadas con el ciclo del agua, esenciales para el dimensionamiento adecuado de la infraestructura de riego. Complementariamente, Verma, Arora y Taneja (2024) apuntan hacia la investigación de suelos como un componente crítico, permitiendo un entendimiento profundo de las propiedades físicas y químicas del terreno, como la textura y la capacidad de infiltración y retención de agua, conocimientos cruciales para el diseño de un sistema de riego eficiente. Estas investigaciones consolidan la base para el desarrollo de especificaciones técnicas que orientarán la construcción y operación del sistema, garantizando su adaptabilidad y sostenibilidad.

Por otro lado, el diseño hidráulico, tal como lo describen Yang et al. (2023), juega un papel esencial en la creación de estructuras hidráulicas específicas, como puentes, compuertas, vertederos y túneles, aplicando principios

hidráulicos y de mecánica de fluidos para asegurar una operación eficiente, segura y económica. Este enfoque contempla factores críticos como caudales máximos y mínimos, velocidades del agua y presiones, además de considerar el impacto potencial de eventos extremos, como inundaciones. Satou et al. (2022) resaltan el objetivo de diseñar estas obras de arte de manera que se facilite el manejo del agua, sin comprometer la integridad estructural o causar daños al entorno. La conjunción de estas disciplinas y enfoques asegura que el diseño e implementación de sistemas de riego y estructuras asociadas no solo cumplan con los requerimientos técnicos y ambientales, sino que también se alineen con las necesidades y condiciones locales, contribuyendo así a la viabilidad a largo plazo de estos proyectos esenciales.

El diseño hidráulico de canales, tal como lo detallan Karimi et al. (2023), es un proceso enfocado en el desarrollo de vías artificiales para facilitar el transporte eficiente de agua desde su origen hacia áreas que requieren de su aplicación, ya sea para irrigación agrícola o para el suministro de agua potable. Este proceso de diseño es integral, abarcando la selección de las dimensiones óptimas del canal, ajuste de la pendiente, y elección del material de revestimiento, elementos clave para reducir las pérdidas de agua por infiltración y evaporación, y así optimizar la eficiencia en el transporte del recurso hídrico. Además, Gao et al. (2022) resaltan la importancia de considerar factores como el control de la erosión, la facilidad de mantenimiento, y la armonización del canal con su entorno natural y social, aspectos fundamentales para la sostenibilidad del proyecto.

La planificación y el diseño meticulosos de estos canales, según Liu, Yu y Wan (2022), son indispensables para asegurar una distribución eficiente del agua, que no solo cumpla con las necesidades inmediatas de los usuarios, sino que también contribuya a la conservación de los recursos hídricos y la protección del medio ambiente. La implementación exitosa de estos sistemas de canales depende de una comprensión profunda de las dinámicas hidráulicas y ambientales, garantizando que la infraestructura creada sea capaz de adaptarse a las variaciones climáticas y demandas futuras, fomentando así un uso responsable y sustentable del agua.

| ESTADO FÍSICO | | |
|------------------|------------------------|-------------------------|
| Sólido | Líquido | Gaseoso |
| Granizo, Nieve | Lluvia | Vapor de Agua |
| Icebergs | Océanos, Mares | |
| Glaciares, Nieve | Ríos, Lagos, Acuíferos | Vapor de Agua confinado |

Figura 1. Estado físico del agua

Fuente: Ricaldi y Martinez, (2021)

El diseño estructural, tal y como Yao et al. (2024) lo describen, juega un papel fundamental en la concepción de obras de arte y canales, enfocándose en el desarrollo de soluciones técnicas que aseguren la estabilidad, durabilidad, y seguridad de estas infraestructuras a lo largo de su ciclo de vida. Este enfoque abarca desde la selección meticulosa de materiales hasta el cálculo preciso de esfuerzos y la optimización de formas, con el propósito de soportar diversas cargas como las hidráulicas, gravitacionales, de tráfico y ambientales. Peng et al. (2022) destacan cómo, en el contexto de obras de arte como puentes, diques y compuertas, estas consideraciones son esenciales para garantizar la funcionalidad y seguridad de las estructuras.

Por otro lado, Le y Nguyen (2024) enfatizan que, en el caso de los canales, el diseño estructural se centra en la resistencia de las paredes y el lecho del canal, así como de cualquier estructura asociada, frente a las presiones del agua, la erosión, la sedimentación, y las variaciones climáticas. Este nivel de atención garantiza la preservación de la funcionalidad del canal para el transporte o distribución de agua de manera eficiente. Jiang et al. (2024) concluyen que adoptar un enfoque integrado en el diseño estructural de tanto obras de arte como canales asegura el cumplimiento de los más altos estándares de ingeniería, resultando en soluciones duraderas y eficientes que facilitan el manejo del agua, subrayando la importancia de una ingeniería consciente y adaptativa ante los retos actuales y futuros del manejo de recursos hídricos.

La valoración de costos y la elaboración de presupuestos constituyen fases esenciales en la gestión de proyectos de construcción de canales, tal como Dal Barco et al. (2024) detallan, involucrando un análisis exhaustivo de los gastos asociados al diseño, construcción y mantenimiento del proyecto. Este meticuloso proceso inicia con la determinación del valor económico de los recursos requeridos, incluyendo tanto costos directos —mano de obra, materiales y equipo— como costos indirectos, que abarcan administración, seguridad y seguros, entre otros aspectos que no se vinculan directamente con la construcción en sí. Yu et al. (2023) enfatizan la importancia de una estimación de costos precisa para la definición de un presupuesto realista que asegure la sostenibilidad financiera del proyecto.

En este marco, Al Nahian et al. (2023) resaltan la relevancia de los precios unitarios y los metrados como herramientas clave para la presupuestación en proyectos de canales. Los precios unitarios, definidos por Yang et al. (2023), corresponden al costo por unidad de medida de trabajos específicos, calculados a partir de un análisis detallado de los insumos necesarios. Paralelamente, Xin et al. (2024) describen los metrados como la cuantificación precisa de volúmenes, áreas y pesos de los componentes del proyecto, basándose en planos y especificaciones técnicas. Ni et al. (2024) concluye que la adecuada integración de precios unitarios y metrados es crucial para determinar el costo total del proyecto y, por consiguiente, establecer un presupuesto integral. La exactitud en estos cálculos resulta fundamental para prevenir excesos de costos, optimizar el uso de recursos y asegurar una ejecución eficiente del proyecto dentro de los límites financieros previstos. El estudio del impacto ambiental asociado a la implementación de proyectos de canal es un proceso complejo que abarca las modificaciones que el medio ambiente puede experimentar antes, durante y después de su construcción, según señalan Yan et al. (2024). En la etapa previa al proyecto, el enfoque se centra en la realización de evaluaciones preliminares y la planificación, que incluye estudios de factibilidad encargados de examinar el entorno natural para identificar potenciales efectos adversos y desarrollar estrategias de prevención o mitigación, como destacan (Li et al. 2024). Durante el proceso de construcción, el impacto ambiental se evidencia en alteraciones inmediatas y directas sobre el medio, tales como cambios en la topografía, afectaciones a la biodiversidad local y modificaciones en los patrones de flujo hídrico, lo que demanda una gestión

ambiental rigurosa para reducir daños, incluyendo la prevención de la erosión y la contaminación, tal y como describen (Cai et al. 2023).

Una vez finalizado el proyecto, los impactos ambientales pueden manifestarse tanto en beneficios, como la optimización del uso del agua y el soporte al sector agrícola, como en efectos negativos que perduran a largo plazo, impactando los ecosistemas locales a través de la alteración de hábitats naturales y la modificación de la diversidad biológica. Gao et al. (2024) subrayan la importancia de abordar estos impactos de manera integral en todas las etapas del proyecto, con el fin de promover la sostenibilidad ambiental y asegurar que la construcción y operación de canales coexisten en armonía con el entorno natural. Esta aproximación integral es esencial para el equilibrio entre el desarrollo de infraestructura hídrica y la preservación de los valores ambientales.

La eficiencia de conducción en los sistemas de riego es crucial para la gestión efectiva del agua, destacando su importancia en la capacidad de transportar este recurso esencial desde su origen hasta los puntos donde será utilizado, con las menores pérdidas posibles. Moreno et al. (2024) enfatizan que maximizar la cantidad de agua disponible para un riego eficaz no solo mejora la productividad agrícola, sino que también contribuye a la conservación del agua. En contraparte, la pérdida de recursos hídricos durante la conducción, que puede ser ocasionada por fenómenos como la evaporación, filtración o fugas, representa un desafío significativo. Chen et al. (2024) explican cómo estas pérdidas disminuyen la eficiencia de los sistemas de riego, aumentando el consumo de agua necesario para satisfacer las necesidades de riego y afectando negativamente tanto la sostenibilidad del recurso como la rentabilidad de la agricultura.

Por tanto, la optimización de la eficiencia de conducción y la reducción de las pérdidas hídricas emergen como objetivos primordiales en el diseño y manejo de infraestructuras de riego. Mao et al. (2024) subrayan la importancia de adoptar prácticas y tecnologías que permitan alcanzar estos objetivos, asegurando así la disponibilidad del agua no solo para satisfacer las demandas actuales sino también para preservar el recurso para las futuras generaciones. Esta orientación hacia la eficiencia y la sostenibilidad en el uso del agua en la agricultura se presenta como una pieza clave para enfrentar los desafíos del cambio climático y la creciente demanda de alimentos a nivel global.

III. METODOLOGÍA

3.1. Tipo y diseño de investigación

En el presente estudio, se eligió el diseño no experimental y como descriptivo porque solo se rige en describir la realidad y acumular datos.

$$\boxed{M \longrightarrow O \dots P}$$

Dónde:

M= Muestra

P = Observación de la muestra

O= Operador Intermedio

Dependiente:

Eficiencia en conducción de agua

Independiente:

Mejoramiento del Porvenir 0+000-4+264 km

3.2 Variables y operacionalización

Variable dependiente: Mejoramiento del canal al porvenir 00+000-4+264 km

Definición conceptual

Un canal o sistema de riego es una forma innovadora de transportar agua desde un río o fuente primaria a otros canales secundarios para una distribución eficiente. Chile y Ortiz, (2021)

Definición operacional

Se tiene que recopilar la información de campo y realizar los estudios básicos del proyecto para el diseño estructural, hidráulico, costos y presupuestos y el impacto ambiental.

Variable independiente: Eficiencia de conducción de agua

Definición conceptual:

Permite evaluar la perdida la eficiencia de conducción de agua en el canal principal; desde la Bocatoma hasta el punto final del principal canal (Garcia y Marques 2021).

Definición operacional:

La eficiencia está compuesta por la buena conducción del canal principal y la distribución de los canales laterales para el riego de las parcelas agrarias.

Indicadores: Señala las características edafológicas, hidrológicas y climáticas, hidrológica y suelos, obras de arte, precios unitarios, metrados, impacto ambiental y perdida de recurso hídrico en la conducción.

Escala de medición: De forma ordinaria y continua

3.3 Población y muestra y muestreo

Población

La población es considerada al canal de riego el Porvenir de longitud 0+000-4+264 km. Del Distrito la Peca-Amazonas.

Muestra

Es un muestreo no probabilístico que se encuentra ubica en la progresiva 0+000-4+264 km el Porvenir considerando a un caudal de operación máximo de 0.700 m³/s manejando y utilizando el agua en su recorrido por la comisión de regantes del distrito de la Peca.

Muestreo

La técnica de muestreo es no probabilística por conveniencia; es decir la selección de la muestra de la investigación se basa en un caso esencial de realizar un diseño de una infraestructura de riego para mejorar la eficiencia hidráulica del canal El Porvenir 0+000-4+264 km.

3.4 Técnicas e instrumentos de recolección de datos, validez y confiabilidad

El método que se utilizó para analizar los datos, toda la información recopilada debe aparecer en el sitio.

Técnicas de recolección de datos

Encuesta: Recoger información de los pobladores en relación a los objetivos de investigación

Observación directa: Realizaron la observación mediante el registro adecuado de la información para luego ser procesada.

Formato de ensayos

Esta es la información que nos proporciona el laboratorio para que podamos conocer las características de cada prueba y los procedimientos, cálculos y alineaciones que se deben realizar según el N.T.P.

3.5 Procedimientos

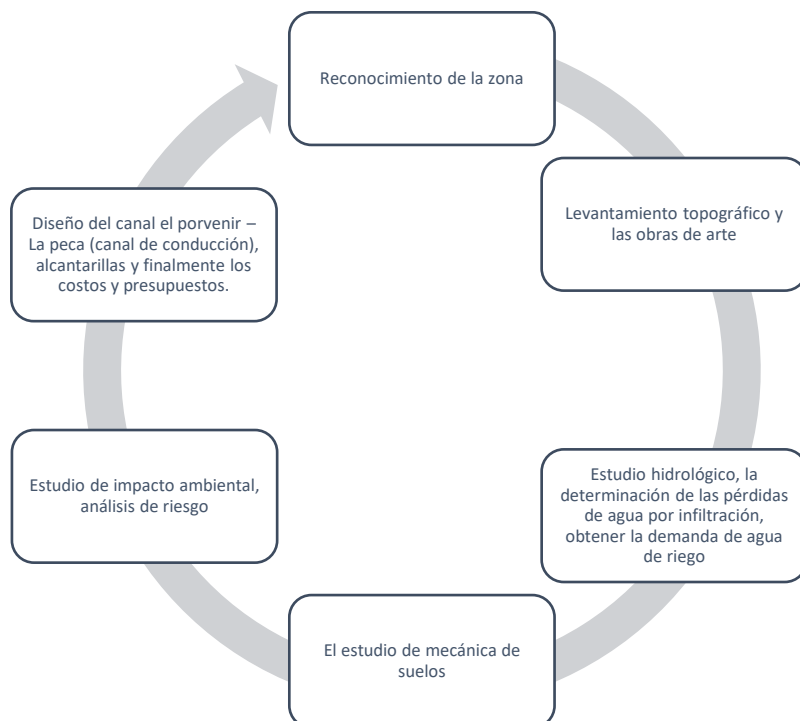


Figura 2. Procedimientos

Fuente: Elaboración propia

3.6 Método de análisis de datos operacional

Se manejaron gráficos, tablas, mediante valores con procedimientos de estadísticos inferenciales y descriptivos mediante programas de apoyo en ingeniería civil la cual determinó el grado de medición de la variable.

3.7 Aspectos éticos

En la investigación presente se respetaron las normas APA que están establecidas dentro del manual de American Psychological Association con la finalidad de citar bien los trabajos de otras investigaciones. Asimismo, se aprobó el código de ética universitario que están sostenidos dentro de los lineamientos de la investigación científica.

IV. RESULTADOS

En el presente capítulo se inicial con los resultados del primer objetivo diagnóstico del estado situacional del Diseño de la infraestructura de riego para mejorar la eficiencia hidráulica del canal El Porvenir 0+000-4+264 km. Distrito la Peca-Amazonas. El diagnóstico reveló que 41 usuarios y 90.47 ha de cultivos necesitan mejoras en el canal de 4,262 m, afectado por filtraciones y obstrucciones, lo que reduce el caudal y aumenta la pérdida de agua; la falta de mantenimiento agrava el problema.

En el segundo se elaboraron los estudios básicos de ingeniería del Diseño de la infraestructura de riego para mejorar la eficiencia hidráulica del canal El Porvenir 0+000-4+264 km. Distrito la Peca-Amazonas. Donde el estudio topográfico se utilizó equipos de última generación, como la estación total GeoMax, prismas y GPS Garmin 64s, para recopilar datos precisos para la elaboración de planos en coordenadas UTM. Se efectuaron levantamientos y nivelaciones para establecer referencias y desarrollar perfiles y secciones del terreno, además de calcular el movimiento de tierras a lo largo de 4.264 km, proporcionando una base detallada para el proyecto.

Tabla 1. Canteras disponibles para la obtención de materiales

| Nombre de la Cantera | Área de Estudio (km) | Área Explotable (ha) | Material Disponible |
|------------------------------|----------------------|----------------------|-----------------------------------------------|
| El Almendral | 3.52 | 20.1 | Material para afirmado |
| Centro Poblado de Mullucashi | 2.10 | 5.97 | Material para afirmado |
| Jhosema | 16.4 | No especificado | Material de afirmado, agregados fino y grueso |

Fuente: Elaboración propia.

En el estudio de mecánica de suelos, en el recorrido del canal se ubicaron 8 calicatas de un 1m de largo .1m de ancho y una profundidad de 1.5m. Se realizaron trabajos en campo determinando propiedades de los materiales del suelo mediante una investigación directa.

Tabla 2. Estudio de mecánicas de suelo de calicatas

| Calicata | Progresiva (km) | Coordenadas Norte (N) | Coordenadas Este (E) | Desfaz (m) | Profundidad (m) | Estrato observado | Clasificación SUCS | Índice de Plasticidad (IP) (%) | Contenido de sales (%) |
|----------|-----------------|-----------------------|----------------------|------------|-----------------|-----------------------------------------------|--------------------|--------------------------------|------------------------|
| C1-M3 | 0+494.352 | 9379016.7 | 782526.5 | -1.55 | 0.70 – 1.50 | limo arcilloso de baja plasticidad | CL | 17.11 | 1 |
| C2-M3 | 1+004.220 | 9379104.110 | 782123.510 | 2.844 | 0.70 – 1.50 | arcilloso de baja plasticidad | CL | 18.81 | 0.5 |
| C3-M3 | 1+483.004 | 9378975.410 | 781874.140 | 3.379 | 0.70 – 1.50 | arenoso arcilloso | SC | 7.25 | 0.5 |
| C4-M3 | 1+993.739 | 9378897.170 | 781774.290 | -0.77 | 0.70 – 1.50 | arenoso de baja plasticidad | CL | 17.11 | 0.5 |
| C5-M3 | 2+470.817 | 9379064.300 | 781495.910 | 7.344 | 0.70 – 1.50 | arenoso arcilloso | SC | 12.40 | 0.5 |
| C6-M6 | 2+964.085 | 9378734.230 | 781420.850 | 2.21 | 0.70 – 1.50 | arcilloso de baja plasticidad | CL | 11.71 | 0.5 |
| C7-M3 | 3+443.917 | 9378432.430 | 781376.120 | 4.305 | 0.70 – 1.50 | limo arcilloso de baja plasticidad inorgánico | CL | 8.41 | 0.5 |
| C8-M3 | 3+931.905 | 9378532.740 | 781086.250 | -1.571 | 0.70 – 1.50 | limo arcilloso de baja plasticidad inorgánico | CL | 17.12 | 1 |

Fuente: Elaboración propia.

Tabla 3. Registro de precipitaciones máximas en 24 horas (mm)

| AÑO | PRECIPITACIÓN MÁXIMA EN 24 HORAS (mm) | | | | | | | | | | | | PRECIPITAC. MÁXIMA |
|------|---------------------------------------|-------|-------|-------|-------|------|-------|-------|-------|-------|-------|-------|-----------------------|
| | ENE. | FEB. | MAR. | ABR. | MAY. | JUN. | JUL. | AGOS. | SEPT. | OCT. | NOV. | DIC. | |
| 2002 | 42.1 | 53.4 | 49.8 | SD | 58.4 | 12 | 111.1 | 1.4 | 25.8 | 95 | 107.6 | 25.9 | 111.1 |
| 2003 | 27.3 | 27.6 | 104.3 | 25.9 | 87.7 | 64.2 | 19.7 | 8 | 81 | 72.7 | 38.3 | 56.6 | 104.3 |
| 2004 | 6.5 | 20.8 | 42.6 | 94.5 | 245.5 | 40.4 | 39.9 | 21.5 | 9.5 | 123.5 | 55.7 | 53.3 | 245.5 |
| 2005 | 36.9 | 73.9 | 129.4 | 101.4 | 61.1 | 73.4 | 19 | 22 | 5.6 | 66.2 | 92.8 | 128.4 | 129.4 |
| 2006 | 81.6 | 57.8 | 125.2 | 10.7 | 53.9 | 71.7 | 10.4 | 22.5 | SD | 57.9 | 47.6 | 40.5 | 125.2 |
| 2007 | 65.6 | 8.4 | 54.7 | 124 | 83.9 | 67.5 | 72.8 | 24.2 | 33.3 | 96.5 | 143 | 50.4 | 143 |
| 2008 | 51.2 | 98.8 | 84.2 | 37.1 | 72.1 | 46.2 | 30.6 | 33.9 | 30.6 | 87.4 | 86.7 | 27.5 | 98.8 |
| 2009 | 117.8 | 54.6 | 63.6 | 110.3 | 71 | 46.1 | 32.9 | 37.1 | 43 | 50.4 | 87.2 | 10.9 | 117.8 |
| 2010 | 3.6 | 69 | 30 | 62.2 | 73.8 | 24.3 | 54.1 | 28.2 | 20.9 | 61.8 | 84.5 | 76.6 | 84.5 |
| 2011 | 70.2 | 35.2 | 101.9 | 46.5 | 72.1 | 54.3 | 24.2 | 6.3 | 27.9 | 34.2 | 88.5 | 159.5 | 159.5 |
| 2012 | 73.1 | 102.5 | 56.1 | 90.7 | 29.4 | 24.2 | 35.7 | 5.9 | 5.3 | 129.8 | 46.4 | 75.7 | 129.8 |
| 2013 | 45.4 | 60.6 | 56.3 | 18.6 | 123.4 | 18.8 | 15.9 | 80.3 | 31.3 | 163.1 | 22.5 | 13.3 | 163.1 |
| 2014 | 92.7 | 68 | 125.4 | 75.9 | 123.8 | 37 | 44.7 | 66.1 | 51.5 | 42.3 | 61 | 84.2 | 125.4 |
| 2015 | 105.1 | 81.1 | 212.7 | 86.4 | 58.3 | 24.2 | SD | 6.8 | SD | 43.1 | 85.3 | SD | 212.7 |
| 2016 | 34.5 | 31.3 | 130.6 | 62.4 | 33.4 | 14.2 | 22.4 | 38.6 | 41.5 | 54.1 | 16.7 | 62 | 130.6 |
| 2017 | 73.1 | 52.6 | 195.3 | 90.1 | SD | 86.5 | 28.6 | 41.3 | 28.4 | 38.9 | 25 | 69.9 | 195.3 |
| 2018 | 38.2 | 68.2 | 56.3 | 55.1 | 113.1 | 33.4 | 44.7 | 9.9 | 13.6 | 33 | 51.9 | 72.2 | 113.1 |
| 2019 | 62.8 | 75.6 | 33.8 | 149.6 | 70.2 | 47.9 | 73.1 | 7.7 | 20.6 | 32.4 | 35.4 | 124.9 | 149.6 |
| 2020 | 126.4 | 39.8 | SD | SD | SD | SD | SD | SD | SD | SD | SD | SD | 126.4 |
| 2022 | SD | SD | SD | SD | SD | 64.3 | 87.5 | 31.8 | | | | | 87.5 |
| | | | | | | | | | | | | MAX | 245.5 |

Fuente: Registro de precipitaciones (SENAMHI)

Tabla 4. Parámetros hidráulicos clave del canal

| Tramo (DE - A) | Longitud (m) | Caudal (m ³ /s) | Pendiente (S) | Profundidad (Y) | Área (A) |
|---------------------|--------------|----------------------------|---------------|-----------------|----------|
| 0+000 - 2+683.92 | 2683.92 | 1.14 | 0.0057 | 0.55 | 0.50 |
| 2+683.92 - 3+297.88 | 613.96 | 1.14 | 0.0117 | 0.42 | 0.38 |
| 3+297.88 - 3+533.68 | 235.8 | 1.14 | 0.0398 | 0.27 | 0.24 |
| 3+533.68 - 3+845.92 | 312.24 | 1.14 | 0.0078 | 0.49 | 0.44 |
| 3+845.92 - 4+178.32 | 332.4 | 1.14 | 0.0618 | 0.23 | 0.21 |
| 4+178.32 - 4+241.09 | 62.77 | 1.14 | 0.0144 | 0.39 | 0.35 |

Fuente: Elaboración propia

El estudio ambiental a través de este enfoque meticuloso, se identificaron y mitigaron los impactos ambientales, lo que resultó en una puntuación mejorada y ajustada a un valor menor a 120, específicamente una puntuación de 118. Esta mejora sustancial indica que el proyecto no solo es viable sino también sostenible con respectivas adaptaciones y mitigaciones.

En el tercer objetivo se planteó diseñar el sistema hidráulico de la infraestructura de riego para mejorar la eficiencia hidráulica del canal El Porvenir 0+000-4+264 km. Distrito la Peca-Amazonas.

Tabla 5. Diseño del sistema hidráulico del canal el porvenir

| Aspecto | Descripción |
|---------------------------------------|-----------------------------------------------------------------------------------------------------------|
| Ubicación | Canal El Porvenir, Distrito de La Peca, Amazonas |
| Aprovechamiento del trazado | Se utilizará el trazado existente, previamente acondicionado, para facilitar la implementación de mejoras |
| Punto de nacimiento del canal lateral | Progresiva 0+000 a 4+264 km para el canal principal, con un canal lateral naciendo en km 2+463.40 |
| Longitud del canal lateral | 362 metros lineales |
| Cota de inicio del canal lateral | 660.00 msnm |
| Cota final del canal lateral | 627.00 msnm |
| Sección transversal y revestimiento | Sección trapezoidal con revestimiento de concreto de 10 cm sobre base de arena gruesa de 10 cm |
| Estabilidad y sostenibilidad | Talud Z = 1 para asegurar la estabilidad y resistencia |

Fuente: Elaboración propia

Tomas laterales para el canal el porvenir: Las tomas laterales se ubicaron estratégicamente según la disposición de las parcelas agrícolas y la topografía del área, para asegurar una distribución eficiente del agua. Se instalarán 29 compuertas laterales, diseñadas para minimizar pérdidas y adaptarse a las demandas estacionales de irrigación.

Tabla 6. Especificaciones técnicas del canal lateral

| Parámetro | Valor | Descripción |
|-------------------------------|--------------------------|------------------------------------------------------------------------|
| Caudal Máximo (Qmax) | 0.1322 m ³ /s | Máximo flujo de agua que puede transportar el canal |
| Caudal Mínimo (Qmin) | 0.10 m ³ /s | Mínimo flujo de agua para operación eficiente del canal |
| Tirante del canal | 0.21 m | Altura del agua en el canal |
| Talud del canal principal (Z) | 1.00 | Relación horizontal/vertical de las pendientes del canal |
| Pendiente del canal principal | 0.0030 m/m | Inclinación del fondo del canal respecto a la horizontal |
| Rugosidad del canal principal | 0.014 | Coeficiente que mide la resistencia al flujo por la superficie interna |
| Base del canal principal | 0.30 m | Ancho de la base interna del canal |
| Altura total del canal | 0.60 m | Distancia vertical desde el fondo hasta el borde superior del canal |
| Energía específica del canal | 0.20 (m-kg/kg) | Cantidad de energía por unidad de peso del agua en el canal |
| Velocidad del canal | 1.2 m/s | Rapidez del flujo de agua en el canal |

Fuente: Elaboración propia

Tabla 7. Presupuesto del proyecto

| Concepto | Monto (S/.) |
|---------------------------|--------------------|
| Costo Directo | S/.12,835,679.33 |
| Gastos Generales (10.46%) | S/. 1,342,612.06 |
| Utilidad (10%) | S/. 1,283,567.93 |
| Sub Total | S/. 15,461,859.32 |
| IGV (18%) | S/. 2,783,134.68 |
| Supervisión (6.51%) | S/. 835,602.72 |
| Presupuesto Total | S/. 19,080,596.72 |

Fuente: Elaboración propia

V. DISCUSIÓN

En este capítulo, se inicia la discusión centrada en el primer objetivo, abordando el análisis del diagnóstico situacional del canal El Porvenir. A través de este examen, se busca comprender las condiciones actuales de la infraestructura de riego y su impacto en la eficiencia hidráulica, así como las consecuencias socioeconómicas para los usuarios del sistema y la producción agrícola en el distrito de La Peca, Amazonas. Este enfoque permite identificar las áreas críticas que requieren intervención y establecer una base sólida para las propuestas de mejora. Por lo que se encuentra en un estado que afecta adversamente a 41 usuarios y compromete la viabilidad de 94 hectáreas de cultivo, resalta una problemática central en la gestión de recursos hídricos en infraestructuras de riego. El mal estado del canal, que impide el flujo óptimo de agua hacia los cultivos esenciales como el arroz, cacao y plátano, no solo representa un desafío técnico sino también una amenaza directa a la sostenibilidad económica de la región. Baltodano y Morales (2020) enfatizan la importancia de un enfoque integrador para la rehabilitación de infraestructuras de riego, sugiriendo que la eficiencia hidráulica es fundamental para asegurar la sostenibilidad y productividad agrícola.

Esta perspectiva es crucial al considerar el diseño del canal de riego, ya que cualquier mejora debe priorizar tanto la funcionalidad hidráulica como el impacto socioeconómico en la comunidad de usuarios. Por otro lado, Moya y Álvarez (2018) destacan la relevancia de adaptar las prácticas de diseño y mantenimiento de canales de riego a las condiciones locales específicas, incluyendo factores climáticos, topográficos y las necesidades de los cultivos predominantes. La situación del canal El Porvenir subraya esta necesidad, ya que un caudal subóptimo no solo perjudica el rendimiento actual de los cultivos, sino que también limita el potencial de expansión agrícola y diversificación de cultivos en el futuro.

La discusión entre estos autores proporciona un marco valioso para abordar los retos identificados en el diagnóstico situacional del canal El Porvenir. El consenso sobre la necesidad de una gestión eficiente y adaptativa del agua refuerza la urgencia de emprender acciones de diseño y rehabilitación que no solo mejoren la infraestructura física, sino que también promuevan una economía agrícola resiliente. Implementar soluciones basadas en un diagnóstico preciso y

adaptadas a las necesidades locales emergentes es fundamental para garantizar que el canal El Porvenir pueda cumplir con su papel esencial en la sustentación de la agricultura en el distrito de La Peca, Amazonas.

El análisis detallado de las características geotécnicas del suelo en el área de estudio revela propiedades significativas que afectan tanto su capacidad de soporte como su comportamiento bajo cargas específicas. Al examinar los resultados obtenidos, se observa que la composición predominante del suelo es CL, con límites líquidos (LL) considerables en las muestras C-08 y C-03, y un contenido de sales presente en la muestra C-5. Además, la cohesión del suelo y el ángulo de fricción interna, junto con la densidad seca registrada, resaltan las peculiaridades del suelo en condiciones específicas.

Al relacionar estos hallazgos con la literatura existente, el estudio de Mogro et al. (2019) proporciona una base comparativa valiosa. Mogro et al. se centraron en la evaluación de la estabilidad y el comportamiento mecánico de suelos con características similares, identificando cómo variaciones en el contenido de sales y las propiedades mecánicas pueden influir en la susceptibilidad a la erosión y el asentamiento. Este aspecto es crucial para entender la relevancia de nuestros resultados, dado que la estabilidad a largo plazo de las construcciones y el diseño de canales de drenaje pueden verse significativamente afectados por estas propiedades del suelo.

Por otro lado, Olivero (2018) investigó la interacción entre las propiedades geotécnicas de suelos y su desempeño bajo condiciones de carga variadas, enfatizando la importancia de la cohesión y el ángulo de fricción interna en el análisis de estabilidad de taludes y estructuras de soporte. La comparación directa con nuestro estudio subraya la relevancia de considerar estos factores en el diseño y mantenimiento de infraestructuras en terrenos accidentados, particularmente en áreas con características topográficas y geológicas similares a las de nuestro estudio. La discusión de nuestros resultados en el contexto de estos estudios previos resalta la importancia de una evaluación detallada de las propiedades geotécnicas del suelo para el diseño eficaz y la implementación de medidas de control de erosión y estabilización de suelos. Además, subraya la necesidad de investigaciones adicionales que puedan proporcionar una comprensión más

profunda de cómo las interacciones entre diferentes propiedades del suelo afectan el comportamiento global del suelo bajo variadas condiciones ambientales y de carga. En conclusión, los hallazgos de nuestro estudio contribuyen significativamente al cuerpo existente de conocimiento al proporcionar datos detallados sobre las propiedades geotécnicas de suelos en un contexto específico, complementando y extendiendo los estudios realizados por Mogro et al. (2019) y Olivero (2018). Este trabajo no solo subraya la complejidad de la interacción entre las propiedades físicas y mecánicas del suelo, sino que también pone de relieve la importancia de considerar estas variables en el diseño y gestión de proyectos de ingeniería civil y ambiental.

El diseño y mejora del sistema hidráulico del Canal El Porvenir se presenta como un emprendimiento crítico para la ampliación de la eficiencia hidráulica en infraestructuras de riego, un componente esencial para la sostenibilidad de las prácticas agrícolas en el Distrito de La Peca, Amazonas. La implementación de un canal lateral desde el kilómetro 2+463.40, extendiéndose por 362 metros, no solo representa una expansión física del sistema sino también una evolución en su funcionamiento hidráulico. La adopción de una sección transversal trapezoidal y el uso de revestimiento de concreto sobre una base de arena gruesa son decisiones de diseño que reflejan un enfoque meticuloso hacia la optimización del flujo y la minimización de las pérdidas por filtración, elementos críticos para la eficiencia hidráulica destacados por Asalde (2020).

Este enfoque en la eficiencia hidráulica se alinea con la investigación de Pasco y Rosas (2020), quienes enfatizan la importancia de la innovación en el diseño de infraestructura de riego para mejorar la gestión del agua. La estrategia de utilizar un diseño de sección trapezoidal, específicamente, es señalada por estos autores como un método eficaz para aumentar la capacidad de conducción del canal y facilitar su mantenimiento, reduciendo así las pérdidas de agua y mejorando la entrega a los campos de cultivo. Además, el revestimiento de concreto actúa no solo como una barrera contra la erosión sino también como un medio para preservar la calidad del agua al evitar la contaminación por sedimentos y otras fuentes de contaminación.

La integración de estos elementos de diseño en el Canal El Porvenir no solo mejora su funcionamiento, sino que también refleja un compromiso con la sostenibilidad ambiental y la eficiencia en la gestión de recursos hídricos. La optimización del diseño hidráulico, en este sentido, va más allá de la simple expansión física del sistema de riego; representa una adaptación inteligente a las necesidades cambiantes de la agricultura en el Amazonas, anticipando y mitigando los desafíos asociados con la variabilidad del clima y la demanda de agua. En resumen, el proyecto del Canal El Porvenir demuestra cómo la aplicación de principios de ingeniería hidráulica avanzada y consideraciones de sostenibilidad pueden conducir a mejoras significativas en la eficiencia de sistemas de riego existentes. Este enfoque no solo asegura una gestión más eficaz del recurso hídrico, sino que también establece un precedente para futuras iniciativas de diseño y mejora de infraestructuras de riego, en línea con las investigaciones y recomendaciones de Asalde (2020) y Pasco y Rosas (2020).

La planificación financiera del proyecto, reflejada en un presupuesto total de S/. 19,080,596.72, destaca por su precisión y eficiencia, abarcando un coste directo sustancial y consideraciones detalladas para gastos generales y utilidades, siguiendo las recomendaciones de Ascencio (2021) y Chuquipa (2020). La inclusión cuidadosa de un 10.46% para gastos generales y un 10% para utilidades subraya un equilibrio entre costos operativos y rentabilidad, un aspecto crucial para la viabilidad y atractivo del proyecto. Además, el cálculo del IGV y supervisión muestra un enfoque integral, evidenciando una gestión financiera proactiva y rigurosa que no solo asegura la sostenibilidad económica del proyecto sino también su alineación con las mejores prácticas de gestión de proyectos. Este enfoque conciso en la planificación refleja una sinergia entre la eficiencia técnica y financiera, vital para el éxito a largo plazo del proyecto. El proyecto no solo cumple con los criterios técnicos y operativos necesarios para su éxito, sino que también refleja una comprensión avanzada de las dinámicas financieras, siguiendo las pautas establecidas por expertos en el campo como Ascencio (2021) y Chuquipa (2020). Este balance entre la planificación técnica y financiera asegura no solo la ejecución efectiva del proyecto sino también su sostenibilidad y eficiencia económica a largo plazo.

VI. CONCLUSIONES

- En el diagnostico situacional se concluye que el canal se encuentra en mal estado perjudicando a los 41 usuarios con un total de 94 hectáreas, la cual es impacta negativamente en la economía, porque estos siembran gran porcentaje en arroz, cacao, plátano, que no conduce un caudal óptimo. Ante eso se debe realizar el diseño del canal de riego.
- En los estudios básicos, se concluye que tiene 07 BM, su recorrido de canal es 4.264 km, la cual, el terreno es accidentado, con pendientes de 8%, su mecánica de suelo nos señala que el suelo es predominante es el CL, con LL de 66.24 en la muestra C-08, seguido de 65.55 en la calicata C-03, el contenido de sales es 0.55 en la C-5, en lo referente al cohesión de suelo se concluye 0.52 en la C-1, con ángulo de fricción interna en la calicata 8 es de 25.17° con esfuerzo normal de 1.0 kg/cm^2 con densidad seca de 1.7.49 en la C-8.
- El diseño del canal demuestra eficiencia hidráulica y estructural, manejando caudales de 0.10 a $0.1322 \text{ m}^3/\text{s}$ con una velocidad óptima de 1.2 m/s y un tirante de 0.21 m, lo que asegura una entrega de agua constante y minimiza la sedimentación. La pendiente moderada de 0.0030 m/m y el talud de 1.00 favorecen un flujo uniforme y reducen la erosión, mientras que el coeficiente de rugosidad de 0.014 optimiza la resistencia al flujo. La estructura, con una base de 0.30 m y altura de 0.60 m, está diseñada para la sostenibilidad a largo plazo, evidenciando un equilibrio entre la funcionalidad hidráulica y la estabilidad estructural.
- Se concluye que el presupuesto y el cronograma de obra se da un total de 129 días calendario y el costo prepuesto es en total de s/. 19,080,809.21 son: Diecinueve Millones Ochenta Mil Ochocientos Nueve Y 21/100 Nuevos Soles.

VII. RECOMENDACIONES

- Futuros investigadores deberían considerar la evaluación detallada del estado de las infraestructuras de riego como un paso crucial inicial, utilizando herramientas de diagnóstico avanzadas para identificar de manera precisa las áreas críticas que requieren intervención. Esto debería aplicarse especialmente en regiones donde la agricultura juega un rol fundamental en la economía local y donde cultivos específicos, como arroz, cacao, y plátano, son prevalentes.
- Se recomienda que investigaciones futuras integren análisis geotécnicos profundos y consideren las características específicas del suelo, como la cohesión, contenido de sales, y ángulo de fricción interna, para el diseño de canales de riego. Este enfoque debería aplicarse especialmente en áreas con terrenos accidentados y pendientes significativas para garantizar la estabilidad y la eficiencia hidráulica.
- Es esencial que futuros estudios se enfoquen en optimizar el diseño hidráulico y estructural de canales de riego, priorizando la eficiencia en el manejo del agua y la minimización de la erosión. Investigaciones futuras deberían aplicar los principios de diseño demostrados, como una pendiente moderada, relaciones de talud adecuadas, y selección de coeficientes de rugosidad óptimos, para el desarrollo de infraestructuras de riego sostenibles y eficientes.
- Se alienta a los investigadores a desarrollar y aplicar metodologías detalladas para la elaboración de presupuestos y cronogramas que consideren todos los aspectos financieros y temporales críticos de proyectos de infraestructura de riego. Futuras investigaciones deberían buscar innovar en la gestión de costos y la planificación de tiempos para optimizar la inversión y asegurar la implementación efectiva dentro de los plazos establecidos.

REFERENCIAS

- AL NAHIAN, S., RAKIB, M.R.J., KUMAR, R., HAIDER, S.M.B., SHARMA, P. y IDRIS, A.M., 2023. Distribution, characteristics, and risk assessments analysis of microplastics in shore sediments and surface water of Moheshkhali channel of Bay of Bengal, Bangladesh. *Science of the Total Environment* [en línea], vol. 855, no. January, pp. 1-7. ISSN 18791026. DOI 10.1016/j.scitotenv.2022.158892. Disponible en: <https://www.sciencedirect.com/science/article/abs/pii/S0048969722059915>.
- ALKHATTABI, L., ALKHARD, A. y GOUDA, A., 2023. Effects of change orders on the budget of the public sector construction projects in the kingdom of Saudi Arabia. *Results in Engineering* [en línea], vol. 20, no. December, pp. 1-17. ISSN 25901230. DOI 10.1016/j.rineng.2023.101628. Disponible en: <https://www.sciencedirect.com/science/article/pii/S2590123023007557>.
- AMMAR, T., ABDEL, M. y DASH, K., 2023. Appropriate budget contingency determination for construction projects: State-of-the-art. *Alexandria Engineering Journal* [en línea], vol. 78, no. September, pp. 88-103. ISSN 11100168. DOI 10.1016/j.aej.2023.07.035. Disponible en: <https://www.sciencedirect.com/science/article/pii/S1110016823006178>.
- ARANDA Y PINEDO, 2019. *Evaluación y Propuesta de Diseño del Canal de Riego de Coriac, Distrito de Anta, Provincia de Carhuaz, Departamento de Ancash* [en línea]. S.I.: s.n. ISBN 9781119130536. Disponible en: https://repositorio.usmp.edu.pe/bitstream/handle/20.500.12727/6942/asalde_y_jw.pdf?sequence=1&isAllowed=y.
- ASALDE, 2020. Diseño del canal de riego con maxima eficiencia hidráulica mediante el Software Hec-Ras, Del Tramo Km 0+000 Al Km 3+085, en el distrito de Salas, region Lambayeque. *Universidad San Martin de Porres* [en línea], pp. 1-160. Disponible en: https://repositorio.usmp.edu.pe/bitstream/handle/20.500.12727/6942/asalde_y_jw.pdf?sequence=1&isAllowed=y.
- ASCENCIO, 2021. Evaluación y diseño del canal integrador Santa San Bartolo para mejorar el servicio de agua para riego. *Universidad Nacional Agraria La Molina*

- [en línea], pp. 102. Disponible en: <https://repositorio.lamolina.edu.pe/bitstream/handle/20.500.12996/5274/ascencio-diaz-christian-xavier.pdf?sequence=1&isAllowed=y>.
- BALTODANO Y MORALES, 2020. Diseño Hidráulico de un canal de 1km de longitud en el municipio de Ciudad Sandino. *Universidad nacional autonoma de nicaragua* [en línea], pp. 1-114. Disponible en: <https://core.ac.uk/download/pdf/53103576.pdf>.
- BAQUE, L. y MERCHÁN, N., 2023. Gestión pública y sostenibilidad del sistema de riego en el traspase daule - Santa Elena empresa Pública del agua EPA. *Ciencia y desarrollo* [en línea], pp. 1-12. DOI <http://dx.doi.org/10.21503/cyd.v27i1.2572>. Disponible en: <https://revistas.uap.edu.pe/ojs/index.php/CYD/article/view/2572/2577>.
- CAI, Y., YU, C., ZHONG, S., CHEN, G. y LIU, L., 2023. Roughness-controlled cell-surface interactions mediate early biofilm development in drinking water systems. *Journal of Environmental Chemical Engineering* [en línea], vol. 11, no. 3, pp. 1-6. ISSN 22133437. DOI 10.1016/j.jece.2023.110101. Disponible en: <https://www.sciencedirect.com/science/article/abs/pii/S2213343723008400>.
- CHEN, M., NIU, Z., ZHANG, X. y ZHANG, Y., 2024. Pollution characteristics and health risk of sixty-five organics in one drinking water system: PAEs should be prioritized for control. *Chemosphere* [en línea], vol. 350, no. February, pp. 2-7. ISSN 18791298. DOI 10.1016/j.chemosphere.2024.141171. Disponible en: <https://www.sciencedirect.com/science/article/abs/pii/S004565352400064X>.
- CHILE Y ORTIZ, 2021. Dinámica de la distribución del agua en el sistema de riego Tumbaco en Ecuador. *Siembra* [en línea], vol. 8, no. 2, pp. 1-9. Disponible en: <http://scielo.senescyt.gob.ec/pdf/siembra/v8n2/2477-8850-siembra-08-02-03074.pdf>.
- CHUQUIPA, 2020. *Diseño del canal de irrigación Monterrico km 0+000 al km 3+800, caserío Tolopampa-El Parco-Bagua-Amazonas* [en línea]. S.I.: s.n. ISBN 9788578110796. Disponible en: <https://repositorio.ucv.edu.pe/handle/20.500.12692/47574>.
- DAL BARCO, M.K., FURLAN, E., PHAM, H.V., TORRESAN, S., ZACHOPOULOS,

- K., KOKKOS, N., SYLAIOS, G. y CRITTO, A., 2024. *Multi-scenario analysis in the Apulia shoreline: A multi-tiers analytical framework for the combined evaluation and management of coastal erosion and water quality risks* [en línea]. S.I.: s.n. Disponible en: <https://www.sciencedirect.com/science/article/pii/S1462901123003143>.
- DIWEDAR, A.I., FATHY, R.M., ABD ELHAMID, A.M.I. y BAHGAT, M., 2023. A hybrid approach to assess the hydraulic structures rehabilitation work, case study: El-Bagoureya head regulator, Egypt. *Alexandria Engineering Journal*, vol. 75, no. July, pp. 67-79. ISSN 11100168. DOI 10.1016/j.aej.2023.05.068.
- FAN, Yu, CHEN, H., GAO, Z., FAN, Yumiao, CHANG, X., YANG, M. y FANG, B., 2023. Water distribution and scheduling model of an irrigation canal system. *Computers and Electronics in Agriculture* [en línea], vol. 209, no. June, pp. 1-6. ISSN 01681699. DOI 10.1016/j.compag.2023.107866. Disponible en: <https://www.sciencedirect.com/science/article/abs/pii/S0168169923002545>.
- GAO, X., WANG, X., JIANG, Y., KONG, D., PAN, X., MA, J. y LIU, Y., 2024. Chloro- and bromo-benzoquinone formation and transformation mechanisms in a drinking water-distribution system. *Journal of Hazardous Materials* [en línea], vol. 461, no. January, pp. 1-6. ISSN 18733336. DOI 10.1016/j.jhazmat.2023.132692. Disponible en: <https://www.sciencedirect.com/science/article/abs/pii/S0304389423019751>.
- GAO, Z., DENG, F., YAN, D., ZHU, H., AN, Z. y SUN, P., 2022. Thermal performance of thermal management system coupling composite phase change material to water cooling with double s-shaped micro-channels for prismatic lithium-ion battery. *Journal of Energy Storage* [en línea], vol. 45, no. January, pp. 1-7. ISSN 2352152X. DOI 10.1016/j.est.2021.103490. Disponible en: <https://www.sciencedirect.com/science/article/abs/pii/S2352152X21011737>.
- GARCIA Y MARQUES, 2021. Urban agriculture, territorial governance and urban planning in an environmental protection area of Manaus – Brazil. *Artigo publicado em Open Access Creative Commons Atribution* [en línea], pp. 810-833. Disponible en: <https://www.scielo.br/j/cm/a/Tx3J8TkmWsZpWQk4Q7gjFhF/?format=pdf&lang>

=pt.

- JIANG, H., LI, L., WANG, Z., GONG, J., SUN, T. y LI, H., 2022. Anti-frost heave design method for a parabolic canal based on the hydraulic optimal solution set in seasonally frozen regions. *Cold Regions Science and Technology* [en línea], vol. 193, no. January, pp. 1-6. ISSN 0165232X. DOI 10.1016/j.coldregions.2021.103433. Disponible en: <https://www.sciencedirect.com/science/article/abs/pii/S0165232X21002147>.
- JIANG, W., FENG, G., WANG, H., CHANG, Z., TAN, X., JI, J., ZHANG, Y. y ZHOU, J., 2024. Analysis of hybrid active-passive prismatic Li-ion battery thermal management system using phase change materials with porous-filled mini-channels. *Journal of Energy Storage* [en línea], vol. 80, no. March, pp. 1-6. ISSN 2352152X. DOI 10.1016/j.est.2023.110144. Disponible en: <https://www.sciencedirect.com/science/article/abs/pii/S2352152X23035430>.
- KARIMI, H., HASHEMY, S.M., HASHEMI, S.E., LIAGHAT, A., GUAN, G., BEHZADI, F., MILAN, S.G. y BERNDTSSON, R., 2023. Operational loss estimation in irrigation canals by integrating hydraulic simulation and crop growth modeling. *Agricultural Water Management* [en línea], vol. 288, no. October, pp. 1-25. ISSN 18732283. DOI 10.1016/j.agwat.2023.108478. Disponible en: <https://www.sciencedirect.com/science/article/pii/S0378377423003438>.
- LE, T.V. y NGUYEN, B.T., 2024. Heavy metal pollution in surface water bodies in provincial Khanh Hoa, Vietnam: Pollution and human health risk assessment, source quantification, and implications for sustainable management and development. *Environmental Pollution* [en línea], vol. 343, no. February, pp. 1-6. ISSN 18736424. DOI 10.1016/j.envpol.2023.123216. Disponible en: <https://www.sciencedirect.com/science/article/abs/pii/S0269749123022182>.
- LI, G., CHEN, Q., ZHOU, Y., SU, Y., WU, B., YU, J., YANG, M. y SHI, B., 2024. Manganese and iron oxides on pipe surface promote dissolved aluminum accumulation in drinking water distribution systems. *Science of The Total Environment* [en línea], vol. 924, no. May, pp. 1-6. DOI <https://doi.org/10.1016/j.scitotenv.2024.171606>. Disponible en: <https://www.sciencedirect.com/science/article/abs/pii/S0048969724017479>.

- LIGHTFOOT, D.R., FINCHUM, A., VADJUNEC, J.M., ANDREWS, J. y ODENWALD, J., 2023. Traditional environmental knowledge and transport efficiency of a communal canal network, Tafilalt oasis, Morocco: A historical GIS analytics perspective. *Journal of Historical Geography* [en línea], vol. 80, no. April, pp. 79-93. ISSN 10958614. DOI 10.1016/j.jhg.2023.03.003. Disponible en: <https://www.sciencedirect.com/science/article/abs/pii/S0305748823000233>.
- LIU, D., YU, N. y WAN, H., 2022. Does water rights trading affect corporate investment? The role of resource allocation and risk mitigation channels. *Economic Modelling* [en línea], vol. 117, no. December, pp. 1-6. ISSN 02649993. DOI 10.1016/j.econmod.2022.106063. Disponible en: <https://www.sciencedirect.com/science/article/abs/pii/S0264999322003005>.
- LUND, R., GATES, T.K. y SCALIA, J., 2023. Characterization and control of irrigation canal seepage losses: A review and perspective focused on field data. *Agricultural Water Management* [en línea], vol. 289, no. November. ISSN 18732283. DOI 10.1016/j.agwat.2023.108516. Disponible en: <https://www.sciencedirect.com/science/article/abs/pii/S0378377423003815>.
- MAHPOUR, A. y EL-DIRABY, T., 2024. Reliable network-level pavement maintenance budget allocation: Algorithm selection and parameter tuning matter. *Swarm and Evolutionary Computation* [en línea], vol. 86, no. April, pp. 101493. ISSN 22106502. DOI 10.1016/j.swevo.2024.101493. Disponible en: <https://www.sciencedirect.com/science/article/abs/pii/S2210650224000269>.
- MAO, W., ZHU, Y., HUANG, S., HAN, X., SUN, G., YE, M. y YANG, J., 2024. Assessment of spatial and temporal seepage losses in large canal systems under current and future water-saving conditions: A case study in the Hetao Irrigation District, China. *Agricultural Water Management* [en línea], vol. 291, no. February, pp. 1-30. ISSN 18732283. DOI 10.1016/j.agwat.2023.108615. Disponible en: <https://www.sciencedirect.com/science/article/abs/pii/S0378377423004808>.
- MOGRO ET AL., 2019. Análisis del cambio tecnológico del sistema de riego de siete directorios del río San Juan - Ecuador. *Facultad de la carrera de ingeniería agronómica de la universidad técnica de Cotopaxi* [en línea], vol. 3,

no. April, pp. 49-58. Disponible en:
<https://revistas.unheval.edu.pe/index.php/reina/article/view/822/692>.

MOHAMED, E., 2023. Deployment of mmWave multi-UAV mounted RISs using budget constraint Thompson sampling with collision avoidance. *ICT Express*, no. August, pp. 1-16. ISSN 24059595. DOI 10.1016/j.icte.2023.07.011.

MONTOYA, R., 2020. Diseño hidráulico del canal espino para mejorar la eficiencia de conducción, distrito de Pitipo, Ferreñafe, Lambayeque. *Universidad Cesar Vallejo* [en línea], pp. 1-118. Disponible en: http://repositorio.ucv.edu.pe/bitstream/handle/20.500.12692/47102/Gutierrez_RS-SD.pdf?sequence=1&isAllowed=y.

MORENO, Y., MORENO-MESONERO, L., SOLER, P., ZORNOZA, A. y SORIANO, A., 2024. Influence of drinking water biofilm microbiome on water quality: Insights from a real-scale distribution system. *Science of the Total Environment* [en línea], vol. 921, no. April, pp. 1-22. ISSN 18791026. DOI 10.1016/j.scitotenv.2024.171086. Disponible en: <https://www.sciencedirect.com/science/article/pii/S0048969724012257>.

MOYA Y ÁLVAREZ, 2018. Modelación hidráulica de un canal urbano en la ciudad de Bogotá, caso de estudio: canal Rio Negro. *Universidad Católica de Colombia* [en línea], pp. 6-7. Disponible en: <https://repository.ucatolica.edu.co/bitstream/10983/16344/1/DOCUMENTO MODELACION HIDRAULICA CANAL RIO NEGRO %281%29.pdf>.

NI, R., CHU, X., LIU, R., SHAN, J., TIAN, Y. y ZHAO, W., 2024. Chromium immobilization and release by pipe scales in drinking water distribution systems: The impact of anions. *Science of the Total Environment* [en línea], vol. 906, no. January, pp. 1-6. ISSN 18791026. DOI 10.1016/j.scitotenv.2023.167600. Disponible en: <https://www.sciencedirect.com/science/article/abs/pii/S0048969723062277>.

NUÑEZ, Y., 2022. Problemas en la implementación de la política pública agraria peruana. eje 4: infraestructura agraria y tecnificación de riego, en el proyecto especial sierra centro sur (PESCS) entre los años 2015-2020. *Pontificia Universidad Católica del Perú* [en línea], Disponible en:

[https://tesis.pucp.edu.pe/repositorio/bitstream/handle/20.500.12404/22255/N
UNEZ CUADROS YENI PROBLEMAS EN LA IMPLEMENTACION DE LA POLITICA PUBLICA.pdf?sequence=1&isAllowed=y](https://tesis.pucp.edu.pe/repositorio/bitstream/handle/20.500.12404/22255/NUNEZ CUADROS YENI PROBLEMAS EN LA IMPLEMENTACION DE LA POLITICA PUBLICA.pdf?sequence=1&isAllowed=y).

OLIVERO, 2018. Optimización de canal abierto mediante el desarrollo y calibración de un modelo hidráulico. Caso de estudio: canal Tolima, municipio de Aracataca, departamento del Magdalena. *Municipio de Aracataca* [en línea], pp. 1-171. Disponible en: <https://repositorio.cuc.edu.co/bitstream/handle/11323/2269/1102846662.pdf?sequence=1&isAllowed=y>.

PASCO Y ROSAS, 2020. Evaluación de las secciones trapezoidal y triangular en el mejoramiento hidráulico de un canal rectangular del Gallito, Moquegua. *Universidad César Vallejo* [en línea], pp. 1-118. Disponible en: http://repositorio.ucv.edu.pe/bitstream/handle/20.500.12692/47102/Gutierrez_RS-SD.pdf?sequence=1&isAllowed=y.

PENG, M., CHEN, L., ZHANG, R., XU, W. y TAO, W.Q., 2022. Improvement of thermal and water management of air-cooled polymer electrolyte membrane fuel cells by adding porous media into the cathode gas channel. *Electrochimica Acta* [en línea], vol. 412, no. April, pp. 1-7. ISSN 00134686. DOI 10.1016/j.electacta.2022.140154. Disponible en: <https://www.sciencedirect.com/science/article/abs/pii/S0013468622003267>.

RICALDI Y MARTINEZ, 2021. Evaluación de eficiencia hidráulica de canales de riego por gravedad - canal Huayao, Chupaca, Junín. *Universidad Continental* [en línea], pp. 1-138. Disponible en: https://repositorio.continental.edu.pe/bitstream/20.500.12394/11093/2/IV_FIN_105_TE_Capcha_Martinez_2021.pdf.

SATOU, E., IKEDA, T., UCHIYAMA, T., OKAYAMA, T., MIYAZAWA, T., TAKAMURE, K. y TSUNASHIMA, D., 2022. Development of an undershot cross-flow hydraulic turbine resistant to snow and ice masses flowing in an installation canal. *Renewable Energy* [en línea], vol. 200, no. November, pp. 146-153. ISSN 18790682. DOI 10.1016/j.renene.2022.09.062. Disponible en: <https://www.sciencedirect.com/science/article/abs/pii/S0960148122014185>.

SOANA, E., GAVIOLI, A., NERI, F. y CASTALDELLI, G., 2023. Looking back to move forward: Restoring vegetated canals to meet missing Water Framework Directive goals in agricultural basins. *Science of the Total Environment* [en línea], vol. 905, no. December, pp. 1-31. ISSN 18791026. DOI 10.1016/j.scitotenv.2023.167331. Disponible en: <https://www.sciencedirect.com/science/article/pii/S0048969723059582>.

VERMA, A., ARORA, A. y TANEJA, S., 2024. Comparative evaluation of dentinal tubule penetration and push-out bond strength of new injectable hydraulic calcium disilicate based root canal sealer: A single blinded in vitro study. *Journal of Oral Biology and Craniofacial Research* [en línea], vol. 14, no. 2, pp. 143-151. ISSN 22124268. DOI 10.1016/j.jobcr.2024.01.009. Disponible en: <https://www.sciencedirect.com/science/article/pii/S2212426824000095>.

WU, S.J., YANG, H.Y., CHANG, C.H. y HSU, C.T., 2023. Modeling GA-derived optimization analysis for canal-based irrigation water allocation under variations in runoff-related and irrigation-related factors. *Agricultural Water Management* [en línea], vol. 290, no. December, pp. 1-30. ISSN 18732283. DOI 10.1016/j.agwat.2023.108588. Disponible en: <https://www.sciencedirect.com/science/article/pii/S0378377423004535>.

XIN, C., KHU, S.T., WANG, T., ZUO, X. y ZHANG, Y., 2024. Effect of flow fluctuation on water pollution in drinking water distribution systems. *Environmental Research* [en línea], vol. 246, no. April, pp. 1-6. ISSN 10960953. DOI 10.1016/j.envres.2024.118142. Disponible en: <https://www.sciencedirect.com/science/article/abs/pii/S001393512400046X>.

YAN, C., WAN, W. di, WANG, R. ning, LAI, T. nuo, ALI, W., HE, S. shan, LIU, S., LI, X., NASIR, Z.A. y COULON, F., 2024. Quantitative health risk assessment of microbial hazards from water sources for community and self-supply drinking water systems. *Journal of Hazardous Materials* [en línea], vol. 465, no. March, pp. 1-6. ISSN 18733336. DOI 10.1016/j.jhazmat.2023.133324. Disponible en: <https://www.sciencedirect.com/science/article/abs/pii/S0304389423026080>.

YANG, L., LIU, J., LIU, Z. y LUO, W., 2023. Grounding risk quantification in channel using the empirical ship domain. *Ocean Engineering* [en línea], vol. 286, no. October, pp. 1-7. ISSN 00298018. DOI 10.1016/j.oceaneng.2023.115672.

Disponible en:

<https://www.sciencedirect.com/science/article/abs/pii/S0029801823020565>.

YAO, F., GUAN, X., CHEN, Q. y LIN, L., 2024. Research on thermal management system of lithium-ion battery with a new type of spider web liquid cooling channel and phase change materials. *Journal of Energy Storage* [en línea], vol. 81, no. March, pp. 1-7. ISSN 2352152X. DOI 10.1016/j.est.2024.110447.

Disponible en:

<https://www.sciencedirect.com/science/article/abs/pii/S2352152X2400032X>.

YAO, Y., FU, D., JIA, H., SINGH, R.P. y ZHANG, J., 2023. A novel approach to optimize flow capacity of the polder canal networks through community detection-based topology modification. *Urban Climate* [en línea], vol. 52, no. November, pp. 1-6. ISSN 22120955. DOI 10.1016/j.uclim.2023.101673.

Disponible en:

<https://www.sciencedirect.com/science/article/abs/pii/S2212095523002675>.

YEH, W., 2023. Reliability Engineering & System Safety Building reliable budget-based binary-state networks. *Reliability Engineering & System Safety* [en línea], vol. 240, no. December, pp. 1-6. DOI <https://doi.org/10.1016/j.ress.2023.109567>. Disponible en:

<https://www.sciencedirect.com/science/article/abs/pii/S0951832023004817>.

YU, R., ZHANG, C., GAO, X. y DALY, K., 2023. Stagnant water environmental management in urban river networks: An integrated risk analysis involving hydraulic potential dissipation. *Journal of Hydrology* [en línea], vol. 622, no. July, pp. 1-6. ISSN 00221694. DOI 10.1016/j.jhydrol.2023.129652. Disponible en:

<https://www.sciencedirect.com/science/article/abs/pii/S0022169423005942>.

ZHU, Z., GUAN, G. y WANG, K., 2023. Distributed model predictive control based on the alternating direction method of multipliers for branching open canal irrigation systems. *Agricultural Water Management* [en línea], vol. 285, no. July, pp. 1-26. ISSN 18732283. DOI 10.1016/j.agwat.2023.108372. Disponible en:

<https://www.sciencedirect.com/science/article/abs/pii/S0378377423002378>.

ANEXOS

Anexo 1. Tabla de operacionalización de variables

| Variable de estudio | Definición Conceptual | Definición Operacional | Dimensión | Indicadores | Escala de medición |
|---------------------------------------------------|-------------------------------------------------------------------------------------------------------------------------------------------------------------------------------------------|-----------------------------------------------------------------------------------------------------------------------------------------------------------------------------------|--------------------------------------------------------------------------------------------|--------------------------------------------------------------------------------------------------------------------------------------------------------------------------------------------------------------------------------------------------------------------------------|------------------------------------------|
| Mejoramiento del canal al Porvenir 0+000-4+264 km | Un canal o sistema de riego es una forma innovadora de transportar agua desde un río o fuente primaria a otros canales secundarios para una distribución eficiente. Chile y Ortiz, (2021) | Se tiene que recopilar la información de campo y realizar los estudios básicos del proyecto para el diseño estructural, hidráulico, costos y presupuestos y el impacto ambiental. | Diagnóstico situacional Estudios básicos Diseño estructural Costos y presupuestos | Área de influencia del proyecto Contesto social Estudio de mecánica de suelos Estudio de topografía Estudio hidrológico Impacto ambiental De obras de arte Canal hidráulico Valoración Partidas Metrados Costos unitarios | Nominal Nominal Nominal Nominal |
| Eficiencia de conducción de agua | La eficiencia de conducción permite evaluar la perdida de agua en el canal principal desde la Bocatoma hasta el punto final del canal principal (Ministerio de Agricultura y riego 2015). | La eficiencia está compuesta por la buena conducción del canal principal y la distribución de los canales laterales para el riego de las parcelas agrarias | Eficiencia de conducción | Perdida de recurso hídrico en la conducción | |

Anexo 2. Matriz de consistencia

| Problema general | Objetivos | Hipótesis | Variables | Dimensiones | Indicadores | Escala de medición |
|------------------------------------------------------------------------------------------------------------------------------------------------------------|--------------------------------------------------------------------------------------------------------------------------------------------|-------------------------------------------------------------------------------------------------------------------------------------------------------------------------------------------------|---------------------------------------------------|--------------------------------------------------------------------------------------------|------------------------------------------------------------------------------------------------------------------------------------------------------------------------------------------------------------------------------------------------------------|------------------------------------------------------------------|
| : ¿Con el Diseño de la infraestructura de riego se podrá mejorar la eficiencia hidráulica del canal El Porvenir 0+000-4+264 km. Distrito la Peca-Amazonas? | Diseñar la infraestructura de riego para mejorar la eficiencia hidráulica del canal El Porvenir 0+000-4+264 km. Distrito la Peca-Amazonas. | No aplica por ser una investigación cuantitativa, donde no requiere de hipótesis para el diseño de la infraestructura del canal de riego El Porvenir 0+000-4+264 km. Distrito la Peca-Amazonas. | Mejoramiento del canal al Porvenir 0+000-4+264 km | Diagnóstico situacional Estudios básicos Diseño estructural Costos y presupuestos | Área de influencia del proyecto Contesto social Estudio de mecánica de suelos Estudio de topografía Estudio hidrológico Impacto ambiental De obras de arte Canal hidráulico Valoración Partidas Metrados Costos unitarios | Nominal Razón Continua Razón Razón Razón Razón |
| | | | Eficiencia de conducción de agua | Eficiencia de conducción | Perdida de recurso hídrico en la conducción | Razón |

Fuente: Elaboración propia

Anexo 3.

Tabla 01: Demanda de agua para riego

| DEMANDA DE AGUA PARA RIEGO - CANAL EL PORVENIR – LA PECA “LA PECA” – Captación em quebrada CHURIACO” | | | | | | | | | | | | |
|---------------------------------------------------------------------------------------------------------|-----------|-------|-------|-------|-------|---------------|-------|-------|----------------|-------|-------|-------|
| CÁLCULO DELA EVAPOTRANSPIRACIÓN POTENCIAL (mm/mes) | | | | | | | | | | | | |
| MÉTODO DE HARGREAVES | | | | | | | | | | | | |
| ESTACIÓN: | CP: BAGUA | | | | | Lat:05°67'00" | | | Long:78°54'00" | | | |
| VARIABLES | ENE. | FEB. | MAR. | ABR. | MAY. | JUN. | JUL. | AGO. | SET. | OCT. | NOV. | DIC. |
| MF | 2.43 | 2.20 | 2.36 | 2.13 | 2.00 | 1.84 | 1.97 | 2.12 | 2.23 | 2.42 | 2.36 | 2.43 |
| TEMP.° C | 24.37 | 24.28 | 24.20 | 24.35 | 24.00 | 23.48 | 23.28 | 24.25 | 24.63 | 25.10 | 24.68 | 24.24 |
| TMF | 75.87 | 75.70 | 75.56 | 75.83 | 75.20 | 74.26 | 73.90 | 75.65 | 76.33 | 77.18 | 76.42 | 75.63 |
| HR(%) | 67.21 | 67.18 | 69.65 | 67.07 | 70.21 | 69.84 | 65.58 | 63.04 | 63.26 | 63.75 | 65.24 | 66.49 |
| CH | 0.95 | 0.95 | 0.91 | 0.95 | 0.91 | 0.91 | 0.97 | 1.01 | 1.01 | 1.00 | 0.98 | 0.96 |
| CE | 1.01 | 1.01 | 1.01 | 1.01 | 1.01 | 1.01 | 1.01 | 1.01 | 1.01 | 1.01 | 1.01 | 1.01 |
| Eto | 177.1 | 159.7 | 164.9 | 155.1 | 137.6 | 125.6 | 143.0 | 163.0 | 172.9 | 188.3 | 178.1 | 178.0 |
| | 4 | 5 | 2 | 1 | 3 | 1 | 6 | 9 | 9 | 1 | 3 | 1 |

Fuente: Elaboración propia

“ Pormedio de los valores 5° y 6° de “FACTOR DE EVAPOTRANSPIRACIÓN POTENCIAL”

Fórmulas empleadas: $Eto = MF \times TMF \times CH \times CE$; $TMF = (9/5) TMC + 32$;
 $CE = 1.0 + 0.04 (E/2000)$

$$CH = 0.166x (100 - HR), \text{ para } HR > 64\%, CH=1$$

Donde:

ETo= Evapotranspiración potencial (mm/mes)

MF= Factor mensual de latitud

TMF= Temperatura media mensual (°F)

CE= Factor de corrección para la altura del lugar

TMC= Temperatura media mensual (°C)
corrección para la humedad relativa

CH = Factor de

HR= humedad relativa media mensual (%)

E= Altitud o elevación del lugar (msnm)

$$E = 410 \text{ msnm}$$

$$CE = 1.0082 = 1.01$$

Tabla 02: CEDULA DE CULTIVO - Fundo “EL PARCO”

| CULTIVO | Área | U. de medida |
|------------|-------|--------------|
| ARROZ | 40.11 | Has. |
| PLATANO | 1.39 | Has. |
| CACAO | 25.07 | Has. |
| INVERNA | 23.90 | Has. |
| Area total | 90.47 | Has. |

Fuente: Elaboración propia

Tabla 03: EVAPOTRANSPIRACIÓN POTENCIAL DE LOS CULTIVOS (Eto)

mm/mes : FÓRMULA DE HARGREAVES ETP = MF X TMF X CH

Eto: Evapotranspiración Potencial (mm/mes)

MF: Factor mensual de latitud (de tablas)

TMF: Temperatura media mensual en grados Farenheit (°F)

CH: $0.166 \times (100 - HR)^{1/2}$; para $HR > 64\%$

| VARIABLE | ENE. | FEB. | MAR. | ABR. | MAY. | JUN. | JUL. | AGO. | SET. | OCT. | NOV. | DIC. |
|----------|--------|--------|--------|--------|--------|--------|--------|--------|--------|--------|--------|--------|
| MF | 2.43 | 2.20 | 2.36 | 2.13 | 2.00 | 1.84 | 1.97 | 2.12 | 2.23 | 2.42 | 2.36 | 2.43 |
| TEMP. °C | 24.37 | 24.28 | 24.20 | 24.35 | 24.00 | 23.48 | 23.28 | 24.25 | 24.63 | 25.10 | 24.68 | 24.24 |
| TMF | 75.87 | 75.70 | 75.56 | 75.83 | 75.20 | 74.26 | 73.90 | 75.65 | 76.33 | 77.18 | 76.42 | 75.63 |
| HR(%) | 67.21 | 67.18 | 69.65 | 67.07 | 70.21 | 69.84 | 65.58 | 63.04 | 63.26 | 63.75 | 65.24 | 66.49 |
| CH | 0.95 | 0.95 | 0.91 | 0.95 | 0.91 | 0.91 | 0.97 | 1.01 | 1.01 | 1.00 | 0.98 | 0.96 |
| Eto | 177.14 | 159.75 | 164.92 | 155.11 | 137.63 | 125.61 | 143.06 | 163.09 | 172.99 | 188.31 | 178.13 | 178.01 |
| | 5.714 | 5.705 | 5.320 | 5.170 | 4.440 | 4.187 | 4.615 | 5.261 | 5.766 | 6.074 | 5.938 | 5.934 |

Fuente: Elaboración propia

Tabla 04: Evapotranspiración (Eto)

| EVAPOTRANSPIRACIÓN (Eto) | | | | | | | | | | | | |
|---------------------------|---------|---------|---------|---------|---------|---------|---------|---------|---------|--------|---------|---------|
| | ENE. | FEB. | MAR. | ABR. | MAY. | JUN. | JUL. | AGO. | SET. | OCT. | NOV. | DIC. |
| Eto | 177.14 | 159.75 | 164.92 | 155.11 | 137.63 | 125.61 | 143.06 | 163.09 | 172.99 | 188.31 | 178.13 | 178.01 |
| Nº días | 31.00 | 28.00 | 31.00 | 30.00 | 31.00 | 30.00 | 31.00 | 31.00 | 30.00 | 31.00 | 30.00 | 31.00 |
| Eto mes | 5491.27 | 4473.07 | 5112.42 | 4653.19 | 4266.52 | 3768.37 | 4434.96 | 5055.64 | 5189.71 | 5837.5 | 5343.97 | 5518.18 |

Fuente: Elaboración propia

| País PERU | | | Estación Bagua Chica | | | | | |
|------------|-------------|-------------|----------------------|---------------|------------------|---------------|------------|--|
| Altitud | 410 m. | Latitud | 5.65 °S | Longitud | 78.53 °W | | | |
| Mes | Temp Min °C | Temp Max °C | Humedad % | Viento km/día | Insolación horas | Rad MJ/m²/día | ETo mm/día | |
| Enero | 25.9 | 27.7 | 67 | 1 | 5.7 | 18.4 | 3.64 | |
| Febrero | 25.9 | 27.6 | 67 | 1 | 5.2 | 17.9 | 3.55 | |
| Marzo | 25.9 | 28.0 | 70 | 1 | 5.9 | 18.8 | 3.72 | |
| Abril | 26.3 | 27.4 | 67 | 1 | 6.2 | 18.2 | 3.52 | |
| Mayo | 25.8 | 27.0 | 70 | 1 | 7.2 | 19.2 | 3.42 | |
| Junio | 25.0 | 26.0 | 70 | 1 | 8.4 | 19.7 | 3.30 | |
| Julio | 25.1 | 26.6 | 66 | 1 | 8.8 | 19.9 | 3.48 | |
| Agosto | 25.8 | 27.4 | 63 | 1 | 8.4 | 20.7 | 3.75 | |
| Septiembre | 26.5 | 27.5 | 63 | 1 | 7.7 | 21.0 | 3.96 | |
| Octubre | 27.2 | 28.1 | 64 | 1 | 6.5 | 19.7 | 3.88 | |
| Noviembre | 26.4 | 28.2 | 65 | 1 | 7.0 | 20.4 | 4.00 | |
| Diciembre | 26.3 | 27.4 | 67 | 1 | 6.4 | 19.3 | 3.79 | |
| Promedio | 26.0 | 27.5 | 67 | 1 | 6.9 | 19.3 | 3.67 | |

Figura N° 03: Estación Bagua chica

Fuente: Elaboración propia

| Estación Bagua Chica | | Método Prec. Ef Método USDA S.C. | |
|----------------------|-----------|------------------------------------|--|
| | Precipit. | Prec. efec | |
| | mm | mm | |
| Enero | 45.7 | 42.4 | |
| Febrero | 46.4 | 43.0 | |
| Marzo | 70.0 | 62.8 | |
| Abril | 63.2 | 56.8 | |
| Mayo | 80.0 | 69.7 | |
| Junio | 45.5 | 42.2 | |
| Julio | 37.7 | 35.4 | |
| Agosto | 18.6 | 16.1 | |
| Septiembre | 30.3 | 28.8 | |
| Octubre | 67.8 | 60.4 | |
| Noviembre | 74.3 | 65.5 | |
| Diciembre | 46.4 | 42.9 | |
| Total | 626.7 | 568.1 | |

Figura N° 04: Estación Bagua chica - Método USDA S.C

Fuente: Elaboración propia

Tabla 05: Precipitación efectiva

| Precipitación efectiva | Unidad | Meses | | | | | | | | | | | |
|--------------------------------|--------|-------|------|------|-------|-------|-------|-------|-------|-------|-------|-------|-------|
| | | ENE | FEB | MAR | ABR | MAY | JUN | JUL | AGOS | SEP | OCT | NOV | DIC |
| Precipitación efectiva mensual | mm | 42.4 | 43.0 | 6.20 | 56.80 | 69.70 | 42.20 | 35.40 | 18.10 | 28.80 | 60.40 | 65.50 | 42.90 |

Fuente: Elaboración propia

Tabla 06: Calendario de cultivo – con proyecto

| CULTIVO | CALENDARIO DE CULTIVO-CON PROYECTO | | | | | | | | | | | | | |
|------------|------------------------------------|-------|---------------|-------|-------|-------|-------|-------|-------|-------|-------|-------|-------|-------|
| | AREA | | MESES DEL AÑO | | | | | | | | | | | |
| | Has | (%) | E | F | M | A | M | J | J | A | S | O | N | D |
| Arroz | 40.11 | 44.3 | 40.11 | 40.11 | | 40.11 | 40.11 | 40.11 | 40.11 | 40.11 | | 40.11 | 40.11 | 40.11 |
| Cacao | 25.07 | 27.7 | 25.07 | 25.07 | 25.07 | 25.07 | 25.07 | 25.07 | 25.07 | 25.07 | 25.07 | 25.07 | 25.07 | 25.07 |
| Plátano | 1.39 | 1.5 | 1.39 | 1.39 | 1.39 | 1.39 | 1.39 | 1.39 | 1.39 | 1.39 | 1.39 | 1.39 | 1.39 | 1.39 |
| Inverna | 23.90 | 26.4 | 23.9 | 23.9 | 23.9 | 23.9 | 23.9 | 23.9 | 23.9 | 23.9 | 23.9 | 23.9 | 23.9 | 23.9 |
| TOTAL | 90.47 | 100.% | 90.47 | 90.47 | 50.36 | 90.47 | 90.47 | 90.47 | 90.47 | 90.47 | 90.47 | 90.47 | 90.47 | 90.47 |
| porcentaje | 100% | | 100 | 100 | 55.66 | 100 | 100 | 100 | 100 | 100 | 100 | 55.66 | 100 | 100 |

Fuente: Elaboración propia

Tabla 07: Cedula y coeficientes de cultivos

| CEDULA DE CULTIVO | MESES DEL AÑO | | | | | | | | | | | | |
|-------------------------|---------------|-------|-------|-------|-------|-------|-------|-------|-------|-------|-------|-------|-------|
| | Has | E | F | M | A | M | J | J | A | S | O | N | D |
| Arroz | 40.11 | 40.11 | 40.11 | | 40.11 | 40.11 | 40.11 | 40.11 | 40.11 | | 40.11 | 40.11 | 40.11 |
| Cacao | 25.07 | 25.07 | 25.07 | 25.07 | 25.07 | 25.07 | 25.07 | 25.07 | 25.07 | 25.07 | 25.07 | 25.07 | 25.07 |
| Plátano | 1.39 | 1.39 | 1.39 | 1.39 | 1.39 | 1.39 | 1.39 | 1.39 | 1.39 | 1.39 | 1.39 | 1.39 | 1.39 |
| Inverna | 23.90 | 23.9 | 23.9 | 23.9 | 23.9 | 23.9 | 23.9 | 23.9 | 23.9 | 23.9 | 23.9 | 23.9 | 23.9 |
| TOTAL | 90.47 | 90.47 | 90.47 | 50.36 | 90.47 | 90.47 | 90.47 | 90.47 | 90.47 | 90.47 | 90.47 | 90.47 | 90.47 |

Fuente: Elaboración propia

Tabla 08: De terminación del Kc ponderado

| CULTIVO | AREA | | MESES DEL AÑO | | | | | | | | | | | |
|---------|-------|-------|---------------|-------|-------|-------|-------|-------|-------|-------|-------|-------|-------|-------|
| | Has | (%) | E | F | M | A | M | J | J | A | S | O | N | D |
| Arroz | 40.11 | 44.3 | 40.11 | 40.11 | | 40.11 | 40.11 | 40.11 | 40.11 | 40.11 | | 40.11 | 40.11 | 40.11 |
| Cacao | 25.07 | 27.7 | 25.07 | 25.07 | 25.07 | 25.07 | 25.07 | 25.07 | 25.07 | 25.07 | 25.07 | 25.07 | 25.07 | 25.07 |
| Plátano | 1.39 | 1.5 | 1.39 | 1.39 | 1.39 | 1.39 | 1.39 | 1.39 | 1.39 | 1.39 | 1.39 | 1.39 | 1.39 | 1.39 |
| Inverna | 23.90 | 26.4 | 23.9 | 23.9 | 23.9 | 23.9 | 23.9 | 23.9 | 23.9 | 23.9 | 23.9 | 23.9 | 23.9 | 23.9 |
| TOTAL | 90.47 | 100.% | 90.47 | 90.47 | 50.36 | 90.47 | 90.47 | 90.47 | 90.47 | 90.47 | 90.47 | 90.47 | 90.47 | 90.47 |
| KCP | 100% | | 1.00 | 1.00 | 0.56 | 1.00 | 1.00 | 1.00 | 1.00 | 1.00 | 1.00 | 1.00 | 1.00 | 1.00 |

. Fuente: Elaboración propia

Tabla 09: Determinación del Kc ponderado

| CULTIVO | COMISIÓN DE REGANTES | MESES DEL AÑO | | | | | | | | | | | |
|---------|----------------------|---------------|------|------|------|------|------|------|------|------|------|------|------|
| | | E | F | M | A | M | J | J | A | S | O | N | D |
| Arroz | EL PORVENIR | 1.00 | 1.00 | 1.00 | 1.00 | 1.00 | 1.00 | 1.00 | 1.00 | 1.00 | 1.00 | 1.00 | 1.00 |
| Cacao | | 0.63 | 0.63 | 0.63 | 0.63 | 0.63 | 0.63 | 0.63 | 0.63 | 0.63 | 0.63 | 0.63 | 0.63 |
| Plátano | | 0.03 | 0.03 | 0.03 | 0.03 | 0.03 | 0.03 | 0.03 | 0.03 | 0.03 | 0.03 | 0.03 | 0.03 |
| | | 0.60 | 0.60 | 0.60 | 0.60 | 0.60 | 0.60 | 0.60 | 0.60 | 0.60 | 0.60 | 0.60 | 0.60 |
| Inverna | | 0.56 | 0.56 | 0.56 | 0.56 | 0.56 | 0.56 | 0.56 | 0.56 | 0.56 | 0.56 | 0.56 | 0.56 |

Fuente: Elaboración propia

Tabla 10: Determinación del Kc ponderado

| COMISIÓN DE REGANTES | MESES DEL AÑO | | | | | | | | | | | |
|----------------------|---------------|------|------|------|------|------|------|------|------|------|------|------|
| | E | F | M | A | M | J | J | A | S | O | N | D |
| EL PORVENIR | 1.00 | 1.00 | 0.56 | 1.00 | 1.00 | 1.00 | 1.00 | 1.00 | 0.56 | 1.00 | 1.00 | 1.00 |

Fuente: Elaboración propia

Tabla 11: Área cultivadas por mes (has).

| CULTIVO DE REFERENCIA | Area (has) | Areas Cultivadas por mes (has) | | | | | | | | | | | | | | | | | | | | | | | | |
|-----------------------|------------|--------------------------------|--------------|------|--------------|------|------------|------|--------------|------|--------------|------|--------------|------|--------------|------|--------------|------|------------|------|--------------|------|--------------|------|--------------|--|
| | | Kc | Ene | Kc | Feb | Kc | Mar | Kc | Abr | Kc | May | Kc | Jun | Kc | Jul | Kc | Ago | Kc | Set | Kc | Oct | Kc | Nov | Kc | Dic | |
| ARROZ | 40.11 | 1.02 | 40.11 | 0.95 | 40.11 | 0.00 | 0.00 | 1.00 | 40.11 | 1.10 | 40.11 | 1.04 | 40.11 | 1.02 | 40.11 | 0.95 | 40.11 | 0.00 | 0.00 | 1.00 | 40.11 | 1.10 | 40.11 | 1.04 | 40.11 | |
| PLATANO | 1.39 | 0.50 | 1.39 | 0.50 | 1.39 | 0.60 | 1.39 | 0.60 | 1.39 | 0.60 | 1.39 | 0.60 | 1.39 | 0.60 | 1.39 | 0.60 | 1.39 | 0.60 | 1.39 | 0.60 | 1.39 | 0.60 | 1.39 | 0.60 | 1.39 | |
| CACAO | 25.07 | 0.56 | 25.07 | 0.60 | 25.07 | 0.60 | 25.07 | 0.59 | 25.07 | 0.54 | 25.07 | 0.46 | 25.07 | 0.33 | 25.07 | 0.13 | 25.07 | 0.10 | 25.07 | 0.26 | 25.07 | 0.39 | 25.07 | 0.49 | 25.07 | |
| INVERNA | 23.90 | 0.75 | 23.90 | 0.75 | 23.90 | 0.75 | 23.90 | 0.75 | 23.90 | 0.75 | 23.90 | 0.75 | 23.90 | 0.75 | 23.90 | 0.75 | 23.90 | 0.75 | 23.90 | 0.75 | 23.90 | 0.75 | 23.90 | 0.75 | 23.90 | |
| AREA CULTIVA | 90.47 | | 90.47 | | 90.47 | | 50.36 | | 90.47 | | 90.47 | | 90.47 | | 90.47 | | 90.47 | | 50.36 | | 90.47 | | 90.47 | | 90.47 | |
| Kc Ponderado | KcPnd | 0.71 | | 0.70 | | 0.49 | | 0.74 | | 0.75 | | 0.71 | | 0.68 | | 0.61 | | 0.36 | | 0.65 | | 0.71 | | 0.72 | | |
| Etp (mm/día) | ETP dia | | 17.71 | | 15.98 | | 16.49 | | 15.51 | | 13.76 | | 12.56 | | 14.31 | | 16.31 | | 17.90 | | 18.83 | | 17.81 | | 17.80 | |
| Etp (mm/mes) | ETP mes | | 549.13 | | 447.31 | | 511.24 | | 465.32 | | 426.65 | | 376.84 | | 443.50 | | 505.56 | | 518.97 | | 583.75 | | 534.40 | | 551.82 | |
| Eta (mm/mes) | ETAmes | | 388.51 | | 313.11 | | 249.23 | | 342.01 | | 318.92 | | 268.50 | | 299.36 | | 307.13 | | 188.13 | | 380.90 | | 379.42 | | 397.31 | |
| Pp (mm/mes) | PP | | 42.40 | | 43.00 | | 6.20 | | 56.80 | | 69.70 | | 42.20 | | 35.40 | | 18.10 | | 28.80 | | 60.40 | | 65.50 | | 42.90 | |
| Número de días | Días | | 31.00 | | 28.00 | | 31.00 | | 30.00 | | 31.00 | | 30.00 | | 31.00 | | 31.00 | | 30.00 | | 31.00 | | 30.00 | | 31.00 | |
| Demandada Neta | DN | | 346.11 | | 270.11 | | 243.09 | | 285.21 | | 249.22 | | 226.30 | | 263.96 | | 289.03 | | 159.33 | | 320.50 | | 313.92 | | 354.41 | |
| Eficiencia de riego | EF% | | 0.30 | | 0.30 | | 0.30 | | 0.30 | | 0.30 | | 0.30 | | 0.30 | | 0.30 | | 0.30 | | 0.30 | | 0.30 | | 0.30 | |
| Horas de riego | Horas | | 12.00 | | 12.00 | | 12.00 | | 12.00 | | 12.00 | | 12.00 | | 12.00 | | 12.00 | | 12.00 | | 12.00 | | 12.00 | | 12.00 | |
| Demandada Bruta | DB | | 1,141.01 | | 890.49 | | 801.20 | | 940.15 | | 821.61 | | 746.03 | | 870.20 | | 952.85 | | 525.25 | | 1,056.58 | | 1,034.91 | | 1,168.38 | |
| Demandada Unitaria | DU | | 11,410.13 | | 8,904.89 | | 8,011.99 | | 9,402.51 | | 8,215.13 | | 7,460.33 | | 8,701.97 | | 9,528.47 | | 5,252.54 | | 10,565.82 | | 10,349.08 | | 11,683.81 | |
| Módulo de Riego | MR | | 8.52 | | 7.36 | | 5.98 | | 7.26 | | 6.14 | | 5.76 | | 6.50 | | 7.12 | | 4.05 | | 7.89 | | 7.99 | | 8.72 | |
| Caudal Q((l/s)) | Q | | 770.81 | | 666.03 | | 301.29 | | 656.36 | | 555.04 | | 520.78 | | 587.86 | | 643.70 | | 204.10 | | 713.78 | | 722.44 | | 789.30 | |
| Demandada de agua | m3 | | 2,064,548.43 | | 1,611,250.09 | | 728,873.72 | | 1,587,871.28 | | 1,342,759.99 | | 1,259,880.06 | | 1,422,160.09 | | 1,557,235.24 | | 493,766.71 | | 1,726,768.90 | | 1,747,724.54 | | 1,909,480.79 | |

Fuente: Elaboración propia

| Meses | E | F | M | A | M | J | J | A | S | O | N | D |
|---------|--------|--------|--------|--------|--------|--------|--------|--------|--------|--------|--------|--------|
| Q.(l/s) | 770.81 | 666.03 | 301.29 | 656.38 | 555.04 | 520.78 | 587.86 | 643.70 | 204.10 | 713.78 | 722.44 | 769.30 |

| Q.Diseño |
|----------|
| 789.30 |

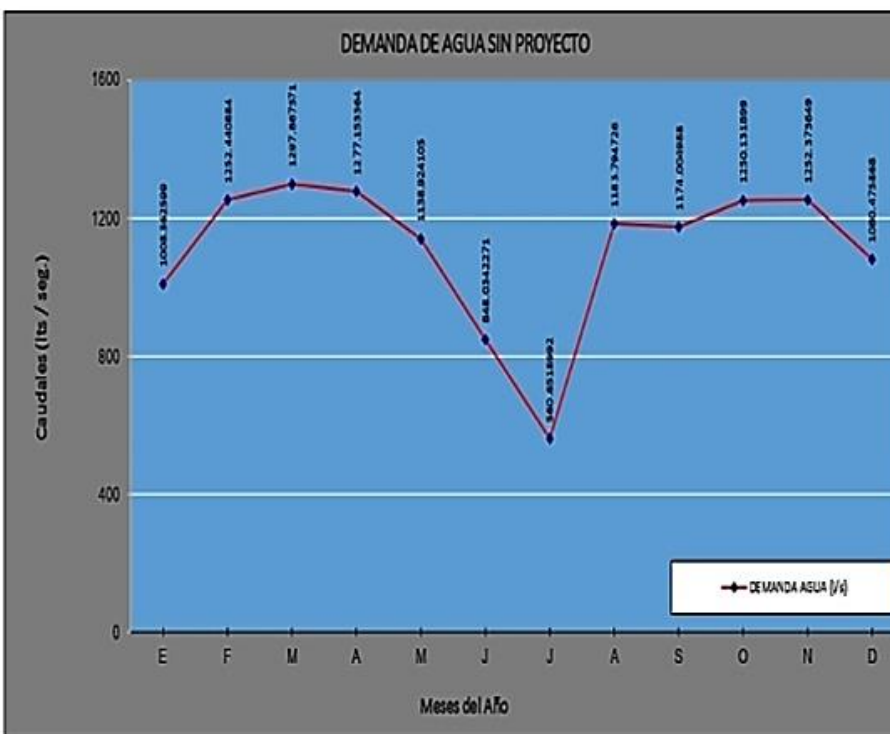
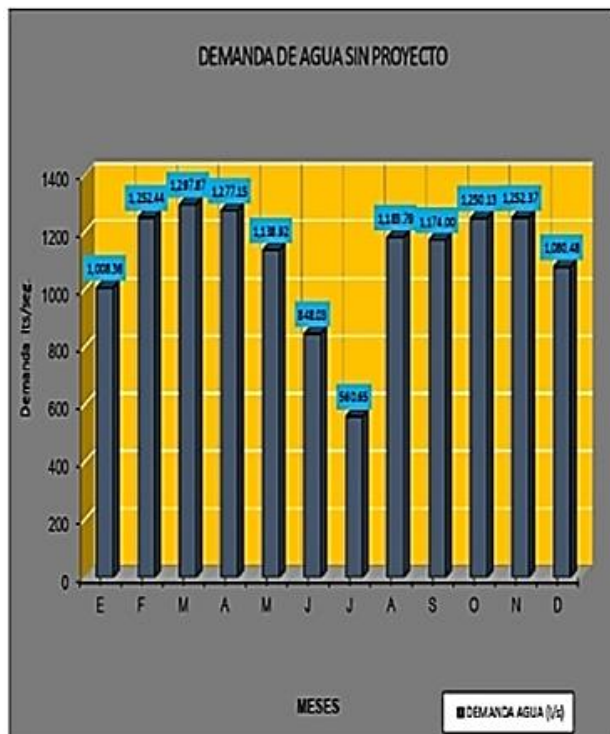


Figura N°05: demanda de agua sin proyecto

Fuente: elaboración propia.

Tabla 12: Movimientos de tierras.

| TABLA DE MOVIMIENTO DE TIERRAS | | | | | | |
|--------------------------------|---------------------------|---------------------------|---------------------------|---------------------------|----------------------------|----------------------------|
| Progresiva | Á.C. (m ²) | Á.R. (m ²) | V.C. (m ³) | V.R. (m ³) | V.C.A (m ³) | V.R.A (m ³) |
| 0+000 | 11.557 | 0.000 | 0.000 | 0.000 | 0.000 | 0.000 |
| 0+004 | 14.556 | 0.000 | 46.728 | 0.000 | 46.728 | 0.000 |
| 0+005 | 12.660 | 0.000 | 13.731 | 0.000 | 60.459 | 0.000 |
| 0+005 | 12.897 | 0.000 | 5.278 | 0.000 | 65.737 | 0.000 |
| 0+006 | 13.698 | 0.000 | 7.846 | 0.000 | 73.582 | 0.000 |
| 0+007 | 10.935 | 0.000 | 17.278 | 0.000 | 90.86 | 0.000 |
| 0+007 | 10.697 | 0.000 | 1.849 | 0.000 | 92.709 | 0.000 |
| 0+007 | 10.511 | 0.000 | 1.813 | 0.000 | 94.522 | 0.000 |
| 0+020 | 14.362 | 0.000 | 157.482 | 0.000 | 252.004 | 0.000 |
| 0+031 | 5.569 | 0.000 | 110.666 | 0.000 | 362.669 | 0.000 |
| 0+031 | 4.950 | 0.000 | 1.876 | 0.000 | 364.545 | 0.000 |
| 0+032 | 4.426 | 0.000 | 1.649 | 0.000 | 366.194 | 0.000 |
| 0+040 | 14.810 | 0.000 | 78.645 | 0.000 | 444.839 | 0.000 |
| 0+048 | 2.606 | 0.000 | 70.728 | 0.000 | 515.567 | 0.000 |
| 0+048 | 2.407 | 0.000 | 0.451 | 0.000 | 516.018 | 0.000 |
| 0+048 | 2.665 | 0.000 | 0.449 | 0.000 | 516.467 | 0.000 |
| 0+054 | 1.796 | 0.000 | 11.449 | 0.000 | 527.916 | 0.000 |
| 0+054 | 1.781 | 0.000 | 0.034 | 0.000 | 527.95 | 0.000 |
| 0+054 | 1.767 | 0.000 | 0.034 | 0.000 | 527.984 | 0.000 |

| TABLA DE MOVIMIENTO DE TIERRAS | | | | | | |
|--------------------------------|---------------------------|---------------------------|---------------------------|---------------------------|----------------------------|----------------------------|
| Progresiva | Á.C. (m ²) | Á.R. (m ²) | V.C. (m ³) | V.R. (m ³) | V.C.A (m ³) | V.R.A (m ³) |
| 0+134 | 0.801 | 1.680 | 0.504 | 2.623 | 571.707 | 121.082 |
| 0+135 | 4.852 | 0.000 | 2.651 | 0.944 | 574.359 | 122.026 |
| 0+135 | 7.021 | 0.000 | 1.463 | 0.000 | 575.822 | 122.026 |
| 0+140 | 12.777 | 0.000 | 46.938 | 0.000 | 622.759 | 122.026 |
| 0+150 | 0.186 | 1.165 | 62.67 | 5.630 | 685.429 | 127.656 |
| 0+150 | 0.074 | 0.979 | 0.036 | 0.384 | 685.465 | 128.040 |
| 0+151 | 0.000 | 0.871 | 0.035 | 1.105 | 685.5 | 129.145 |
| 0+153 | 0.189 | 0.384 | 0.147 | 0.877 | 685.647 | 130.022 |
| 0+160 | 13.433 | 0.000 | 49.926 | 1.407 | 735.573 | 131.429 |
| 0+162 | 6.565 | 0.000 | 22.831 | 0.000 | 758.405 | 131.429 |
| 0+164 | 1.987 | 0.019 | 7.819 | 0.022 | 766.224 | 131.451 |
| 0+165 | 2.008 | 0.004 | 1.505 | 0.011 | 767.729 | 131.462 |
| 0+166 | 4.273 | 0.000 | 3.196 | 0.003 | 770.925 | 131.465 |
| 0+175 | 2.081 | 0.007 | 28.519 | 0.031 | 799.444 | 131.496 |
| 0+176 | 0.744 | 0.474 | 1.064 | 0.196 | 800.508 | 131.692 |
| 0+177 | 0.017 | 0.991 | 0.287 | 0.605 | 800.794 | 132.297 |
| 0+180 | 9.211 | 0.000 | 15.154 | 1.627 | 815.948 | 133.924 |
| 0+188 | 0.429 | 0.000 | 39.472 | 0.000 | 855.42 | 133.924 |
| 0+189 | 0.000 | 1.566 | 0.206 | 0.778 | 855.627 | 134.702 |

| TABLA DE MOVIMIENTO DE TIERRAS | | | | | | |
|--------------------------------|---------------------------|---------------------------|---------------------------|---------------------------|----------------------------|----------------------------|
| Progresiva | Á.C. (m ²) | Á.R. (m ²) | V.C. (m ³) | V.R. (m ³) | V.C.A (m ³) | V.R.A (m ³) |
| 0+275 | 8.263 | 0.000 | 2.448 | 0.000 | 1484.791 | 146.836 |
| 0+277 | 4.363 | 0.000 | 11.475 | 0.000 | 1496.266 | 146.836 |
| 0+280 | 3.184 | 0.000 | 10.241 | 0.000 | 1506.507 | 146.836 |
| 0+287 | 0.390 | 0.000 | 13.196 | 0.000 | 1519.702 | 146.836 |
| 0+288 | 0.441 | 0.000 | 0.284 | 0.000 | 1519.987 | 146.836 |
| 0+289 | 0.957 | 0.000 | 0.505 | 0.000 | 1520.491 | 146.836 |
| 0+295 | 1.918 | 0.000 | 8.517 | 0.000 | 1529.008 | 146.836 |
| 0+304 | 1.695 | 0.000 | 16.28 | 0.000 | 1545.289 | 146.836 |
| 0+305 | 1.596 | 0.000 | 1.633 | 0.000 | 1546.922 | 146.836 |
| 0+305 | 1.591 | 0.000 | 0.383 | 0.000 | 1547.304 | 146.836 |
| 0+306 | 1.588 | 0.000 | 1.954 | 0.000 | 1549.258 | 146.836 |
| 0+319 | 2.903 | 0.000 | 27.597 | 0.000 | 1576.856 | 146.836 |
| 0+319 | 3.729 | 0.000 | 1.937 | 0.000 | 1578.793 | 146.836 |
| 0+320 | 4.733 | 0.000 | 2.434 | 0.000 | 1581.227 | 146.836 |
| 0+325 | 13.826 | 0.000 | 47.663 | 0.000 | 1628.889 | 146.836 |
| 0+337 | 9.500 | 0.000 | 141.935 | 0.000 | 1770.824 | 146.836 |
| 0+338 | 9.069 | 0.000 | 5.821 | 0.000 | 1776.646 | 146.836 |
| 0+338 | 9.283 | 0.000 | 5.772 | 0.000 | 1782.418 | 146.836 |
| 0+340 | 9.724 | 0.000 | 15.044 | 0.000 | 1797.461 | 146.836 |

| | | | | | | | | | | | | | | | | | | | | | | |
|-------|-------|-------|--------|--------|---------|---------|--|-------|--------|-------|---------|-------|----------|---------|--|-------|--------|-------|---------|-------|----------|---------|
| 0+060 | 1.701 | 0.000 | 10.989 | 0.000 | 538.972 | 0.000 | | 0+190 | 0.000 | 1.185 | 0.000 | 1.203 | 855.627 | 135.905 | | 0+356 | 7.883 | 0.000 | 145.125 | 0.000 | 1942.586 | 146.836 |
| 0+070 | 1.562 | 0.000 | 16.577 | 0.000 | 555.55 | 0.000 | | 0+190 | 0.000 | 1.006 | 0.000 | 0.127 | 855.627 | 136.032 | | 0+357 | 7.643 | 0.000 | 3.79 | 0.000 | 1946.376 | 146.836 |
| 0+071 | 1.434 | 0.000 | 0.859 | 0.000 | 556.409 | 0.000 | | 0+200 | 15.522 | 0.000 | 76.732 | 4.971 | 932.358 | 141.003 | | 0+358 | 8.940 | 0.000 | 4.059 | 0.000 | 1950.434 | 146.836 |
| 0+071 | 1.260 | 0.000 | 0.767 | 0.000 | 557.175 | 0.000 | | 0+216 | 0.583 | 0.425 | 125.785 | 3.320 | 1058.144 | 144.323 | | 0+360 | 13.626 | 0.000 | 27.773 | 0.000 | 1978.207 | 146.836 |
| 0+080 | 0.852 | 0.000 | 9.174 | 0.000 | 566.35 | 0.000 | | 0+216 | 0.249 | 1.165 | 0.244 | 0.622 | 1058.387 | 144.945 | | 0+380 | 13.577 | 0.000 | 272.034 | 0.000 | 2250.241 | 146.836 |
| 0+085 | 0.363 | 0.000 | 2.956 | 0.000 | 569.306 | 0.000 | | 0+217 | 0.175 | 0.764 | 0.121 | 0.748 | 1058.508 | 145.693 | | 0+383 | 13.733 | 0.000 | 43.115 | 0.000 | 2293.356 | 146.836 |
| 0+085 | 0.311 | 0.000 | 0.043 | 0.000 | 569.348 | 0.000 | | 0+220 | 6.025 | 0.000 | 9.267 | 1.143 | 1067.775 | 146.836 | | 0+384 | 4.803 | 0.000 | 5.052 | 0.000 | 2298.408 | 146.836 |
| 0+086 | 0.211 | 0.000 | 0.136 | 0.000 | 569.484 | 0.000 | | 0+240 | 10.312 | 0.000 | 163.366 | 0.000 | 1231.141 | 146.836 | | 0+384 | 2.729 | 0.010 | 2.139 | 0.002 | 2300.547 | 146.838 |
| 0+086 | 0.167 | 0.000 | 0.114 | 0.000 | 569.598 | 0.000 | | 0+243 | 3.696 | 0.000 | 23.817 | 0.000 | 1254.958 | 146.836 | | 0+390 | 8.893 | 0.000 | 33.5 | 0.029 | 2334.047 | 146.867 |
| 0+100 | 0.000 | 0.929 | 1.143 | 6.368 | 570.741 | 6.368 | | 0+244 | 3.113 | 0.000 | 2.019 | 0.000 | 1256.976 | 146.836 | | 0+406 | 2.296 | 0.000 | 90.445 | 0.000 | 2424.493 | 146.867 |
| 0+102 | 0.000 | 1.088 | 0.000 | 2.12 | 570.741 | 8.488 | | 0+245 | 2.705 | 0.000 | 1.726 | 0.000 | 1258.702 | 146.836 | | 0+406 | 2.178 | 0.000 | 0.176 | 0.000 | 2424.668 | 146.867 |
| 0+103 | 0.000 | 1.236 | 0.000 | 0.586 | 570.741 | 9.074 | | 0+250 | 3.322 | 0.000 | 16.356 | 0.000 | 1275.058 | 146.836 | | 0+406 | 2.066 | 0.000 | 0.167 | 0.000 | 2424.835 | 146.867 |
| 0+103 | 0.000 | 1.662 | 0.000 | 0.751 | 570.741 | 9.825 | | 0+252 | 3.251 | 0.000 | 6.329 | 0.000 | 1281.387 | 146.836 | | 0+420 | 11.812 | 0.000 | 94.847 | 0.000 | 2519.682 | 146.867 |
| 0+116 | 0.000 | 4.643 | 0.000 | 41.308 | 570.741 | 51.133 | | 0+253 | 3.622 | 0.000 | 3.658 | 0.000 | 1285.046 | 146.836 | | 0+429 | 2.811 | 0.014 | 67.721 | 0.067 | 2587.403 | 146.934 |
| 0+118 | 0.000 | 4.984 | 0.000 | 6.044 | 570.741 | 57.176 | | 0+254 | 4.904 | 0.000 | 4.576 | 0.000 | 1289.622 | 146.836 | | 0+429 | 2.836 | 0.047 | 0.480 | 0.004 | 2587.884 | 146.937 |
| 0+119 | 0.000 | 5.006 | 0.000 | 6.294 | 570.741 | 63.47 | | 0+260 | 13.028 | 0.000 | 52.729 | 0.000 | 1342.351 | 146.836 | | 0+430 | 2.817 | 0.076 | 0.481 | 0.008 | 2588.365 | 146.945 |
| 0+125 | 0.000 | 4.707 | 0.000 | 27.394 | 570.741 | 90.864 | | 0+266 | 8.785 | 0.000 | 65.282 | 0.000 | 1407.633 | 146.836 | | 0+440 | 12.678 | 0.000 | 80.814 | 0.396 | 2669.179 | 147.341 |
| 0+125 | 0.000 | 4.648 | 0.000 | 2.214 | 570.741 | 93.077 | | 0+267 | 7.123 | 0.000 | 10.342 | 0.000 | 1417.976 | 146.836 | | 0+452 | 1.252 | 0.000 | 81.825 | 0.000 | 2751.003 | 147.341 |
| 0+126 | 0.000 | 4.387 | 0.000 | 3.179 | 570.741 | 96.256 | | 0+269 | 12.443 | 0.000 | 13.000 | 0.000 | 1430.976 | 146.836 | | 0+452 | 0.519 | 0.02 | 0.332 | 0.005 | 2751.335 | 147.346 |
| 0+127 | 0.000 | 3.772 | 0.000 | 4.841 | 570.741 | 101.097 | | 0+273 | 5.719 | 0.000 | 43.373 | 0.000 | 1474.349 | 146.836 | | 0+453 | 0.486 | 0.133 | 0.171 | 0.035 | 2751.506 | 147.381 |
| 0+133 | 0.158 | 2.17 | 0.462 | 17.363 | 571.204 | 118.46 | | 0+275 | 5.088 | 0.000 | 7.994 | 0.000 | 1482.343 | 146.836 | | 0+460 | 9.65 | 0.000 | 37.849 | 0.495 | 2789.355 | 147.876 |

Fuente: Elaboración propia.

| TABLA DE MOVIMIENTO DE TIERRAS | | | | | | |
|--------------------------------|---------------------------|---------------------------|---------------------------|---------------------------|----------------------------|----------------------------|
| Progresiva | Á.C. (m ²) | Á.R. (m ²) | V.C. (m ³) | V.R. (m ³) | V.C.A (m ³) | V.R.A (m ³) |
| 1+688 | 2.238 | 0.000 | 29.478 | 0.000 | 5662.455 | 1370.672 |
| 1+688 | 2.596 | 0.000 | 0.254 | 0.000 | 5662.709 | 1370.672 |
| 1+688 | 2.960 | 0.000 | 0.293 | 0.000 | 5663.002 | 1370.672 |
| 1+698 | 5.065 | 0.000 | 42.901 | 0.000 | 5705.904 | 1370.672 |
| 1+699 | 5.536 | 0.000 | 2.936 | 0.000 | 5708.84 | 1370.672 |
| 1+700 | 5.240 | 0.000 | 2.966 | 0.000 | 5711.805 | 1370.672 |
| 1+705 | 0.041 | 3.560 | 14.229 | 9.592 | 5726.034 | 1380.264 |
| 1+720 | 0.000 | 7.922 | 0.31 | 86.115 | 5726.344 | 1466.380 |
| 1+729 | 1.159 | 0.224 | 5.489 | 38.575 | 5731.832 | 1504.955 |
| 1+730 | 1.615 | 0.225 | 0.494 | 0.102 | 5732.326 | 1505.056 |
| 1+730 | 1.824 | 0.199 | 0.24 | 0.038 | 5732.566 | 1505.094 |
| 1+730 | 2.200 | 0.136 | 0.431 | 0.046 | 5732.997 | 1505.140 |
| 1+737 | 0.000 | 1.303 | 7.834 | 5.122 | 5740.832 | 1510.262 |
| 1+739 | 0.958 | 0.089 | 0.758 | 1.077 | 5741.59 | 1511.340 |
| 1+740 | 0.000 | 1.050 | 0.63 | 0.619 | 5742.22 | 1511.959 |
| 1+740 | 0.000 | 1.640 | 0.000 | 0.309 | 5742.22 | 1512.268 |
| 1+751 | 4.704 | 0.000 | 25.610 | 8.926 | 5767.83 | 1521.194 |
| 1+752 | 1.400 | 0.139 | 3.272 | 0.092 | 5771.101 | 1521.286 |
| 1+753 | 0.906 | 0.399 | 1.125 | 0.349 | 5772.226 | 1521.634 |
| 1+758 | 0.336 | 0.391 | 3.132 | 1.993 | 5775.357 | 1523.627 |
| 1+759 | 0.422 | 0.303 | 0.062 | 0.042 | 5775.420 | 1523.669 |
| 1+759 | 0.504 | 0.219 | 0.076 | 0.032 | 5775.495 | 1523.701 |

| TABLA DE MOVIMIENTO DE TIERRAS | | | | | | |
|--------------------------------|---------------------------|---------------------------|---------------------------|---------------------------|----------------------------|----------------------------|
| Progresiva | Á.C. (m ²) | Á.R. (m ²) | V.C. (m ³) | V.R. (m ³) | V.C.A (m ³) | V.R.A (m ³) |
| 1+873 | 0.000 | 6.262 | 0.000 | 0.297 | 5872.944 | 1688.626 |
| 1+873 | 0.000 | 6.390 | 0.000 | 0.304 | 5872.944 | 1688.929 |
| 1+880 | 6.107 | 0.000 | 20.577 | 21.532 | 5893.52 | 1710.462 |
| 1+886 | 0.000 | 8.024 | 18.313 | 24.062 | 5911.834 | 1734.524 |
| 1+887 | 0.000 | 4.961 | 0.000 | 4.605 | 5911.834 | 1739.129 |
| 1+887 | 2.994 | 0.136 | 0.915 | 1.847 | 5912.748 | 1740.976 |
| 1+900 | 0.000 | 6.923 | 18.939 | 44.661 | 5931.688 | 1785.636 |
| 1+901 | 0.000 | 7.759 | 0.000 | 6.540 | 5931.688 | 1792.177 |
| 1+901 | 0.000 | 6.024 | 0.000 | 3.656 | 5931.688 | 1795.833 |
| 1+902 | 0.000 | 3.572 | 0.000 | 2.529 | 5931.688 | 1798.362 |
| 1+920 | 8.021 | 0.000 | 72.400 | 32.240 | 6004.088 | 1830.602 |
| 1+924 | 1.013 | 1.148 | 19.711 | 2.506 | 6023.799 | 1833.108 |
| 1+925 | 0.000 | 3.864 | 0.371 | 1.460 | 6024.17 | 1834.568 |
| 1+925 | 0.000 | 4.270 | 0.000 | 1.892 | 6024.17 | 1836.460 |
| 1+927 | 1.082 | 1.341 | 0.707 | 2.923 | 6024.877 | 1839.383 |
| 1+940 | 10.962 | 0.000 | 80.519 | 8.965 | 6105.396 | 1848.348 |
| 1+960 | 0.000 | 3.180 | 109.616 | 31.799 | 6215.012 | 1880.147 |
| 1+961 | 0.000 | 3.182 | 0.000 | 2.296 | 6215.012 | 1882.443 |
| 1+961 | 0.000 | 3.087 | 0.000 | 0.772 | 6215.012 | 1883.215 |
| 1+961 | 0.000 | 2.962 | 0.000 | 0.747 | 6215.012 | 1883.962 |
| 1+980 | 5.485 | 0.000 | 51.528 | 27.829 | 6266.539 | 1911.791 |
| 1+986 | 0.008 | 0.141 | 16.579 | 0.426 | 6283.118 | 1912.217 |

| TABLA DE MOVIMIENTO DE TIERRAS | | | | | | |
|--------------------------------|---------------------------|---------------------------|---------------------------|---------------------------|----------------------------|----------------------------|
| Progresiva | Á.C. (m ²) | Á.R. (m ²) | V.C. (m ³) | V.R. (m ³) | V.C.A (m ³) | V.R.A (m ³) |
| 2+080 | 0.037 | 2.024 | 0.019 | 2.522 | 6363.571 | 2112.877 |
| 2+080 | 0.068 | 1.842 | 0.007 | 0.205 | 6363.578 | 2113.081 |
| 2+084 | 0.000 | 3.454 | 0.145 | 11.215 | 6363.723 | 2124.297 |
| 2+085 | 0.000 | 3.744 | 0.000 | 1.924 | 6363.723 | 2126.221 |
| 2+085 | 0.000 | 3.668 | 0.000 | 0.490 | 6363.723 | 2126.711 |
| 2+085 | 0.000 | 3.373 | 0.000 | 1.380 | 6363.723 | 2128.090 |
| 2+090 | 0.000 | 2.681 | 0.000 | 14.584 | 6363.723 | 2142.674 |
| 2+091 | 0.000 | 3.642 | 0.000 | 1.745 | 6363.723 | 2144.420 |
| 2+091 | 0.000 | 3.262 | 0.000 | 1.905 | 6363.723 | 2146.325 |
| 2+100 | 0.000 | 1.856 | 0.000 | 22.233 | 6363.723 | 2168.558 |
| 2+102 | 0.000 | 4.227 | 0.000 | 5.311 | 6363.723 | 2173.869 |
| 2+103 | 0.000 | 4.106 | 0.000 | 5.395 | 6363.723 | 2179.264 |
| 2+104 | 0.000 | 1.690 | 0.000 | 3.775 | 6363.723 | 2183.039 |
| 2+110 | 5.411 | 0.000 | 15.371 | 4.802 | 6379.094 | 2187.841 |
| 2+120 | 0.004 | 0.392 | 27.073 | 1.959 | 6406.167 | 2189.8 |
| 2+131 | 0.000 | 1.917 | 0.019 | 12.123 | 6406.186 | 2201.923 |
| 2+131 | 0.000 | 1.728 | 0.000 | 1.49 | 6406.186 | 2203.413 |
| 2+132 | 0.000 | 1.385 | 0.000 | 1.278 | 6406.186 | 2204.691 |
| 2+140 | 0.542 | 0.725 | 2.139 | 8.335 | 6408.325 | 2213.026 |
| 2+159 | 4.230 | 0.000 | 44.517 | 6.765 | 6452.842 | 2219.791 |
| 2+159 | 0.737 | 1.753 | 2.278 | 0.678 | 6455.120 | 2220.469 |
| 2+160 | 0.000 | 1.606 | 0.229 | 0.853 | 6455.349 | 2221.322 |

| | | | | | | | | | | | | | | | | | | | | |
|-------|-------|-------|--------|--------|----------|----------|-------|-------|-------|--------|--------|----------|----------|-------|-------|-------|--------|--------|----------|----------|
| 1+760 | 2.314 | 0.000 | 1.858 | 0.144 | 5777.353 | 1523.846 | 1+988 | 0.000 | 1.070 | 0.006 | 1.173 | 6283.124 | 1913.391 | 2+160 | 0.000 | 0.945 | 0.000 | 0.372 | 6455.349 | 2221.694 |
| 1+780 | 0.771 | 0.008 | 30.852 | 0.078 | 5808.205 | 1523.924 | 1+990 | 2.392 | 0.000 | 2.177 | 1.031 | 6285.301 | 1914.422 | 2+180 | 0.000 | 4.269 | 0.000 | 51.373 | 6455.349 | 2273.066 |
| 1+791 | 1.840 | 0.000 | 13.825 | 0.041 | 5822.030 | 1523.966 | 1+995 | 8.118 | 0.000 | 27.866 | 0.000 | 6313.168 | 1914.422 | 2+182 | 0.000 | 5.241 | 0.000 | 7.179 | 6455.349 | 2280.245 |
| 1+792 | 2.159 | 0.000 | 1.796 | 0.000 | 5823.826 | 1523.966 | 2+005 | 0.000 | 1.234 | 39.642 | 6.026 | 6352.809 | 1920.448 | 2+182 | 0.000 | 4.803 | 0.000 | 2.343 | 6455.349 | 2282.588 |
| 1+792 | 1.334 | 0.000 | 1.552 | 0.000 | 5825.378 | 1523.966 | 2+005 | 0.000 | 1.365 | 0.000 | 0.300 | 6352.809 | 1920.747 | 2+182 | 0.000 | 3.911 | 0.000 | 2.019 | 6455.349 | 2284.607 |
| 1+800 | 0.022 | 0.532 | 5.043 | 1.977 | 5830.420 | 1525.943 | 2+006 | 0.000 | 0.910 | 0.000 | 0.639 | 6352.809 | 1921.386 | 2+200 | 0.160 | 0.197 | 1.407 | 36.039 | 6456.755 | 2320.646 |
| 1+800 | 0.021 | 0.532 | 0.002 | 0.076 | 5830.423 | 1526.019 | 2+006 | 0.674 | 0.083 | 0.305 | 0.375 | 6353.114 | 1921.761 | 2+211 | 0.000 | 6.959 | 0.913 | 40.762 | 6457.668 | 2361.408 |
| 1+801 | 0.018 | 0.365 | 0.017 | 0.518 | 5830.440 | 1526.536 | 2+020 | 0.031 | 0.296 | 4.798 | 2.579 | 6357.912 | 1924.340 | 2+211 | 0.000 | 6.946 | 0.000 | 0.601 | 6457.668 | 2362.009 |
| 1+802 | 0.084 | 0.199 | 0.060 | 0.354 | 5830.500 | 1526.890 | 2+021 | 0.610 | 0.748 | 0.374 | 0.609 | 6358.286 | 1924.949 | 2+212 | 0.000 | 6.910 | 0.000 | 0.599 | 6457.668 | 2362.608 |
| 1+816 | 0.000 | 4.607 | 0.587 | 33.610 | 5831.088 | 1560.500 | 2+022 | 0.180 | 0.689 | 0.217 | 0.319 | 6358.502 | 1925.268 | 2+220 | 1.762 | 0.000 | 7.431 | 29.152 | 6465.099 | 2391.759 |
| 1+817 | 0.000 | 4.711 | 0.000 | 4.843 | 5831.088 | 1565.344 | 2+022 | 0.493 | 0.647 | 0.146 | 0.332 | 6358.648 | 1925.600 | 2+234 | 0.000 | 4.178 | 12.384 | 29.368 | 6477.483 | 2421.128 |
| 1+818 | 0.000 | 3.555 | 0.000 | 4.269 | 5831.088 | 1569.613 | 2+040 | 0.043 | 1.639 | 4.789 | 20.428 | 6363.437 | 1946.027 | 2+235 | 0.000 | 4.584 | 0.000 | 2.827 | 6477.483 | 2423.955 |
| 1+825 | 2.499 | 0.000 | 8.318 | 11.835 | 5839.406 | 1581.448 | 2+045 | 0.000 | 5.179 | 0.115 | 18.216 | 6363.552 | 1964.243 | 2+235 | 0.000 | 4.681 | 0.000 | 1.308 | 6477.483 | 2425.263 |
| 1+843 | 0.880 | 3.725 | 30.244 | 33.336 | 5869.650 | 1614.784 | 2+046 | 0.000 | 5.323 | 0.000 | 2.291 | 6363.552 | 1966.534 | 2+235 | 0.000 | 4.593 | 0.000 | 1.688 | 6477.483 | 2426.951 |
| 1+843 | 0.509 | 2.833 | 0.351 | 1.291 | 5870.001 | 1616.075 | 2+046 | 0.000 | 5.017 | 0.000 | 2.253 | 6363.552 | 1968.787 | 2+240 | 0.000 | 3.557 | 0.000 | 18.876 | 6477.483 | 2445.827 |
| 1+844 | 0.334 | 0.852 | 0.194 | 0.753 | 5870.195 | 1616.828 | 2+060 | 0.000 | 4.239 | 0.000 | 63.740 | 6363.552 | 2032.527 | 2+247 | 0.000 | 2.059 | 0.000 | 18.808 | 6477.483 | 2464.635 |
| 1+860 | 0.000 | 1.653 | 2.712 | 20.348 | 5872.907 | 1637.176 | 2+078 | 0.000 | 3.917 | 0.000 | 73.978 | 6363.552 | 2106.504 | 2+247 | 0.000 | 1.991 | 0.000 | 1.158 | 6477.483 | 2465.792 |
| 1+873 | 0.006 | 6.118 | 0.037 | 51.152 | 5872.944 | 1688.328 | 2+079 | 0.000 | 3.816 | 0.000 | 3.850 | 6363.552 | 2110.355 | 2+248 | 0.000 | 1.628 | 0.000 | 1.027 | 6477.483 | 2466.819 |

Fuente: Elaboración propia

| TABLA DE MOVIMIENTO DE TIERRAS | | | | | | |
|--------------------------------|---------------------------|---------------------------|---------------------------|---------------------------|----------------------------|----------------------------|
| | Á.C. (m ²) | Á.R. (m ²) | V.C. (m ³) | V.R. (m ³) | V.C.A (m ³) | V.R.A (m ³) |
| Progresiva | | | | | | |
| 2+725 | 10.197 | 0.000 | 50.882 | 0.000 | 7469.719 | 3123.087 |
| 2+727 | 0.650 | 2.133 | 8.426 | 1.945 | 7478.145 | 3125.031 |
| 2+729 | 3.950 | 0.000 | 3.565 | 1.945 | 7481.71 | 3126.976 |
| 2+735 | 0.413 | 0.476 | 13.827 | 1.507 | 7495.537 | 3128.483 |
| 2+741 | 0.000 | 6.053 | 1.154 | 18.242 | 7496.692 | 3146.725 |
| 2+741 | 0.000 | 6.121 | 0.000 | 0.886 | 7496.692 | 3147.611 |
| 2+741 | 0.000 | 6.185 | 0.000 | 0.895 | 7496.692 | 3148.506 |
| 2+757 | 0.071 | 2.027 | 0.571 | 66.031 | 7497.263 | 3214.537 |
| 2+757 | 0.047 | 2.278 | 0.007 | 0.201 | 7497.27 | 3214.738 |
| 2+757 | 0.025 | 2.534 | 0.005 | 0.226 | 7497.275 | 3214.964 |
| 2+760 | 0.000 | 1.699 | 0.035 | 6.010 | 7497.31 | 3220.974 |
| 2+770 | 0.053 | 0.177 | 0.266 | 9.432 | 7497.576 | 3230.406 |
| 2+771 | 0.000 | 1.769 | 0.035 | 1.229 | 7497.61 | 3231.635 |
| 2+773 | 0.000 | 2.395 | 0.000 | 2.618 | 7497.61 | 3234.253 |
| 2+780 | 0.876 | 0.000 | 3.262 | 8.919 | 7500.872 | 3243.172 |
| 2+791 | 0.066 | 0.950 | 5.286 | 5.33 | 7506.158 | 3248.502 |
| 2+791 | 0.042 | 1.001 | 0.007 | 0.172 | 7506.165 | 3248.674 |
| 2+792 | 0.026 | 1.065 | 0.004 | 0.182 | 7506.169 | 3248.856 |
| 2+800 | 1.118 | 0.000 | 4.833 | 4.499 | 7511.003 | 3253.355 |
| 2+815 | 7.316 | 0.000 | 63.692 | 0.000 | 7574.695 | 3253.355 |

| TABLA DE MOVIMIENTO DE TIERRAS | | | | | | |
|--------------------------------|---------------------------|---------------------------|---------------------------|---------------------------|----------------------------|----------------------------|
| | Á.C. (m ²) | Á.R. (m ²) | V.C. (m ³) | V.R. (m ³) | V.C.A (m ³) | V.R.A (m ³) |
| Progresiva | | | | | | |
| 2+875 | 0.624 | 0.000 | 2.038 | 4.474 | 7628.990 | 3317.593 |
| 2+884 | 12.364 | 0.000 | 58.516 | 0.000 | 7687.506 | 3317.593 |
| 2+885 | 6.739 | 0.000 | 8.822 | 0.000 | 7696.328 | 3317.593 |
| 2+885 | 6.229 | 0.000 | 0.166 | 0.000 | 7696.494 | 3317.593 |
| 2+886 | 0.000 | 4.501 | 2.717 | 2.129 | 7699.211 | 3319.721 |
| 2+900 | 0.084 | 0.840 | 0.588 | 37.549 | 7699.799 | 3357.270 |
| 2+901 | 0.015 | 1.690 | 0.036 | 0.916 | 7699.835 | 3358.186 |
| 2+901 | 0.001 | 1.957 | 0.002 | 0.398 | 7699.837 | 3358.584 |
| 2+901 | 0.000 | 2.286 | 0.000 | 0.467 | 7699.837 | 3359.052 |
| 2+905 | 0.000 | 2.984 | 0.000 | 9.311 | 7699.837 | 3368.363 |
| 2+905 | 0.000 | 3.021 | 0.000 | 0.777 | 7699.837 | 3369.139 |
| 2+906 | 0.000 | 3.440 | 0.000 | 2.920 | 7699.837 | 3372.059 |
| 2+907 | 0.000 | 2.666 | 0.000 | 3.620 | 7699.837 | 3375.679 |
| 2+914 | 0.538 | 1.959 | 1.980 | 17.030 | 7701.818 | 3392.709 |
| 2+915 | 0.112 | 2.424 | 0.133 | 1.270 | 7701.951 | 3393.978 |
| 2+915 | 0.004 | 2.710 | 0.016 | 1.046 | 7701.967 | 3395.025 |
| 2+916 | 0.000 | 3.355 | 0.001 | 2.857 | 7701.968 | 3397.881 |
| 2+920 | 0.000 | 3.146 | 0.000 | 12.168 | 7701.968 | 3410.049 |
| 2+924 | 0.000 | 1.991 | 0.000 | 10.357 | 7701.968 | 3420.406 |
| 2+925 | 0.000 | 1.746 | 0.000 | 1.607 | 7701.968 | 3422.014 |

| TABLA DE MOVIMIENTO DE TIERRAS | | | | | | |
|--------------------------------|---------------------------|---------------------------|---------------------------|---------------------------|----------------------------|----------------------------|
| | Á.C. (m ²) | Á.R. (m ²) | V.C. (m ³) | V.R. (m ³) | V.C.A (m ³) | V.R.A (m ³) |
| Progresiva | | | | | | |
| 2+992 | 4.840 | 0.000 | 6.046 | 0.000 | 7885.495 | 3433.362 |
| 2+993 | 5.187 | 0.000 | 6.531 | 0.000 | 7892.027 | 3433.362 |
| 3+000 | 6.346 | 0.000 | 39.282 | 0.000 | 7931.308 | 3433.362 |
| 3+011 | 6.473 | 0.000 | 67.877 | 0.000 | 7999.185 | 3433.362 |
| 3+012 | 6.716 | 0.000 | 8.707 | 0.000 | 8007.892 | 3433.362 |
| 3+013 | 6.845 | 0.000 | 8.965 | 0.000 | 8016.857 | 3433.362 |
| 3+020 | 9.129 | 0.000 | 54.032 | 0.000 | 8070.889 | 3433.362 |
| 3+024 | 13.184 | 0.000 | 40.791 | 0.000 | 8111.679 | 3433.362 |
| 3+025 | 9.440 | 0.000 | 15.574 | 0.000 | 8127.253 | 3433.362 |
| 3+025 | 9.179 | 0.000 | 0.707 | 0.000 | 8127.961 | 3433.362 |
| 3+026 | 11.023 | 0.000 | 14.646 | 0.000 | 8142.607 | 3433.362 |
| 3+040 | 12.825 | 0.000 | 161.075 | 0.000 | 8303.682 | 3433.362 |
| 3+043 | 7.535 | 0.000 | 29.263 | 0.000 | 8332.945 | 3433.362 |
| 3+043 | 7.150 | 0.000 | 1.072 | 0.000 | 8334.018 | 3433.362 |
| 3+043 | 6.745 | 0.000 | 1.012 | 0.000 | 8335.029 | 3433.362 |
| 3+053 | 3.915 | 0.000 | 51.463 | 0.000 | 8386.492 | 3433.362 |
| 3+053 | 3.914 | 0.000 | 0.001 | 0.000 | 8386.493 | 3433.362 |
| 3+053 | 3.913 | 0.000 | 0.001 | 0.000 | 8386.494 | 3433.362 |
| 3+060 | 5.608 | 0.000 | 34.157 | 0.000 | 8420.651 | 3433.362 |
| 3+080 | 2.722 | 0.000 | 83.304 | 0.000 | 8503.955 | 3433.362 |

| | | | | | | | | | | | | | | |
|-------|-------|-------|--------|--------|----------|----------|--|-------|-------|-------|--------|-------|----------|----------|
| 2+816 | 2.480 | 0.000 | 3.833 | 0.000 | 7578.528 | 3253.355 | | 2+925 | 0.000 | 1.695 | 0.000 | 0.165 | 7701.968 | 3422.179 |
| 2+817 | 1.335 | 0.210 | 1.354 | 0.101 | 7579.882 | 3253.456 | | 2+926 | 0.449 | 0.154 | 0.145 | 0.738 | 7702.114 | 3422.916 |
| 2+820 | 0.547 | 0.000 | 3.098 | 0.346 | 7582.980 | 3253.801 | | 2+940 | 8.146 | 0.000 | 61.119 | 1.094 | 7763.232 | 3424.01 |
| 2+826 | 1.306 | 0.229 | 5.478 | 0.677 | 7588.458 | 3254.478 | | 2+945 | 4.934 | 0.003 | 30.431 | 0.007 | 7793.663 | 3424.018 |
| 2+827 | 0.148 | 1.316 | 0.684 | 0.595 | 7589.142 | 3255.073 | | 2+945 | 4.817 | 0.015 | 0.805 | 0.002 | 7794.469 | 3424.019 |
| 2+828 | 0.000 | 2.304 | 0.077 | 1.516 | 7589.219 | 3256.589 | | 2+945 | 4.801 | 0.032 | 0.701 | 0.005 | 7795.170 | 3424.024 |
| 2+840 | 4.625 | 0.000 | 28.674 | 14.285 | 7617.894 | 3270.874 | | 2+945 | 4.805 | 0.034 | 0.100 | 0.001 | 7795.270 | 3424.025 |
| 2+842 | 0.040 | 0.666 | 3.566 | 0.509 | 7621.460 | 3271.383 | | 2+955 | 0.532 | 0.000 | 26.587 | 0.169 | 7821.857 | 3424.194 |
| 2+842 | 0.000 | 0.827 | 0.003 | 0.107 | 7621.463 | 3271.49 | | 2+955 | 0.514 | 0.000 | 0.009 | 0.000 | 7821.866 | 3424.194 |
| 2+842 | 0.000 | 0.940 | 0.000 | 0.129 | 7621.463 | 3271.619 | | 2+955 | 0.202 | 0.078 | 0.139 | 0.020 | 7822.005 | 3424.214 |
| 2+852 | 0.000 | 1.122 | 0.000 | 10.399 | 7621.463 | 3282.018 | | 2+956 | 1.470 | 0.011 | 0.360 | 0.024 | 7822.365 | 3424.238 |
| 2+853 | 0.000 | 1.602 | 0.000 | 0.919 | 7621.463 | 3282.937 | | 2+960 | 3.775 | 0.000 | 10.784 | 0.022 | 7833.149 | 3424.26 |
| 2+853 | 0.000 | 1.596 | 0.000 | 1.105 | 7621.463 | 3284.042 | | 2+963 | 0.549 | 0.608 | 6.201 | 0.873 | 7839.350 | 3425.133 |
| 2+859 | 0.000 | 1.859 | 0.000 | 8.978 | 7621.463 | 3293.02 | | 2+963 | 0.000 | 1.146 | 0.176 | 0.461 | 7839.526 | 3425.594 |
| 2+859 | 0.000 | 2.805 | 0.000 | 2.026 | 7621.463 | 3295.046 | | 2+964 | 0.000 | 0.948 | 0.000 | 0.575 | 7839.526 | 3426.169 |
| 2+860 | 0.000 | 2.799 | 0.000 | 1.562 | 7621.463 | 3296.609 | | 2+979 | 0.629 | 0.000 | 4.770 | 7.194 | 7844.296 | 3433.362 |
| 2+860 | 0.000 | 2.596 | 0.000 | 0.932 | 7621.463 | 3297.54 | | 2+979 | 0.592 | 0.000 | 0.228 | 0.000 | 7844.524 | 3433.362 |
| 2+869 | 1.140 | 0.809 | 4.890 | 14.604 | 7626.353 | 3312.144 | | 2+980 | 0.629 | 0.000 | 0.226 | 0.000 | 7844.750 | 3433.362 |
| 2+869 | 0.604 | 1.168 | 0.422 | 0.386 | 7626.775 | 3312.531 | | 2+985 | 3.810 | 0.000 | 11.596 | 0.000 | 7856.346 | 3433.362 |
| 2+870 | 0.150 | 1.699 | 0.178 | 0.589 | 7626.952 | 3313.119 | | 2+991 | 4.459 | 0.000 | 23.104 | 0.000 | 7879.450 | 3433.362 |

| | | | | | | |
|-------|-------|-------|--------|-------|----------|----------|
| 3+083 | 1.425 | 0.000 | 5.486 | 0.000 | 8509.441 | 3433.362 |
| 3+083 | 1.152 | 0.000 | 0.672 | 0.000 | 8510.113 | 3433.362 |
| 3+084 | 1.137 | 0.000 | 0.611 | 0.000 | 8510.724 | 3433.362 |
| 3+094 | 1.893 | 0.000 | 15.614 | 0.000 | 8526.338 | 3433.362 |
| 3+095 | 1.924 | 0.000 | 1.940 | 0.000 | 8528.277 | 3433.362 |
| 3+096 | 1.890 | 0.000 | 1.056 | 0.000 | 8529.334 | 3433.362 |
| 3+097 | 1.766 | 0.000 | 2.934 | 0.000 | 8532.268 | 3433.362 |
| 3+100 | 0.469 | 0.000 | 3.231 | 0.000 | 8535.498 | 3433.362 |
| 3+108 | 1.996 | 0.000 | 9.712 | 0.000 | 8545.210 | 3433.362 |
| 3+108 | 1.994 | 0.000 | 0.057 | 0.000 | 8545.267 | 3433.362 |
| 3+108 | 1.993 | 0.000 | 0.057 | 0.000 | 8545.324 | 3433.362 |
| 3+120 | 1.358 | 0.000 | 20.212 | 0.000 | 8565.535 | 3433.362 |
| 3+125 | 0.277 | 0.027 | 4.330 | 0.072 | 8569.865 | 3433.434 |
| 3+126 | 0.356 | 0.008 | 0.108 | 0.005 | 8569.972 | 3433.439 |
| 3+126 | 0.439 | 0.000 | 0.131 | 0.001 | 8570.104 | 3433.44 |
| 3+137 | 0.000 | 0.802 | 2.400 | 4.389 | 8572.504 | 3437.829 |
| 3+137 | 0.000 | 0.785 | 0.000 | 0.035 | 8572.504 | 3437.864 |
| 3+137 | 0.000 | 0.765 | 0.000 | 0.034 | 8572.504 | 3437.898 |
| 3+140 | 2.495 | 0.000 | 3.866 | 1.186 | 8576.369 | 3439.084 |
| 3+147 | 1.772 | 0.283 | 14.861 | 0.984 | 8591.230 | 3440.068 |

Fuente: Elaboración propia

| TABLA DE MOVIMIENTO DE TIERRAS | | | | | | |
|--------------------------------|---------------------------|---------------------------|---------------------------|---------------------------|----------------------------|----------------------------|
| Progresiva | Á.C. (m ²) | Á.R. (m ²) | V.C. (m ³) | V.R. (m ³) | V.C.A (m ³) | V.R.A (m ³) |
| 3+640 | 3.705 | 0.000 | 9.280 | 1.776 | 10119.039 | 3629.642 |
| 3+649 | 1.755 | 0.000 | 25.726 | 0.000 | 10144.765 | 3629.642 |
| 3+650 | 1.818 | 0.000 | 0.543 | 0.000 | 10145.308 | 3629.642 |
| 3+650 | 1.965 | 0.000 | 0.460 | 0.000 | 10145.768 | 3629.642 |
| 3+650 | 2.009 | 0.000 | 0.123 | 0.000 | 10145.891 | 3629.642 |
| 3+660 | 6.888 | 0.000 | 44.193 | 0.000 | 10190.084 | 3629.642 |
| 3+666 | 5.000 | 0.000 | 36.402 | 0.000 | 10226.486 | 3629.642 |
| 3+666 | 4.885 | 0.000 | 0.335 | 0.000 | 10226.821 | 3629.642 |
| 3+666 | 4.771 | 0.000 | 0.328 | 0.000 | 10227.149 | 3629.642 |
| 3+680 | 6.255 | 0.000 | 75.712 | 0.000 | 10302.862 | 3629.642 |
| 3+696 | 4.270 | 0.000 | 83.697 | 0.000 | 10386.559 | 3629.642 |
| 3+696 | 3.972 | 0.000 | 1.206 | 0.000 | 10387.765 | 3629.642 |
| 3+697 | 3.831 | 0.000 | 1.152 | 0.000 | 10388.917 | 3629.642 |
| 3+700 | 3.762 | 0.000 | 13.278 | 0.000 | 10402.196 | 3629.642 |
| 3+714 | 8.199 | 0.000 | 84.870 | 0.000 | 10487.066 | 3629.642 |
| 3+715 | 7.215 | 0.000 | 6.374 | 0.000 | 10493.439 | 3629.642 |
| 3+715 | 6.909 | 0.000 | 0.925 | 0.000 | 10494.364 | 3629.642 |
| 3+716 | 5.604 | 0.000 | 5.903 | 0.000 | 10500.267 | 3629.642 |
| 3+720 | 7.460 | 0.000 | 25.682 | 0.000 | 10525.949 | 3629.642 |
| 3+722 | 8.181 | 0.000 | 12.141 | 0.000 | 10538.09 | 3629.642 |
| 3+722 | 8.190 | 0.000 | 6.114 | 0.000 | 10544.204 | 3629.642 |
| 3+723 | 7.774 | 0.000 | 5.965 | 0.000 | 10550.169 | 3629.642 |

| TABLA DE MOVIMIENTO DE TIERRAS | | | | | | |
|--------------------------------|---------------------------|---------------------------|---------------------------|---------------------------|----------------------------|----------------------------|
| Progresiva | Á.C. (m ²) | Á.R. (m ²) | V.C. (m ³) | V.R. (m ³) | V.C.A (m ³) | V.R.A (m ³) |
| 0+463 | 6.308 | 0.000 | 21.673 | 0.000 | 2811.028 | 147.876 |
| 0+463 | 4.210 | 0.000 | 1.706 | 0.000 | 2812.734 | 147.876 |
| 0+463 | 4.084 | 0.053 | 1.295 | 0.011 | 2814.029 | 147.887 |
| 0+480 | 13.131 | 0.000 | 142.84 | 0.441 | 2956.87 | 148.328 |
| 0+500 | 6.056 | 0.000 | 191.869 | 0.000 | 3148.738 | 148.328 |
| 0+501 | 4.016 | 0.000 | 6.051 | 0.000 | 3154.79 | 148.328 |
| 0+502 | 4.476 | 0.009 | 3.276 | 0.004 | 3158.066 | 148.332 |
| 0+503 | 7.493 | 0.000 | 4.702 | 0.004 | 3162.768 | 148.336 |
| 0+520 | 11.631 | 0.000 | 163.812 | 0.000 | 3326.58 | 148.336 |
| 0+540 | 12.631 | 0.000 | 242.617 | 0.000 | 3569.197 | 148.336 |
| 0+545 | 0.412 | 0.175 | 29.988 | 0.401 | 3599.185 | 148.738 |
| 0+545 | 2.324 | 0.012 | 0.322 | 0.021 | 3599.507 | 148.759 |
| 0+545 | 5.444 | 0.000 | 0.511 | 0.001 | 3600.018 | 148.759 |
| 0+545 | 8.123 | 0.000 | 0.676 | 0.000 | 3600.693 | 148.759 |
| 0+560 | 0.000 | 1.435 | 60.486 | 10.683 | 3661.179 | 159.442 |
| 0+577 | 0.162 | 0.339 | 1.406 | 15.377 | 3662.585 | 174.819 |
| 0+578 | 0.137 | 0.305 | 0.030 | 0.089 | 3662.615 | 174.908 |
| 0+578 | 0.124 | 0.158 | 0.026 | 0.063 | 3662.642 | 174.971 |
| 0+580 | 2.787 | 0.000 | 3.164 | 0.172 | 3665.806 | 175.143 |
| 0+592 | 0.000 | 1.280 | 17.197 | 7.898 | 3683.003 | 183.041 |
| 0+592 | 0.000 | 1.281 | 0.000 | 0.006 | 3683.003 | 183.047 |
| 0+592 | 0.000 | 1.282 | 0.000 | 0.006 | 3683.003 | 183.053 |

| TABLA DE MOVIMIENTO DE TIERRAS | | | | | | |
|--------------------------------|---------------------------|---------------------------|---------------------------|---------------------------|----------------------------|----------------------------|
| Progresiva | Á.C. (m ²) | Á.R. (m ²) | V.C. (m ³) | V.R. (m ³) | V.C.A (m ³) | V.R.A (m ³) |
| 0+728 | 2.659 | 0.000 | 1.179 | 0.000 | 3988.626 | |
| 0+740 | 7.414 | 0.000 | 62.074 | 0.000 | 4050.7 | |
| 0+745 | 1.441 | 0.314 | 21.022 | 0.746 | 4071.722 | |
| 0+745 | 1.185 | 0.516 | 0.296 | 0.123 | 4072.017 | |
| 0+746 | 0.687 | 1.288 | 0.817 | 1.029 | 4072.834 | |
| 0+747 | 0.002 | 0.844 | 0.374 | 1.481 | 4073.208 | |
| 0+754 | 4.696 | 0.000 | 15.587 | 2.802 | 4088.795 | |
| 0+755 | 1.848 | 0.000 | 2.879 | 0.000 | 4091.673 | |
| 0+755 | 1.557 | 0.003 | 0.407 | 0.001 | 4092.081 | |
| 0+756 | 1.607 | 0.006 | 0.900 | 0.003 | 4092.981 | |
| 0+760 | 1.012 | 0.000 | 5.734 | 0.012 | 4098.715 | |
| 0+780 | 1.777 | 0.000 | 27.895 | 0.001 | 4126.61 | |
| 0+781 | 1.704 | 0.000 | 1.204 | 0.000 | 4127.813 | |
| 0+781 | 1.934 | 0.000 | 0.805 | 0.000 | 4128.618 | |
| 0+782 | 2.141 | 0.000 | 0.920 | 0.000 | 4129.538 | |
| 0+786 | 0.000 | 2.119 | 5.101 | 5.049 | 4134.639 | |
| 0+787 | 0.558 | 0.000 | 0.184 | 0.66 | 4134.823 | |
| 0+788 | 2.759 | 0.000 | 1.041 | 0.000 | 4135.864 | |
| 0+800 | 0.651 | 0.079 | 21.173 | 0.490 | 4157.036 | |
| 0+812 | 1.645 | 0.513 | 13.782 | 3.551 | 4170.818 | |
| 0+813 | 1.702 | 0.504 | 1.113 | 0.251 | 4171.932 | |
| 0+813 | 0.128 | 0.966 | 0.611 | 0.380 | 4172.542 | |

| | | | | | | | | | | | | | | | | | | | | | |
|-------|--------|-------|---------|-------|-----------|----------|--|-------|-------|-------|---------|--------|----------|---------|--|-------|-------|-------|--------|--------|----------|
| 3+733 | 5.914 | 0.000 | 69.753 | 0.000 | 10619.922 | 3629.642 | | 0+600 | 6.018 | 0.000 | 23.014 | 4.902 | 3706.018 | 187.956 | | 0+820 | 0.000 | 2.951 | 0.438 | 13.356 | 4172.980 |
| 3+733 | 5.937 | 0.000 | 0.264 | 0.000 | 10620.186 | 3629.642 | | 0+619 | 6.540 | 0.000 | 121.358 | 0.000 | 3827.376 | 187.956 | | 0+837 | 0.077 | 0.701 | 0.652 | 30.851 | 4173.632 |
| 3+733 | 5.960 | 0.000 | 0.265 | 0.000 | 10620.451 | 3629.642 | | 0+620 | 3.402 | 0.135 | 2.447 | 0.027 | 3829.823 | 187.982 | | 0+838 | 0.100 | 0.752 | 0.060 | 0.556 | 4173.692 |
| 3+740 | 8.244 | 0.000 | 47.439 | 0.000 | 10667.890 | 3629.642 | | 0+620 | 3.166 | 0.082 | 0.772 | 0.020 | 3830.595 | 188.003 | | 0+838 | 0.026 | 1.290 | 0.045 | 0.775 | 4173.736 |
| 3+760 | 18.554 | 0.000 | 267.977 | 0.000 | 10935.868 | 3629.642 | | 0+620 | 3.055 | 0.034 | 0.810 | 0.013 | 3831.405 | 188.016 | | 0+840 | 1.227 | 0.000 | 1.030 | 1.061 | 4174.767 |
| 3+773 | 10.895 | 0.000 | 192.503 | 0.000 | 11128.371 | 3629.642 | | 0+640 | 6.623 | 0.000 | 95.605 | 0.331 | 3927.010 | 188.347 | | 0+851 | 0.000 | 2.122 | 6.663 | 11.520 | 4181.430 |
| 3+774 | 10.235 | 0.000 | 9.574 | 0.000 | 11137.945 | 3629.642 | | 0+648 | 0.000 | 4.658 | 27.237 | 19.156 | 3954.247 | 207.503 | | 0+852 | 2.823 | 0.000 | 1.716 | 1.268 | 4183.146 |
| 3+775 | 10.861 | 0.000 | 9.544 | 0.000 | 11147.489 | 3629.642 | | 0+648 | 0.000 | 4.481 | 0.000 | 0.365 | 3954.247 | 207.868 | | 0+853 | 0.972 | 0.000 | 2.297 | 0.000 | 4185.443 |
| 3+780 | 13.648 | 0.000 | 62.867 | 0.000 | 11210.356 | 3629.642 | | 0+648 | 0.000 | 4.314 | 0.000 | 0.351 | 3954.247 | 208.218 | | 0+860 | 0.000 | 5.287 | 3.299 | 17.952 | 4188.742 |
| 3+794 | 13.266 | 0.000 | 185.580 | 0.000 | 11395.936 | 3629.642 | | 0+660 | 0.000 | 4.290 | 0.000 | 49.951 | 3954.247 | 258.169 | | 0+866 | 0.805 | 0.010 | 2.328 | 15.318 | 4191.070 |
| 3+795 | 13.258 | 0.000 | 16.023 | 0.000 | 11411.960 | 3629.642 | | 0+680 | 0.000 | 3.611 | 0.000 | 79.006 | 3954.247 | 337.176 | | 0+866 | 1.519 | 0.000 | 0.652 | 0.002 | 4191.722 |
| 3+795 | 13.222 | 0.000 | 1.348 | 0.000 | 11413.308 | 3629.642 | | 0+691 | 2.225 | 0.000 | 12.538 | 20.344 | 3966.785 | 357.520 | | 0+867 | 3.324 | 0.000 | 1.331 | 0.000 | 4193.053 |
| 3+796 | 12.568 | 0.000 | 16.823 | 0.000 | 11430.132 | 3629.642 | | 0+691 | 2.190 | 0.000 | 0.169 | 0.000 | 3966.953 | 357.520 | | 0+876 | 3.500 | 0.000 | 29.992 | 0.000 | 4223.045 |
| 3+800 | 11.510 | 0.000 | 43.183 | 0.000 | 11473.314 | 3629.642 | | 0+691 | 2.141 | 0.000 | 0.165 | 0.000 | 3967.119 | 357.520 | | 0+876 | 3.241 | 0.000 | 0.759 | 0.000 | 4223.804 |
| 3+809 | 7.689 | 0.000 | 81.753 | 0.000 | 11555.067 | 3629.642 | | 0+700 | 0.000 | 2.658 | 9.188 | 11.408 | 3976.307 | 368.927 | | 0+876 | 2.965 | 0.000 | 0.699 | 0.000 | 4224.503 |
| 3+809 | 7.602 | 0.000 | 2.317 | 0.000 | 11557.385 | 3629.642 | | 0+720 | 0.000 | 4.829 | 0.000 | 74.869 | 3976.307 | 443.797 | | 0+880 | 0.000 | 3.127 | 5.847 | 6.166 | 4230.350 |
| 3+809 | 7.605 | 0.000 | 2.304 | 0.000 | 11559.688 | 3629.642 | | 0+727 | 2.899 | 0.000 | 9.912 | 16.510 | 3986.218 | 460.306 | | 0+899 | 0.000 | 0.669 | 0.000 | 36.399 | 4230.350 |
| 3+820 | 7.526 | 0.000 | 82.263 | 0.000 | 11641.951 | 3629.642 | | 0+727 | 2.848 | 0.000 | 1.228 | 0.000 | 3987.447 | 460.306 | | 0+900 | 0.069 | 0.377 | 0.020 | 0.240 | 4230.370 |

Fuente: Elaboración propia

| TABLA DE MOVIMIENTO DE TIERRAS | | | | | | |
|--------------------------------|---------------------------|---------------------------|---------------------------|---------------------------|----------------------------|----------------------------|
| Progresiva | Á.C. (m ²) | Á.R. (m ²) | V.C. (m ³) | V.R. (m ³) | V.C.A (m ³) | V.R.A (m ³) |
| 0+900 | 0.161 | 0.272 | 0.044 | 0.095 | 4230.414 | 612.444 |
| 0+900 | 0.208 | 0.256 | 0.035 | 0.037 | 4230.45 | 612.481 |
| 0+912 | 0.000 | 1.594 | 1.212 | 10.800 | 4231.66 | 623.281 |
| 0+912 | 0.000 | 1.335 | 0.000 | 0.514 | 4231.66 | 623.795 |
| 0+913 | 0.000 | 1.095 | 0.000 | 0.432 | 4231.66 | 624.227 |
| 0+920 | 0.000 | 2.887 | 0.000 | 14.893 | 4231.66 | 639.120 |
| 0+924 | 0.000 | 3.215 | 0.000 | 11.149 | 4231.66 | 650.269 |
| 0+925 | 0.000 | 2.750 | 0.000 | 3.937 | 4231.66 | 654.206 |
| 0+926 | 0.000 | 3.014 | 0.000 | 3.548 | 4231.66 | 657.754 |
| 0+929 | 0.000 | 3.699 | 0.000 | 8.677 | 4231.66 | 666.431 |
| 0+940 | 12.493 | 0.000 | 69.534 | 20.589 | 4301.2 | 687.020 |
| 0+944 | 4.353 | 0.000 | 34.939 | 0.000 | 4336.13 | 687.020 |
| 0+944 | 4.271 | 0.000 | 0.139 | 0.000 | 4336.27 | 687.020 |
| 0+944 | 4.189 | 0.000 | 0.136 | 0.000 | 4336.41 | 687.020 |
| 0+948 | 3.106 | 0.000 | 12.609 | 0.000 | 4349.02 | 687.02 |
| 0+950 | 1.380 | 0.095 | 4.440 | 0.071 | 4353.46 | 687.091 |
| 0+950 | 0.540 | 0.467 | 0.509 | 0.112 | 4353.97 | 687.203 |
| 0+951 | 0.000 | 2.782 | 0.426 | 2.203 | 4354.39 | 689.406 |
| 0+960 | 0.000 | 2.363 | 0.000 | 22.180 | 4354.39 | 711.586 |
| 0+964 | 0.913 | 0.131 | 1.629 | 4.447 | 4356.021 | 716.033 |

| TABLA DE MOVIMIENTO DE TIERRAS | | | | | | |
|--------------------------------|---------------------------|---------------------------|---------------------------|---------------------------|----------------------------|----------------------------|
| Progresiva | Á.C. (m ²) | Á.R. (m ²) | V.C. (m ³) | V.R. (m ³) | V.C.A (m ³) | V.R.A (m ³) |
| 2+260 | 2.760 | 0.000 | 16.814 | 9.915 | 6494.297 | 2476.734 |
| 2+264 | 0.000 | 1.636 | 5.701 | 3.378 | 6499.997 | 2480.112 |
| 2+264 | 0.000 | 1.599 | 0.000 | 0.503 | 6499.997 | 2480.615 |
| 2+265 | 0.000 | 1.393 | 0.000 | 0.463 | 6499.997 | 2481.077 |
| 2+270 | 4.074 | 0.000 | 10.715 | 3.664 | 6510.712 | 2484.741 |
| 2+282 | 0.000 | 4.568 | 24.937 | 27.960 | 6535.649 | 2512.700 |
| 2+283 | 0.000 | 5.440 | 0.000 | 4.150 | 6535.649 | 2516.851 |
| 2+284 | 0.000 | 4.840 | 0.000 | 4.233 | 6535.649 | 2521.084 |
| 2+290 | 0.323 | 0.108 | 0.988 | 15.146 | 6536.637 | 2536.230 |
| 2+302 | 0.660 | 1.860 | 5.815 | 11.643 | 6542.452 | 2547.873 |
| 2+302 | 1.338 | 1.260 | 0.139 | 0.163 | 6542.591 | 2548.036 |
| 2+302 | 2.156 | 0.791 | 0.239 | 0.104 | 6542.83 | 2548.140 |
| 2+310 | 0.000 | 1.353 | 8.909 | 8.860 | 6551.739 | 2557.001 |
| 2+312 | 0.000 | 4.490 | 0.000 | 5.599 | 6551.739 | 2562.599 |
| 2+314 | 0.022 | 2.758 | 0.025 | 6.576 | 6551.765 | 2569.175 |
| 2+317 | 0.144 | 1.968 | 0.258 | 7.359 | 6552.022 | 2576.534 |
| 2+318 | 0.045 | 2.063 | 0.042 | 0.648 | 6552.065 | 2577.182 |
| 2+318 | 0.000 | 2.517 | 0.010 | 0.759 | 6552.075 | 2577.94 |
| 2+320 | 10.866 | 0.000 | 11.578 | 2.682 | 6563.653 | 2580.623 |
| 2+331 | 1.439 | 0.947 | 65.624 | 5.049 | 6629.277 | 2585.672 |

| TABLA DE MOVIMIENTO DE TIERRAS | | | | | | |
|--------------------------------|---------------------------|---------------------------|---------------------------|---------------------------|----------------------------|----------------------------|
| Progresiva | Á.C. (m ²) | Á.R. (m ²) | V.C. (m ³) | V.R. (m ³) | V.C.A (m ³) | V.R.A (m ³) |
| 2+420 | 0.000 | 3.885 | 67.434 | 38.853 | 6842.467 | 2711.784 |
| 2+421 | 0.000 | 3.552 | 0.000 | 3.422 | 6842.467 | 2715.206 |
| 2+421 | 0.000 | 3.432 | 0.000 | 1.894 | 6842.467 | 2717.100 |
| 2+422 | 0.000 | 3.297 | 0.000 | 1.822 | 6842.467 | 2718.921 |
| 2+440 | 0.000 | 2.733 | 0.000 | 54.208 | 6842.467 | 2773.130 |
| 2+440 | 0.000 | 2.575 | 0.000 | 0.984 | 6842.467 | 2774.114 |
| 2+442 | 0.000 | 1.976 | 0.000 | 3.268 | 6842.467 | 2777.382 |
| 2+443 | 0.775 | 0.916 | 0.458 | 2.197 | 6842.924 | 2779.579 |
| 2+450 | 2.781 | 0.000 | 11.970 | 3.083 | 6854.894 | 2782.662 |
| 2+464 | 0.000 | 6.434 | 19.634 | 45.431 | 6874.529 | 2828.093 |
| 2+465 | 0.000 | 3.184 | 0.000 | 3.187 | 6874.529 | 2831.280 |
| 2+465 | 0.000 | 2.039 | 0.000 | 0.570 | 6874.529 | 2831.850 |
| 2+465 | 0.022 | 0.260 | 0.005 | 0.488 | 6874.533 | 2832.338 |
| 2+474 | 0.000 | 3.089 | 0.092 | 14.262 | 6874.625 | 2846.600 |
| 2+474 | 0.000 | 3.273 | 0.000 | 0.643 | 6874.625 | 2847.243 |
| 2+474 | 0.000 | 3.321 | 0.000 | 0.675 | 6874.625 | 2847.918 |
| 2+480 | 12.460 | 0.000 | 35.151 | 9.37 | 6909.776 | 2857.289 |
| 2+488 | 0.000 | 2.285 | 50.374 | 9.24 | 6960.15 | 2866.529 |
| 2+489 | 0.000 | 2.697 | 0.000 | 2.066 | 6960.15 | 2868.594 |
| 2+490 | 0.000 | 2.565 | 0.000 | 2.176 | 6960.150 | 2870.770 |

| | | | | | | | | | | | | | | | | | | | | |
|-------|-------|-------|--------|--------|----------|---------|-------|-------|-------|--------|--------|----------|----------|-------|-------|-------|--------|--------|----------|----------|
| 0+964 | 0.962 | 0.102 | 0.072 | 0.012 | 4356.093 | 716.045 | 2+331 | 1.141 | 1.954 | 0.510 | 0.786 | 6629.787 | 2586.457 | 2+495 | 0.000 | 0.901 | 0.000 | 9.140 | 6960.150 | 2879.910 |
| 0+964 | 1.019 | 0.077 | 0.076 | 0.009 | 4356.169 | 716.054 | 2+332 | 2.829 | 0.003 | 0.863 | 0.527 | 6630.650 | 2586.985 | 2+499 | 0.186 | 0.522 | 0.415 | 3.179 | 6960.565 | 2883.089 |
| 0+974 | 0.000 | 1.780 | 4.999 | 9.109 | 4361.169 | 725.163 | 2+340 | 2.825 | 0.000 | 23.790 | 0.013 | 6654.439 | 2586.997 | 2+500 | 0.222 | 0.468 | 0.087 | 0.297 | 6960.652 | 2883.386 |
| 0+974 | 0.000 | 0.971 | 0.000 | 0.947 | 4361.169 | 726.111 | 2+348 | 0.000 | 2.695 | 11.749 | 11.209 | 6666.188 | 2598.206 | 2+500 | 0.193 | 0.395 | 0.072 | 0.211 | 6960.725 | 2883.597 |
| 0+975 | 0.014 | 1.435 | 0.006 | 0.780 | 4361.175 | 726.891 | 2+350 | 0.000 | 5.317 | 0.000 | 4.899 | 6666.188 | 2603.105 | 2+501 | 0.066 | 0.520 | 0.100 | 0.502 | 6960.825 | 2884.100 |
| 0+980 | 0.000 | 5.162 | 0.035 | 16.511 | 4361.210 | 743.402 | 2+350 | 0.000 | 4.480 | 0.000 | 2.341 | 6666.188 | 2605.446 | 2+512 | 0.000 | 1.576 | 0.340 | 10.815 | 6961.165 | 2894.915 |
| 1+000 | 0.000 | 0.448 | 0.000 | 55.945 | 4361.210 | 799.347 | 2+351 | 0.200 | 1.955 | 0.058 | 2.609 | 6666.246 | 2608.055 | 2+512 | 0.000 | 1.581 | 0.000 | 0.365 | 6961.165 | 2895.280 |
| 1+000 | 0.000 | 0.514 | 0.000 | 0.027 | 4361.210 | 799.374 | 2+360 | 8.675 | 0.000 | 41.022 | 9.039 | 6707.267 | 2617.095 | 2+512 | 0.000 | 1.597 | 0.000 | 0.368 | 6961.165 | 2895.648 |
| 1+000 | 0.128 | 0.857 | 0.038 | 0.329 | 4361.248 | 799.703 | 2+366 | 1.976 | 0.086 | 32.859 | 0.264 | 6740.126 | 2617.359 | 2+520 | 2.778 | 0.000 | 10.852 | 6.238 | 6972.017 | 2901.885 |
| 1+001 | 0.087 | 1.064 | 0.070 | 0.493 | 4361.318 | 800.197 | 2+367 | 1.724 | 0.811 | 1.577 | 0.536 | 6741.703 | 2617.895 | 2+533 | 0.021 | 0.989 | 18.480 | 6.529 | 6990.497 | 2908.414 |
| 1+020 | 0.000 | 2.694 | 0.828 | 35.613 | 4362.146 | 835.809 | 2+368 | 4.559 | 0.000 | 2.828 | 0.483 | 6744.531 | 2618.378 | 2+534 | 0.000 | 1.921 | 0.013 | 1.381 | 6990.510 | 2909.795 |
| 1+025 | 0.165 | 0.210 | 0.399 | 7.002 | 4362.545 | 842.811 | 2+375 | 1.651 | 0.000 | 21.162 | 0.000 | 6765.693 | 2618.378 | 2+535 | 0.000 | 2.330 | 0.000 | 1.681 | 6990.510 | 2911.476 |
| 1+025 | 1.556 | 0.028 | 0.166 | 0.018 | 4362.711 | 842.829 | 2+379 | 0.000 | 2.851 | 3.088 | 5.333 | 6768.781 | 2623.711 | 2+535 | 0.000 | 2.038 | 0.000 | 0.446 | 6990.510 | 2911.922 |
| 1+025 | 1.936 | 0.027 | 0.119 | 0.001 | 4362.830 | 842.831 | 2+379 | 0.000 | 2.860 | 0.000 | 0.065 | 6768.781 | 2623.776 | 2+540 | 5.082 | 0.000 | 12.191 | 4.890 | 7002.701 | 2916.812 |
| 1+025 | 2.119 | 0.030 | 0.531 | 0.005 | 4363.361 | 842.836 | 2+379 | 0.000 | 2.868 | 0.000 | 0.065 | 6768.781 | 2623.842 | 2+548 | 0.508 | 0.297 | 22.424 | 1.191 | 7025.126 | 2918.003 |
| 1+040 | 0.000 | 2.460 | 15.566 | 18.293 | 4378.927 | 861.130 | 2+380 | 0.000 | 2.975 | 0.000 | 3.545 | 6768.781 | 2627.387 | 2+548 | 0.184 | 0.790 | 0.045 | 0.098 | 7025.170 | 2918.101 |
| 1+056 | 4.281 | 0.000 | 34.435 | 19.787 | 4413.362 | 880.917 | 2+397 | 0.000 | 1.904 | 0.000 | 42.352 | 6768.781 | 2669.739 | 2+548 | 0.136 | 1.368 | 0.019 | 0.187 | 7025.189 | 2918.288 |
| 1+057 | 4.212 | 0.000 | 2.392 | 0.000 | 4415.754 | 880.917 | 2+398 | 0.000 | 1.845 | 0.000 | 0.742 | 6768.781 | 2670.481 | 2+560 | 6.871 | 0.000 | 40.877 | 7.983 | 7066.066 | 2926.271 |
| 1+057 | 3.651 | 0.000 | 2.223 | 0.000 | 4417.977 | 880.917 | 2+398 | 0.077 | 1.854 | 0.012 | 0.754 | 6768.792 | 2671.235 | 2+572 | 3.718 | 0.000 | 64.682 | 0.000 | 7130.748 | 2926.271 |
| 1+060 | 1.399 | 0.000 | 6.112 | 0.000 | 4424.089 | 880.917 | 2+400 | 6.743 | 0.000 | 6.240 | 1.697 | 6775.033 | 2672.931 | 2+573 | 2.789 | 0.000 | 1.192 | 0.000 | 7131.939 | 2926.271 |

Fuente: Elaboración propia.

| TABLA DE MOVIMIENTO DE TIERRAS | | | | | | |
|--------------------------------|---------------------------|---------------------------|---------------------------|---------------------------|----------------------------|----------------------------|
| Progresiva | Á.C. (m ²) | Á.R. (m ²) | V.C. (m ³) | V.R. (m ³) | V.C.A (m ³) | V.R.A (m ³) |
| 2+573 | 1.780 | 0.000 | 0.834 | 0.000 | 7132.774 | 2926.271 |
| 2+580 | 1.624 | 0.000 | 11.988 | 0.000 | 7144.761 | 2926.271 |
| 2+586 | 2.173 | 0.000 | 11.886 | 0.000 | 7156.648 | 2926.271 |
| 2+587 | 2.443 | 0.000 | 1.632 | 0.000 | 7158.28 | 2926.271 |
| 2+588 | 2.589 | 0.000 | 1.794 | 0.000 | 7160.074 | 2926.271 |
| 2+595 | 0.349 | 0.232 | 11.284 | 0.893 | 7171.358 | 2927.163 |
| 2+595 | 0.328 | 0.242 | 0.015 | 0.015 | 7171.373 | 2927.179 |
| 2+595 | 0.312 | 0.247 | 0.014 | 0.015 | 7171.388 | 2927.194 |
| 2+600 | 1.054 | 0.000 | 3.097 | 0.561 | 7174.485 | 2927.755 |
| 2+614 | 4.181 | 0.000 | 36.997 | 0.000 | 7211.481 | 2927.755 |
| 2+615 | 2.417 | 0.000 | 2.135 | 0.000 | 7213.617 | 2927.755 |
| 2+615 | 1.877 | 0.000 | 0.528 | 0.000 | 7214.144 | 2927.755 |
| 2+615 | 1.250 | 0.000 | 0.607 | 0.000 | 7214.751 | 2927.755 |
| 2+620 | 4.983 | 0.000 | 14.376 | 0.000 | 7229.127 | 2927.755 |
| 2+631 | 2.043 | 0.000 | 39.185 | 0.000 | 7268.312 | 2927.755 |
| 2+632 | 1.608 | 0.000 | 1.806 | 0.000 | 7270.118 | 2927.755 |
| 2+633 | 2.561 | 0.000 | 2.108 | 0.000 | 7272.225 | 2927.755 |
| 2+640 | 5.110 | 0.000 | 25.791 | 0.000 | 7298.016 | 2927.755 |
| 2+645 | 4.466 | 0.000 | 25.021 | 0.000 | 7323.038 | 2927.755 |

| TABLA DE MOVIMIENTO DE TIERRAS | | | | | | |
|--------------------------------|---------------------------|---------------------------|---------------------------|---------------------------|----------------------------|----------------------------|
| Progresiva | Á.C. (m ²) | Á.R. (m ²) | V.C. (m ³) | V.R. (m ³) | V.C.A (m ³) | V.R.A (m ³) |
| 3+148 | 1.119 | 0.415 | 1.307 | 0.432 | 8592.538 | 3440.500 |
| 3+149 | 1.410 | 0.000 | 1.182 | 0.257 | 8593.72 | 3440.757 |
| 3+155 | 0.000 | 0.127 | 4.230 | 0.380 | 8597.95 | 3441.137 |
| 3+158 | 0.000 | 1.927 | 0.000 | 2.805 | 8597.95 | 3443.942 |
| 3+158 | 0.000 | 2.449 | 0.000 | 1.600 | 8597.95 | 3445.542 |
| 3+159 | 0.000 | 2.661 | 0.000 | 1.865 | 8597.95 | 3447.407 |
| 3+162 | 0.000 | 3.246 | 0.000 | 7.961 | 8597.95 | 3455.368 |
| 3+163 | 0.000 | 3.530 | 0.000 | 5.195 | 8597.95 | 3460.563 |
| 3+165 | 0.000 | 1.361 | 0.000 | 3.706 | 8597.95 | 3464.269 |
| 3+170 | 5.230 | 0.000 | 13.288 | 3.457 | 8611.238 | 3467.726 |
| 3+177 | 10.083 | 0.000 | 54.441 | 0.000 | 8665.679 | 3467.726 |
| 3+178 | 1.531 | 0.018 | 8.10 | 0.011 | 8673.779 | 3467.737 |
| 3+180 | 1.490 | 0.000 | 2.165 | 0.011 | 8675.943 | 3467.748 |
| 3+185 | 8.732 | 0.000 | 26.849 | 0.000 | 8702.792 | 3467.748 |
| 3+192 | 6.314 | 0.000 | 53.251 | 0.000 | 8756.043 | 3467.748 |
| 3+193 | 1.554 | 0.244 | 3.270 | 0.096 | 8759.313 | 3467.843 |
| 3+194 | 0.644 | 0.674 | 0.931 | 0.360 | 8760.244 | 3468.204 |
| 3+200 | 11.717 | 0.000 | 39.606 | 2.159 | 8799.851 | 3470.363 |
| 3+211 | 1.131 | 0.000 | 68.946 | 0.000 | 8868.797 | 3470.363 |

| TABLA DE MOVIMIENTO DE TIERRAS | | | | | | |
|--------------------------------|---------------------------|---------------------------|---------------------------|---------------------------|----------------------------|----------------------------|
| Progresiva | Á.C. (m ²) | Á.R. (m ²) | V.C. (m ³) | V.R. (m ³) | V.C.A (m ³) | V.R.A (m ³) |
| 3+318 | 2.109 | 0.000 | 2.285 | 0.000 | 9393.749 | 3470.363 |
| 3+319 | 1.987 | 0.000 | 1.877 | 0.000 | 9395.627 | 3470.363 |
| 3+325 | 5.404 | 0.000 | 23.334 | 0.000 | 9418.961 | 3470.363 |
| 3+330 | 4.931 | 0.000 | 24.053 | 0.000 | 9443.014 | 3470.363 |
| 3+330 | 4.223 | 0.000 | 1.518 | 0.000 | 9444.531 | 3470.363 |
| 3+331 | 2.891 | 0.000 | 3.320 | 0.000 | 9447.851 | 3470.363 |
| 3+332 | 3.322 | 0.000 | 3.910 | 0.000 | 9451.762 | 3470.363 |
| 3+340 | 5.095 | 0.000 | 32.321 | 0.000 | 9484.083 | 3470.363 |
| 3+343 | 3.232 | 0.041 | 12.246 | 0.060 | 9496.328 | 3470.423 |
| 3+343 | 3.298 | 0.091 | 0.749 | 0.012 | 9497.077 | 3470.434 |
| 3+343 | 3.324 | 0.141 | 0.761 | 0.020 | 9497.838 | 3470.454 |
| 3+357 | 0.015 | 1.947 | 22.233 | 13.910 | 9520.071 | 3484.364 |
| 3+357 | 0.001 | 2.110 | 0.001 | 0.249 | 9520.072 | 3484.614 |
| 3+357 | 0.000 | 2.320 | 0.000 | 0.276 | 9520.072 | 3484.889 |
| 3+360 | 0.204 | 0.223 | 0.313 | 3.905 | 9520.385 | 3488.794 |
| 3+367 | 1.123 | 0.000 | 4.783 | 0.802 | 9525.168 | 3489.597 |
| 3+369 | 0.000 | 2.594 | 0.838 | 1.772 | 9526.006 | 3491.369 |
| 3+370 | 0.000 | 1.888 | 0.000 | 3.154 | 9526.006 | 3494.523 |
| 3+375 | 2.061 | 0.000 | 5.164 | 4.732 | 9531.17 | 3499.255 |

| | | | | | | | | | | | | | | | | | | | | |
|-------|-------|-------|--------|--------|----------|----------|-------|--------|-------|---------|-------|----------|----------|-------|-------|-------|--------|--------|----------|----------|
| 2+646 | 5.046 | 0.000 | 3.661 | 0.000 | 7326.699 | 2927.755 | 3+211 | 1.052 | 0.000 | 0.762 | 0.000 | 8869.559 | 3470.363 | 3+383 | 4.661 | 0.843 | 25.860 | 3.244 | 9557.03 | 3502.499 |
| 2+647 | 6.184 | 0.000 | 4.383 | 0.000 | 7331.082 | 2927.755 | 3+212 | 2.265 | 0.000 | 1.179 | 0.000 | 8870.738 | 3470.363 | 3+383 | 3.971 | 1.028 | 0.872 | 0.139 | 9557.902 | 3502.638 |
| 2+653 | 1.273 | 0.000 | 21.558 | 0.000 | 7352.64 | 2927.755 | 3+220 | 10.007 | 0.000 | 48.558 | 0.000 | 8919.296 | 3470.363 | 3+383 | 2.208 | 1.247 | 0.635 | 0.174 | 9558.538 | 3502.812 |
| 2+653 | 1.024 | 0.000 | 0.822 | 0.000 | 7353.462 | 2927.755 | 3+239 | 2.943 | 0.000 | 125.019 | 0.000 | 9044.314 | 3470.363 | 3+399 | 2.352 | 0.000 | 37.312 | 10.203 | 9595.849 | 3513.015 |
| 2+654 | 1.029 | 0.000 | 0.726 | 0.000 | 7354.188 | 2927.755 | 3+240 | 3.101 | 0.000 | 0.928 | 0.000 | 9045.243 | 3470.363 | 3+400 | 1.562 | 0.003 | 1.038 | 0.001 | 9596.888 | 3513.016 |
| 2+660 | 0.733 | 0.000 | 5.183 | 0.000 | 7359.371 | 2927.755 | 3+240 | 3.536 | 0.000 | 1.001 | 0.000 | 9046.243 | 3470.363 | 3+401 | 1.561 | 0.065 | 1.823 | 0.056 | 9598.711 | 3513.073 |
| 2+667 | 0.924 | 0.000 | 6.096 | 0.000 | 7365.467 | 2927.755 | 3+245 | 4.491 | 0.000 | 20.37 | 0.000 | 9066.613 | 3470.363 | 3+403 | 5.73 | 0.000 | 6.706 | 0.077 | 9605.417 | 3513.15 |
| 2+668 | 0.322 | 1.325 | 0.358 | 0.477 | 7365.825 | 2928.232 | 3+260 | 9.377 | 0.000 | 104.008 | 0.000 | 9170.622 | 3470.363 | 3+420 | 0.759 | 0.000 | 54.37 | 0.000 | 9659.788 | 3513.15 |
| 2+669 | 0.375 | 1.028 | 0.178 | 0.848 | 7366.003 | 2929.08 | 3+269 | 3.142 | 0.000 | 54.772 | 0.000 | 9225.394 | 3470.363 | 3+426 | 0.000 | 2.881 | 2.136 | 8.104 | 9661.923 | 3521.253 |
| 2+680 | 1.729 | 0.005 | 12.001 | 5.892 | 7378.003 | 2934.972 | 3+269 | 3.077 | 0.000 | 1.318 | 0.000 | 9226.712 | 3470.363 | 3+426 | 0.000 | 2.926 | 0.000 | 0.25 | 9661.923 | 3521.503 |
| 2+686 | 0.000 | 4.688 | 5.569 | 15.118 | 7383.573 | 2950.09 | 3+270 | 3.062 | 0.000 | 1.293 | 0.000 | 9228.004 | 3470.363 | 3+426 | 0.000 | 2.933 | 0.000 | 0.253 | 9661.923 | 3521.757 |
| 2+687 | 0.000 | 4.575 | 0.000 | 1.528 | 7383.573 | 2951.618 | 3+275 | 3.093 | 0.000 | 16.642 | 0.000 | 9244.647 | 3470.363 | 3+440 | 0.500 | 0.000 | 3.548 | 20.831 | 9665.472 | 3542.587 |
| 2+687 | 0.000 | 4.504 | 0.000 | 1.499 | 7383.573 | 2953.117 | 3+277 | 3.101 | 0.000 | 7.402 | 0.000 | 9252.049 | 3470.363 | 3+444 | 1.238 | 0.000 | 3.257 | 0.000 | 9668.729 | 3542.587 |
| 2+700 | 0.000 | 5.708 | 0.000 | 65.751 | 7383.573 | 3018.868 | 3+279 | 2.759 | 0.000 | 3.89 | 0.000 | 9255.939 | 3470.363 | 3+445 | 0.000 | 1.885 | 0.762 | 1.193 | 9669.49 | 3543.78 |
| 2+700 | 0.000 | 5.788 | 0.000 | 0.772 | 7383.573 | 3019.64 | 3+280 | 2.806 | 0.000 | 3.625 | 0.000 | 9259.564 | 3470.363 | 3+446 | 0.000 | 3.699 | 0.000 | 1.672 | 9669.49 | 3545.452 |
| 2+701 | 0.000 | 6.822 | 0.000 | 7.44 | 7383.573 | 3027.08 | 3+285 | 7.061 | 0.000 | 24.708 | 0.000 | 9284.272 | 3470.363 | 3+447 | 0.000 | 2.755 | 0.000 | 6.004 | 9669.49 | 3551.457 |
| 2+703 | 0.000 | 6.361 | 0.000 | 7.768 | 7383.573 | 3034.848 | 3+299 | 2.228 | 0.000 | 63.587 | 0.000 | 9347.859 | 3470.363 | 3+456 | 0.000 | 4.266 | 0.000 | 29.129 | 9669.49 | 3580.586 |
| 2+712 | 0.000 | 6.821 | 0.000 | 59.201 | 7383.573 | 3094.049 | 3+300 | 1.253 | 0.000 | 1.947 | 0.000 | 9349.806 | 3470.363 | 3+456 | 0.000 | 4.498 | 0.000 | 1.313 | 9669.49 | 3581.899 |
| 2+712 | 0.000 | 6.828 | 0.000 | 0.02 | 7383.573 | 3094.07 | 3+300 | 1.159 | 0.000 | 0.281 | 0.000 | 9350.087 | 3470.363 | 3+456 | 0.000 | 4.372 | 0.000 | 1.336 | 9669.49 | 3583.235 |
| 2+712 | 0.000 | 6.835 | 0.000 | 0.02 | 7383.573 | 3094.09 | 3+301 | 2.16 | 0.000 | 1.410 | 0.000 | 9351.498 | 3470.363 | 3+460 | 2.272 | 0.000 | 4.182 | 8.047 | 9673.672 | 3591.283 |
| 2+720 | 8.312 | 0.000 | 35.264 | 28.997 | 7418.837 | 3123.087 | 3+317 | 2.833 | 0.000 | 39.967 | 0.000 | 9391.465 | 3470.363 | 3+480 | 2.689 | 0.000 | 49.617 | 0.000 | 9723.289 | 3591.283 |

Fuente: Elaboración propia

| TABLA DE MOVIMIENTO DE TIERRAS | | | | | | |
|--------------------------------|---------------------------|---------------------------|---------------------------|---------------------------|----------------------------|----------------------------|
| Progresiva | Á.C. (m ²) | Á.R. (m ²) | V.C. (m ³) | V.R. (m ³) | V.C.A (m ³) | V.R.A (m ³) |
| 1+688 | 2.238 | 0.000 | 29.478 | 0.000 | 5662.455 | 1370.672 |
| 1+688 | 2.596 | 0.000 | 0.254 | 0.000 | 5662.709 | 1370.672 |
| 1+688 | 2.960 | 0.000 | 0.293 | 0.000 | 5663.002 | 1370.672 |
| 1+698 | 5.065 | 0.000 | 42.901 | 0.000 | 5705.904 | 1370.672 |
| 1+699 | 5.536 | 0.000 | 2.936 | 0.000 | 5708.84 | 1370.672 |
| 1+700 | 5.240 | 0.000 | 2.966 | 0.000 | 5711.805 | 1370.672 |
| 1+705 | 0.041 | 3.560 | 14.229 | 9.592 | 5726.034 | 1380.264 |
| 1+720 | 0.000 | 7.922 | 0.31 | 86.115 | 5726.344 | 1466.380 |
| 1+729 | 1.159 | 0.224 | 5.489 | 38.575 | 5731.832 | 1504.955 |
| 1+730 | 1.615 | 0.225 | 0.494 | 0.102 | 5732.326 | 1505.056 |
| 1+730 | 1.824 | 0.199 | 0.24 | 0.038 | 5732.566 | 1505.094 |
| 1+730 | 2.200 | 0.136 | 0.431 | 0.046 | 5732.997 | 1505.140 |
| 1+737 | 0.000 | 1.303 | 7.834 | 5.122 | 5740.832 | 1510.262 |
| 1+739 | 0.958 | 0.089 | 0.758 | 1.077 | 5741.59 | 1511.340 |
| 1+740 | 0.000 | 1.050 | 0.63 | 0.619 | 5742.22 | 1511.959 |
| 1+740 | 0.000 | 1.640 | 0.000 | 0.309 | 5742.22 | 1512.268 |
| 1+751 | 4.704 | 0.000 | 25.610 | 8.926 | 5767.83 | 1521.194 |
| 1+752 | 1.400 | 0.139 | 3.272 | 0.092 | 5771.101 | 1521.286 |
| 1+753 | 0.906 | 0.399 | 1.125 | 0.349 | 5772.226 | 1521.634 |
| 1+758 | 0.336 | 0.391 | 3.132 | 1.993 | 5775.357 | 1523.627 |

| TABLA DE MOVIMIENTO DE TIERRAS | | | | | | |
|--------------------------------|---------------------------|---------------------------|---------------------------|---------------------------|----------------------------|----------------------------|
| Progresiva | Á.C. (m ²) | Á.R. (m ²) | V.C. (m ³) | V.R. (m ³) | V.C.A (m ³) | V.R.A (m ³) |
| 1+873 | 0.000 | 6.262 | 0.000 | 0.297 | 5872.944 | 1688.626 |
| 1+873 | 0.000 | 6.390 | 0.000 | 0.304 | 5872.944 | 1688.929 |
| 1+880 | 6.107 | 0.000 | 20.577 | 21.532 | 5893.52 | 1710.462 |
| 1+886 | 0.000 | 8.024 | 18.313 | 24.062 | 5911.834 | 1734.524 |
| 1+887 | 0.000 | 4.961 | 0.000 | 4.605 | 5911.834 | 1739.129 |
| 1+887 | 2.994 | 0.136 | 0.915 | 1.847 | 5912.748 | 1740.976 |
| 1+900 | 0.000 | 6.923 | 18.939 | 44.661 | 5931.688 | 1785.636 |
| 1+901 | 0.000 | 7.759 | 0.000 | 6.540 | 5931.688 | 1792.177 |
| 1+901 | 0.000 | 6.024 | 0.000 | 3.656 | 5931.688 | 1795.833 |
| 1+902 | 0.000 | 3.572 | 0.000 | 2.529 | 5931.688 | 1798.362 |
| 1+920 | 8.021 | 0.000 | 72.400 | 32.240 | 6004.088 | 1830.602 |
| 1+924 | 1.013 | 1.148 | 19.711 | 2.506 | 6023.799 | 1833.108 |
| 1+925 | 0.000 | 3.864 | 0.371 | 1.460 | 6024.17 | 1834.568 |
| 1+925 | 0.000 | 4.270 | 0.000 | 1.892 | 6024.17 | 1836.460 |
| 1+927 | 1.082 | 1.341 | 0.707 | 2.923 | 6024.877 | 1839.383 |
| 1+940 | 10.962 | 0.000 | 80.519 | 8.965 | 6105.396 | 1848.348 |
| 1+960 | 0.000 | 3.180 | 109.616 | 31.799 | 6215.012 | 1880.147 |
| 1+961 | 0.000 | 3.182 | 0.000 | 2.296 | 6215.012 | 1882.443 |
| 1+961 | 0.000 | 3.087 | 0.000 | 0.772 | 6215.012 | 1883.215 |
| 1+961 | 0.000 | 2.962 | 0.000 | 0.747 | 6215.012 | 1883.962 |

| TABLA DE MOVIMIENTO DE TIERRAS | | | | | | |
|--------------------------------|---------------------------|---------------------------|---------------------------|---------------------------|----------------------------|----------------------------|
| Progresiva | Á.C. (m ²) | Á.R. (m ²) | V.C. (m ³) | V.R. (m ³) | V.C.A (m ³) | V.R.A (m ³) |
| 2+080 | 0.037 | 2.024 | 0.019 | 2.522 | 6363.571 | 2112.877 |
| 2+080 | 0.068 | 1.842 | 0.007 | 0.205 | 6363.578 | 2113.081 |
| 2+084 | 0.000 | 3.454 | 0.145 | 11.215 | 6363.723 | 2124.297 |
| 2+085 | 0.000 | 3.744 | 0.000 | 1.924 | 6363.723 | 2126.221 |
| 2+085 | 0.000 | 3.668 | 0.000 | 0.490 | 6363.723 | 2126.711 |
| 2+085 | 0.000 | 3.373 | 0.000 | 1.380 | 6363.723 | 2128.090 |
| 2+090 | 0.000 | 2.681 | 0.000 | 14.584 | 6363.723 | 2142.674 |
| 2+091 | 0.000 | 3.642 | 0.000 | 1.745 | 6363.723 | 2144.420 |
| 2+091 | 0.000 | 3.262 | 0.000 | 1.905 | 6363.723 | 2146.325 |
| 2+100 | 0.000 | 1.856 | 0.000 | 22.233 | 6363.723 | 2168.558 |
| 2+102 | 0.000 | 4.227 | 0.000 | 5.311 | 6363.723 | 2173.869 |
| 2+103 | 0.000 | 4.106 | 0.000 | 5.395 | 6363.723 | 2179.264 |
| 2+104 | 0.000 | 1.690 | 0.000 | 3.775 | 6363.723 | 2183.039 |
| 2+110 | 5.411 | 0.000 | 15.371 | 4.802 | 6379.094 | 2187.841 |
| 2+120 | 0.004 | 0.392 | 27.073 | 1.959 | 6406.167 | 2189.8 |
| 2+131 | 0.000 | 1.917 | 0.019 | 12.123 | 6406.186 | 2201.923 |
| 2+131 | 0.000 | 1.728 | 0.000 | 1.49 | 6406.186 | 2203.413 |
| 2+132 | 0.000 | 1.385 | 0.000 | 1.278 | 6406.186 | 2204.691 |
| 2+140 | 0.542 | 0.725 | 2.139 | 8.335 | 6408.325 | 2213.026 |
| 2+159 | 4.230 | 0.000 | 44.517 | 6.765 | 6452.842 | 2219.791 |

| | | | | | | | | | | | | | | | | | | | | |
|-------|-------|-------|--------|--------|----------|----------|-------|-------|-------|--------|--------|----------|----------|-------|-------|-------|--------|--------|----------|----------|
| 1+759 | 0.422 | 0.303 | 0.062 | 0.042 | 5775.420 | 1523.669 | 1+980 | 5.485 | 0.000 | 51.528 | 27.829 | 6266.539 | 1911.791 | 2+159 | 0.737 | 1.753 | 2.278 | 0.678 | 6455.120 | 2220.469 |
| 1+759 | 0.504 | 0.219 | 0.076 | 0.032 | 5775.495 | 1523.701 | 1+986 | 0.008 | 0.141 | 16.579 | 0.426 | 6283.118 | 1912.217 | 2+160 | 0.000 | 1.606 | 0.229 | 0.853 | 6455.349 | 2221.322 |
| 1+760 | 2.314 | 0.000 | 1.858 | 0.144 | 5777.353 | 1523.846 | 1+988 | 0.000 | 1.070 | 0.006 | 1.173 | 6283.124 | 1913.391 | 2+160 | 0.000 | 0.945 | 0.000 | 0.372 | 6455.349 | 2221.694 |
| 1+780 | 0.771 | 0.008 | 30.852 | 0.078 | 5808.205 | 1523.924 | 1+990 | 2.392 | 0.000 | 2.177 | 1.031 | 6285.301 | 1914.422 | 2+180 | 0.000 | 4.269 | 0.000 | 51.373 | 6455.349 | 2273.066 |
| 1+791 | 1.840 | 0.000 | 13.825 | 0.041 | 5822.030 | 1523.966 | 1+995 | 8.118 | 0.000 | 27.866 | 0.000 | 6313.168 | 1914.422 | 2+182 | 0.000 | 5.241 | 0.000 | 7.179 | 6455.349 | 2280.245 |
| 1+792 | 2.159 | 0.000 | 1.796 | 0.000 | 5823.826 | 1523.966 | 2+005 | 0.000 | 1.234 | 39.642 | 6.026 | 6352.809 | 1920.448 | 2+182 | 0.000 | 4.803 | 0.000 | 2.343 | 6455.349 | 2282.588 |
| 1+792 | 1.334 | 0.000 | 1.552 | 0.000 | 5825.378 | 1523.966 | 2+005 | 0.000 | 1.365 | 0.000 | 0.300 | 6352.809 | 1920.747 | 2+182 | 0.000 | 3.911 | 0.000 | 2.019 | 6455.349 | 2284.607 |
| 1+800 | 0.022 | 0.532 | 5.043 | 1.977 | 5830.420 | 1525.943 | 2+006 | 0.000 | 0.910 | 0.000 | 0.639 | 6352.809 | 1921.386 | 2+200 | 0.160 | 0.197 | 1.407 | 36.039 | 6456.755 | 2320.646 |
| 1+800 | 0.021 | 0.532 | 0.002 | 0.076 | 5830.423 | 1526.019 | 2+006 | 0.674 | 0.083 | 0.305 | 0.375 | 6353.114 | 1921.761 | 2+211 | 0.000 | 6.959 | 0.913 | 40.762 | 6457.668 | 2361.408 |
| 1+801 | 0.018 | 0.365 | 0.017 | 0.518 | 5830.440 | 1526.536 | 2+020 | 0.031 | 0.296 | 4.798 | 2.579 | 6357.912 | 1924.340 | 2+211 | 0.000 | 6.946 | 0.000 | 0.601 | 6457.668 | 2362.009 |
| 1+802 | 0.084 | 0.199 | 0.060 | 0.354 | 5830.500 | 1526.890 | 2+021 | 0.610 | 0.748 | 0.374 | 0.609 | 6358.286 | 1924.949 | 2+212 | 0.000 | 6.910 | 0.000 | 0.599 | 6457.668 | 2362.608 |
| 1+816 | 0.000 | 4.607 | 0.587 | 33.610 | 5831.088 | 1560.500 | 2+022 | 0.180 | 0.689 | 0.217 | 0.319 | 6358.502 | 1925.268 | 2+220 | 1.762 | 0.000 | 7.431 | 29.152 | 6465.099 | 2391.759 |
| 1+817 | 0.000 | 4.711 | 0.000 | 4.843 | 5831.088 | 1565.344 | 2+022 | 0.493 | 0.647 | 0.146 | 0.332 | 6358.648 | 1925.600 | 2+234 | 0.000 | 4.178 | 12.384 | 29.368 | 6477.483 | 2421.128 |
| 1+818 | 0.000 | 3.555 | 0.000 | 4.269 | 5831.088 | 1569.613 | 2+040 | 0.043 | 1.639 | 4.789 | 20.428 | 6363.437 | 1946.027 | 2+235 | 0.000 | 4.584 | 0.000 | 2.827 | 6477.483 | 2423.955 |
| 1+825 | 2.499 | 0.000 | 8.318 | 11.835 | 5839.406 | 1581.448 | 2+045 | 0.000 | 5.179 | 0.115 | 18.216 | 6363.552 | 1964.243 | 2+235 | 0.000 | 4.681 | 0.000 | 1.308 | 6477.483 | 2425.263 |
| 1+843 | 0.880 | 3.725 | 30.244 | 33.336 | 5869.650 | 1614.784 | 2+046 | 0.000 | 5.323 | 0.000 | 2.291 | 6363.552 | 1966.534 | 2+235 | 0.000 | 4.593 | 0.000 | 1.688 | 6477.483 | 2426.951 |
| 1+843 | 0.509 | 2.833 | 0.351 | 1.291 | 5870.001 | 1616.075 | 2+046 | 0.000 | 5.017 | 0.000 | 2.253 | 6363.552 | 1968.787 | 2+240 | 0.000 | 3.557 | 0.000 | 18.876 | 6477.483 | 2445.827 |
| 1+844 | 0.334 | 0.852 | 0.194 | 0.753 | 5870.195 | 1616.828 | 2+060 | 0.000 | 4.239 | 0.000 | 63.740 | 6363.552 | 2032.527 | 2+247 | 0.000 | 2.059 | 0.000 | 18.808 | 6477.483 | 2464.635 |
| 1+860 | 0.000 | 1.653 | 2.712 | 20.348 | 5872.907 | 1637.176 | 2+078 | 0.000 | 3.917 | 0.000 | 73.978 | 6363.552 | 2106.504 | 2+247 | 0.000 | 1.991 | 0.000 | 1.158 | 6477.483 | 2465.792 |
| 1+873 | 0.006 | 6.118 | 0.037 | 51.152 | 5872.944 | 1688.328 | 2+079 | 0.000 | 3.816 | 0.000 | 3.850 | 6363.552 | 2110.355 | 2+248 | 0.000 | 1.628 | 0.000 | 1.027 | 6477.483 | 2466.819 |

Fuente: Elaboración propia

| TABLA DE MOVIMIENTO DE TIERRAS | | | | | | |
|--------------------------------|---------------------------|---------------------------|---------------------------|---------------------------|----------------------------|----------------------------|
| Progresiva | Á.C. (m ²) | Á.R. (m ²) | V.C. (m ³) | V.R. (m ³) | V.C.A (m ³) | V.R.A (m ³) |
| 1+688 | 2.238 | 0.000 | 29.478 | 0.000 | 5662.455 | 1370.672 |
| 1+688 | 2.596 | 0.000 | 0.254 | 0.000 | 5662.709 | 1370.672 |
| 1+688 | 2.960 | 0.000 | 0.293 | 0.000 | 5663.002 | 1370.672 |
| 1+698 | 5.065 | 0.000 | 42.901 | 0.000 | 5705.904 | 1370.672 |
| 1+699 | 5.536 | 0.000 | 2.936 | 0.000 | 5708.84 | 1370.672 |
| 1+700 | 5.240 | 0.000 | 2.966 | 0.000 | 5711.805 | 1370.672 |
| 1+705 | 0.041 | 3.560 | 14.229 | 9.592 | 5726.034 | 1380.264 |
| 1+720 | 0.000 | 7.922 | 0.31 | 86.115 | 5726.344 | 1466.380 |
| 1+729 | 1.159 | 0.224 | 5.489 | 38.575 | 5731.832 | 1504.955 |
| 1+730 | 1.615 | 0.225 | 0.494 | 0.102 | 5732.326 | 1505.056 |
| 1+730 | 1.824 | 0.199 | 0.24 | 0.038 | 5732.566 | 1505.094 |
| 1+730 | 2.200 | 0.136 | 0.431 | 0.046 | 5732.997 | 1505.140 |
| 1+737 | 0.000 | 1.303 | 7.834 | 5.122 | 5740.832 | 1510.262 |
| 1+739 | 0.958 | 0.089 | 0.758 | 1.077 | 5741.59 | 1511.340 |
| 1+740 | 0.000 | 1.050 | 0.63 | 0.619 | 5742.22 | 1511.959 |
| 1+740 | 0.000 | 1.640 | 0.000 | 0.309 | 5742.22 | 1512.268 |
| 1+751 | 4.704 | 0.000 | 25.610 | 8.926 | 5767.83 | 1521.194 |
| 1+752 | 1.400 | 0.139 | 3.272 | 0.092 | 5771.101 | 1521.286 |
| 1+753 | 0.906 | 0.399 | 1.125 | 0.349 | 5772.226 | 1521.634 |
| 1+758 | 0.336 | 0.391 | 3.132 | 1.993 | 5775.357 | 1523.627 |
| 1+759 | 0.422 | 0.303 | 0.062 | 0.042 | 5775.420 | 1523.669 |

| TABLA DE MOVIMIENTO DE TIERRAS | | | | | | |
|--------------------------------|---------------------------|---------------------------|---------------------------|---------------------------|----------------------------|----------------------------|
| Progresiva | Á.C. (m ²) | Á.R. (m ²) | V.C. (m ³) | V.R. (m ³) | V.C.A (m ³) | V.R.A (m ³) |
| 1+873 | 0.000 | 6.262 | 0.000 | 0.297 | 5872.944 | 1688.626 |
| 1+873 | 0.000 | 6.390 | 0.000 | 0.304 | 5872.944 | 1688.929 |
| 1+880 | 6.107 | 0.000 | 20.577 | 21.532 | 5893.52 | 1710.462 |
| 1+886 | 0.000 | 8.024 | 18.313 | 24.062 | 5911.834 | 1734.524 |
| 1+887 | 0.000 | 4.961 | 0.000 | 4.605 | 5911.834 | 1739.129 |
| 1+887 | 2.994 | 0.136 | 0.915 | 1.847 | 5912.748 | 1740.976 |
| 1+900 | 0.000 | 6.923 | 18.939 | 44.661 | 5931.688 | 1785.636 |
| 1+901 | 0.000 | 7.759 | 0.000 | 6.540 | 5931.688 | 1792.177 |
| 1+901 | 0.000 | 6.024 | 0.000 | 3.656 | 5931.688 | 1795.833 |
| 1+902 | 0.000 | 3.572 | 0.000 | 2.529 | 5931.688 | 1798.362 |
| 1+920 | 8.021 | 0.000 | 72.400 | 32.240 | 6004.088 | 1830.602 |
| 1+924 | 1.013 | 1.148 | 19.711 | 2.506 | 6023.799 | 1833.108 |
| 1+925 | 0.000 | 3.864 | 0.371 | 1.460 | 6024.17 | 1834.568 |
| 1+925 | 0.000 | 4.270 | 0.000 | 1.892 | 6024.17 | 1836.460 |
| 1+927 | 1.082 | 1.341 | 0.707 | 2.923 | 6024.877 | 1839.383 |
| 1+940 | 10.962 | 0.000 | 80.519 | 8.965 | 6105.396 | 1848.348 |
| 1+960 | 0.000 | 3.180 | 109.616 | 31.799 | 6215.012 | 1880.147 |
| 1+961 | 0.000 | 3.182 | 0.000 | 2.296 | 6215.012 | 1882.443 |
| 1+961 | 0.000 | 3.087 | 0.000 | 0.772 | 6215.012 | 1883.215 |
| 1+961 | 0.000 | 2.962 | 0.000 | 0.747 | 6215.012 | 1883.962 |
| 1+980 | 5.485 | 0.000 | 51.528 | 27.829 | 6266.539 | 1911.791 |

| TABLA DE MOVIMIENTO DE TIERRAS | | | | | | |
|--------------------------------|---------------------------|---------------------------|---------------------------|---------------------------|----------------------------|----------------------------|
| Progresiva | Á.C. (m ²) | Á.R. (m ²) | V.C. (m ³) | V.R. (m ³) | V.C.A (m ³) | V.R.A (m ³) |
| 2+080 | 0.037 | 2.024 | 0.019 | 2.522 | 6363.571 | 2112.877 |
| 2+080 | 0.068 | 1.842 | 0.007 | 0.205 | 6363.578 | 2113.081 |
| 2+084 | 0.000 | 3.454 | 0.145 | 11.215 | 6363.723 | 2124.297 |
| 2+085 | 0.000 | 3.744 | 0.000 | 1.924 | 6363.723 | 2126.221 |
| 2+085 | 0.000 | 3.668 | 0.000 | 0.490 | 6363.723 | 2126.711 |
| 2+085 | 0.000 | 3.373 | 0.000 | 1.380 | 6363.723 | 2128.090 |
| 2+090 | 0.000 | 2.681 | 0.000 | 14.584 | 6363.723 | 2142.674 |
| 2+091 | 0.000 | 3.642 | 0.000 | 1.745 | 6363.723 | 2144.420 |
| 2+091 | 0.000 | 3.262 | 0.000 | 1.905 | 6363.723 | 2146.325 |
| 2+100 | 0.000 | 1.856 | 0.000 | 22.233 | 6363.723 | 2168.558 |
| 2+102 | 0.000 | 4.227 | 0.000 | 5.311 | 6363.723 | 2173.869 |
| 2+103 | 0.000 | 4.106 | 0.000 | 5.395 | 6363.723 | 2179.264 |
| 2+104 | 0.000 | 1.690 | 0.000 | 3.775 | 6363.723 | 2183.039 |
| 2+110 | 5.411 | 0.000 | 15.371 | 4.802 | 6379.094 | 2187.841 |
| 2+120 | 0.004 | 0.392 | 27.073 | 1.959 | 6406.167 | 2189.8 |
| 2+131 | 0.000 | 1.917 | 0.019 | 12.123 | 6406.186 | 2201.923 |
| 2+131 | 0.000 | 1.728 | 0.000 | 1.49 | 6406.186 | 2203.413 |
| 2+132 | 0.000 | 1.385 | 0.000 | 1.278 | 6406.186 | 2204.691 |
| 2+140 | 0.542 | 0.725 | 2.139 | 8.335 | 6408.325 | 2213.026 |
| 2+159 | 4.230 | 0.000 | 44.517 | 6.765 | 6452.842 | 2219.791 |
| 2+159 | 0.737 | 1.753 | 2.278 | 0.678 | 6455.120 | 2220.469 |

| | | | | | | |
|-------|-------|-------|--------|--------|----------|----------|
| 1+759 | 0.504 | 0.219 | 0.076 | 0.032 | 5775.495 | 1523.701 |
| 1+760 | 2.314 | 0.000 | 1.858 | 0.144 | 5777.353 | 1523.846 |
| 1+780 | 0.771 | 0.008 | 30.852 | 0.078 | 5808.205 | 1523.924 |
| 1+791 | 1.840 | 0.000 | 13.825 | 0.041 | 5822.030 | 1523.966 |
| 1+792 | 2.159 | 0.000 | 1.796 | 0.000 | 5823.826 | 1523.966 |
| 1+792 | 1.334 | 0.000 | 1.552 | 0.000 | 5825.378 | 1523.966 |
| 1+800 | 0.022 | 0.532 | 5.043 | 1.977 | 5830.420 | 1525.943 |
| 1+800 | 0.021 | 0.532 | 0.002 | 0.076 | 5830.423 | 1526.019 |
| 1+801 | 0.018 | 0.365 | 0.017 | 0.518 | 5830.440 | 1526.536 |
| 1+802 | 0.084 | 0.199 | 0.060 | 0.354 | 5830.500 | 1526.890 |
| 1+816 | 0.000 | 4.607 | 0.587 | 33.610 | 5831.088 | 1560.500 |
| 1+817 | 0.000 | 4.711 | 0.000 | 4.843 | 5831.088 | 1565.344 |
| 1+818 | 0.000 | 3.555 | 0.000 | 4.269 | 5831.088 | 1569.613 |
| 1+825 | 2.499 | 0.000 | 8.318 | 11.835 | 5839.406 | 1581.448 |
| 1+843 | 0.880 | 3.725 | 30.244 | 33.336 | 5869.650 | 1614.784 |
| 1+843 | 0.509 | 2.833 | 0.351 | 1.291 | 5870.001 | 1616.075 |
| 1+844 | 0.334 | 0.852 | 0.194 | 0.753 | 5870.195 | 1616.828 |
| 1+860 | 0.000 | 1.653 | 2.712 | 20.348 | 5872.907 | 1637.176 |
| 1+873 | 0.006 | 6.118 | 0.037 | 51.152 | 5872.944 | 1688.328 |

| | | | | | | |
|-------|-------|-------|--------|--------|----------|----------|
| 1+986 | 0.008 | 0.141 | 16.579 | 0.426 | 6283.118 | 1912.217 |
| 1+988 | 0.000 | 1.070 | 0.006 | 1.173 | 6283.124 | 1913.391 |
| 1+990 | 2.392 | 0.000 | 2.177 | 1.031 | 6285.301 | 1914.422 |
| 1+995 | 8.118 | 0.000 | 27.866 | 0.000 | 6313.168 | 1914.422 |
| 2+005 | 0.000 | 1.234 | 39.642 | 6.026 | 6352.809 | 1920.448 |
| 2+005 | 0.000 | 1.365 | 0.000 | 0.300 | 6352.809 | 1920.747 |
| 2+006 | 0.000 | 0.910 | 0.000 | 0.639 | 6352.809 | 1921.386 |
| 2+006 | 0.674 | 0.083 | 0.305 | 0.375 | 6353.114 | 1921.761 |
| 2+020 | 0.031 | 0.296 | 4.798 | 2.579 | 6357.912 | 1924.340 |
| 2+021 | 0.610 | 0.748 | 0.374 | 0.609 | 6358.286 | 1924.949 |
| 2+022 | 0.180 | 0.689 | 0.217 | 0.319 | 6358.502 | 1925.268 |
| 2+022 | 0.493 | 0.647 | 0.146 | 0.332 | 6358.648 | 1925.600 |
| 2+040 | 0.043 | 1.639 | 4.789 | 20.428 | 6363.437 | 1946.027 |
| 2+045 | 0.000 | 5.179 | 0.115 | 18.216 | 6363.552 | 1964.243 |
| 2+046 | 0.000 | 5.323 | 0.000 | 2.291 | 6363.552 | 1966.534 |
| 2+046 | 0.000 | 5.017 | 0.000 | 2.253 | 6363.552 | 1968.787 |
| 2+060 | 0.000 | 4.239 | 0.000 | 63.740 | 6363.552 | 2032.527 |
| 2+078 | 0.000 | 3.917 | 0.000 | 73.978 | 6363.552 | 2106.504 |
| 2+079 | 0.000 | 3.816 | 0.000 | 3.850 | 6363.552 | 2110.355 |

| | | | | | | |
|-------|-------|-------|--------|--------|----------|----------|
| 2+160 | 0.000 | 1.606 | 0.229 | 0.853 | 6455.349 | 2221.322 |
| 2+160 | 0.000 | 0.945 | 0.000 | 0.372 | 6455.349 | 2221.694 |
| 2+180 | 0.000 | 4.269 | 0.000 | 51.373 | 6455.349 | 2273.066 |
| 2+182 | 0.000 | 5.241 | 0.000 | 7.179 | 6455.349 | 2280.245 |
| 2+182 | 0.000 | 4.803 | 0.000 | 2.343 | 6455.349 | 2282.588 |
| 2+182 | 0.000 | 3.911 | 0.000 | 2.019 | 6455.349 | 2284.607 |
| 2+200 | 0.160 | 0.197 | 1.407 | 36.039 | 6456.755 | 2320.646 |
| 2+211 | 0.000 | 6.959 | 0.913 | 40.762 | 6457.668 | 2361.408 |
| 2+211 | 0.000 | 6.946 | 0.000 | 0.601 | 6457.668 | 2362.009 |
| 2+212 | 0.000 | 6.910 | 0.000 | 0.599 | 6457.668 | 2362.608 |
| 2+220 | 1.762 | 0.000 | 7.431 | 29.152 | 6465.099 | 2391.759 |
| 2+234 | 0.000 | 4.178 | 12.384 | 29.368 | 6477.483 | 2421.128 |
| 2+235 | 0.000 | 4.584 | 0.000 | 2.827 | 6477.483 | 2423.955 |
| 2+235 | 0.000 | 4.681 | 0.000 | 1.308 | 6477.483 | 2425.263 |
| 2+235 | 0.000 | 4.593 | 0.000 | 1.688 | 6477.483 | 2426.951 |
| 2+240 | 0.000 | 3.557 | 0.000 | 18.876 | 6477.483 | 2445.827 |
| 2+247 | 0.000 | 2.059 | 0.000 | 18.808 | 6477.483 | 2464.635 |
| 2+247 | 0.000 | 1.991 | 0.000 | 1.158 | 6477.483 | 2465.792 |
| 2+248 | 0.000 | 1.628 | 0.000 | 1.027 | 6477.483 | 2466.819 |

Fuente: Elaboración propia

TABLA DE MOVIMIENTO DE TIERRAS

| Progresiva | Á.C. (m ²) | Á.R. (m ²) | V.C. (m ³) | V.R. (m ³) | V.C.A (m ³) | V.R.A (m ³) |
|------------|------------------------|------------------------|------------------------|------------------------|-------------------------|-------------------------|
| 3+490 | 0.000 | 1.653 | 12.979 | 7.980 | 9736.268 | 3599.26 |
| 3+490 | 0.000 | 1.826 | 0.000 | 0.372 | 9736.268 | 3599.63 |
| 3+490 | 0.000 | 1.927 | 0.000 | 0.276 | 9736.268 | 3599.91 |
| 3+490 | 0.000 | 1.967 | 0.000 | 0.125 | 9736.268 | 3600.03 |
| 3+500 | 0.020 | 0.817 | 0.101 | 13.833 | 9736.369 | 3613.86 |
| 3+510 | 1.630 | 0.000 | 8.108 | 4.016 | 9744.478 | 3617.88 |
| 3+510 | 1.439 | 0.019 | 0.245 | 0.002 | 9744.722 | 3617.88 |
| 3+511 | 0.939 | 0.205 | 1.588 | 0.201 | 9746.31 | 3618.08 |
| 3+513 | 1.408 | 0.000 | 1.824 | 0.205 | 9748.134 | 3618.29 |
| 3+520 | 2.267 | 0.000 | 12.638 | 0.000 | 9760.772 | 3618.29 |
| 3+527 | 0.467 | 0.075 | 9.145 | 0.250 | 9769.917 | 3618.54 |
| 3+528 | 0.067 | 0.493 | 0.279 | 0.400 | 9770.195 | 3618.94 |
| 3+529 | 0.066 | 0.471 | 0.063 | 0.672 | 9770.259 | 3619.61 |
| 3+535 | 1.165 | 0.000 | 3.403 | 1.302 | 9773.661 | 3620.91 |
| 3+535 | 1.028 | 0.000 | 0.386 | 0.000 | 9774.047 | 3620.91 |
| 3+535 | 0.835 | 0.000 | 0.114 | 0.000 | 9774.161 | 3620.91 |
| 3+536 | 0.690 | 0.000 | 0.354 | 0.000 | 9774.514 | 3620.91 |
| 3+540 | 1.851 | 0.000 | 5.641 | 0.000 | 9780.155 | 3620.91 |
| 3+554 | 2.776 | 0.000 | 31.380 | 0.000 | 9811.535 | 3620.91 |
| 3+554 | 3.062 | 0.000 | 0.842 | 0.000 | 9812.377 | 3620.91 |
| 3+554 | 3.446 | 0.000 | 0.941 | 0.000 | 9813.318 | 3620.91 |
| 3+560 | 6.228 | 0.000 | 28.275 | 0.000 | 9841.593 | 3620.91 |
| 3+574 | 6.175 | 0.000 | 89.864 | 0.000 | 9931.457 | 3620.91 |
| 3+575 | 2.469 | 0.000 | 2.220 | 0.000 | 9933.676 | 3620.91 |

TABLA DE MOVIMIENTO DE TIERRAS

| Progresiva | Á.C. (m ²) | Á.R. (m ²) | V.C. (m ³) | V.R. (m ³) | V.C.A (m ³) | V.R.A (m ³) |
|------------|------------------------|------------------------|------------------------|------------------------|-------------------------|-------------------------|
| 3+832 | 6.086 | 0.000 | 83.127 | 0.000 | 11725.079 | 3629.64 |
| 3+833 | 5.983 | 0.000 | 3.650 | 0.000 | 11728.73 | 3629.64 |
| 3+833 | 5.925 | 0.000 | 3.594 | 0.000 | 11732.32 | 3629.64 |
| 3+840 | 11.584 | 0.000 | 57.627 | 0.000 | 11789.95 | 3629.64 |
| 3+850 | 4.314 | 0.000 | 77.645 | 0.000 | 11867.6 | 3629.64 |
| 3+850 | 4.083 | 0.000 | 0.935 | 0.000 | 11868.53 | 3629.64 |
| 3+851 | 3.808 | 0.000 | 2.886 | 0.000 | 11871.42 | 3629.64 |
| 3+852 | 5.718 | 0.000 | 4.626 | 0.000 | 11876.04 | 3629.64 |
| 3+860 | 12.259 | 0.000 | 73.968 | 0.000 | 11950.01 | 3629.64 |
| 3+878 | 5.875 | 0.000 | 159.549 | 0.000 | 12109.56 | 3629.64 |
| 3+879 | 6.054 | 0.000 | 9.060 | 0.000 | 12118.62 | 3629.64 |
| 3+880 | 5.520 | 0.000 | 5.032 | 0.000 | 12123.65 | 3629.64 |
| 3+881 | 5.215 | 0.000 | 3.524 | 0.000 | 12127.18 | 3629.64 |
| 3+887 | 6.670 | 0.000 | 34.788 | 0.000 | 12161.96 | 3629.64 |
| 3+887 | 6.583 | 0.000 | 0.752 | 0.000 | 12162.72 | 3629.64 |
| 3+887 | 6.503 | 0.000 | 0.741 | 0.000 | 12163.46 | 3629.64 |
| 3+894 | 4.048 | 0.000 | 36.747 | 0.000 | 12200.2 | 3629.64 |
| 3+894 | 4.819 | 0.000 | 2.192 | 0.000 | 12202.4 | 3629.64 |
| 3+895 | 5.857 | 0.000 | 2.664 | 0.000 | 12205.06 | 3629.64 |
| 3+900 | 12.851 | 0.000 | 49.829 | 0.000 | 12254.89 | 3629.64 |
| 3+917 | 0.420 | 0.094 | 113.506 | 0.803 | 12368.39 | 3630.44 |
| 3+917 | 0.356 | 0.182 | 0.106 | 0.046 | 12368.5 | 3630.49 |
| 3+918 | 0.746 | 0.000 | 0.14 | 0.033 | 12368.64 | 3630.52 |
| 3+920 | 4.168 | 0.000 | 5.608 | 0.001 | 12374.25 | 3630.52 |

TABLA DE MOVIMIENTO DE TIERRAS

| Progresiva | Á.C. (m ²) | Á.R. (m ²) | V.C. (m ³) | V.R. (m ³) | V.C.A (m ³) | V.R.A (m ³) |
|------------|------------------------|------------------------|------------------------|------------------------|-------------------------|-------------------------|
| 4+025 | 0.000 | 3.587 | 0.000 | 0.701 | 12644.875 | 3743.82 |
| 4+026 | 0.000 | 5.770 | 0.000 | 6.800 | 12644.875 | 3750.62 |
| 4+038 | 0.000 | 2.374 | 0.000 | 48.471 | 12644.875 | 3799.09 |
| 4+039 | 0.000 | 2.357 | 0.000 | 0.488 | 12644.875 | 3799.58 |
| 4+039 | 0.000 | 2.345 | 0.000 | 0.484 | 12644.875 | 3800.06 |
| 4+040 | 0.000 | 2.358 | 0.000 | 2.871 | 12644.875 | 3802.93 |
| 4+057 | 0.000 | 2.908 | 0.000 | 43.682 | 12644.875 | 3846.61 |
| 4+057 | 0.000 | 3.090 | 0.000 | 0.596 | 12644.875 | 3847.21 |
| 4+057 | 0.000 | 3.204 | 0.000 | 0.628 | 12644.875 | 3847.84 |
| 4+060 | 0.000 | 4.493 | 0.000 | 11.584 | 12644.875 | 3859.42 |
| 4+076 | 0.000 | 8.391 | 0.000 | 104.98 | 12644.875 | 3964.41 |
| 4+076 | 0.000 | 8.447 | 0.000 | 0.668 | 12644.875 | 3965.08 |
| 4+076 | 0.000 | 8.447 | 0.000 | 0.668 | 12644.875 | 3965.75 |
| 4+080 | 0.000 | 4.427 | 0.000 | 22.850 | 12644.875 | 3988.60 |
| 4+100 | 0.000 | 8.221 | 0.000 | 126.47 | 12644.875 | 4115.07 |
| 4+119 | 0.000 | 8.830 | 0.000 | 164.42 | 12644.875 | 4279.50 |
| 4+119 | 0.000 | 8.767 | 0.000 | 0.599 | 12644.875 | 4280.10 |
| 4+119 | 0.000 | 8.687 | 0.000 | 0.594 | 12644.875 | 4280.69 |
| 4+120 | 0.000 | 8.001 | 0.000 | 4.802 | 12644.875 | 4285.49 |
| 4+140 | 0.000 | 8.658 | 0.000 | 166.58 | 12644.875 | 4452.08 |
| 4+143 | 0.000 | 4.27 | 0.000 | 16.213 | 12644.875 | 4468.29 |
| 4+143 | 0.000 | 3.958 | 0.000 | 1.476 | 12644.875 | 4469.77 |
| 4+143 | 0.000 | 3.662 | 0.000 | 1.368 | 12644.875 | 4471.13 |
| 4+160 | 0.749 | 0.191 | 6.289 | 32.348 | 12651.164 | 4503.48 |

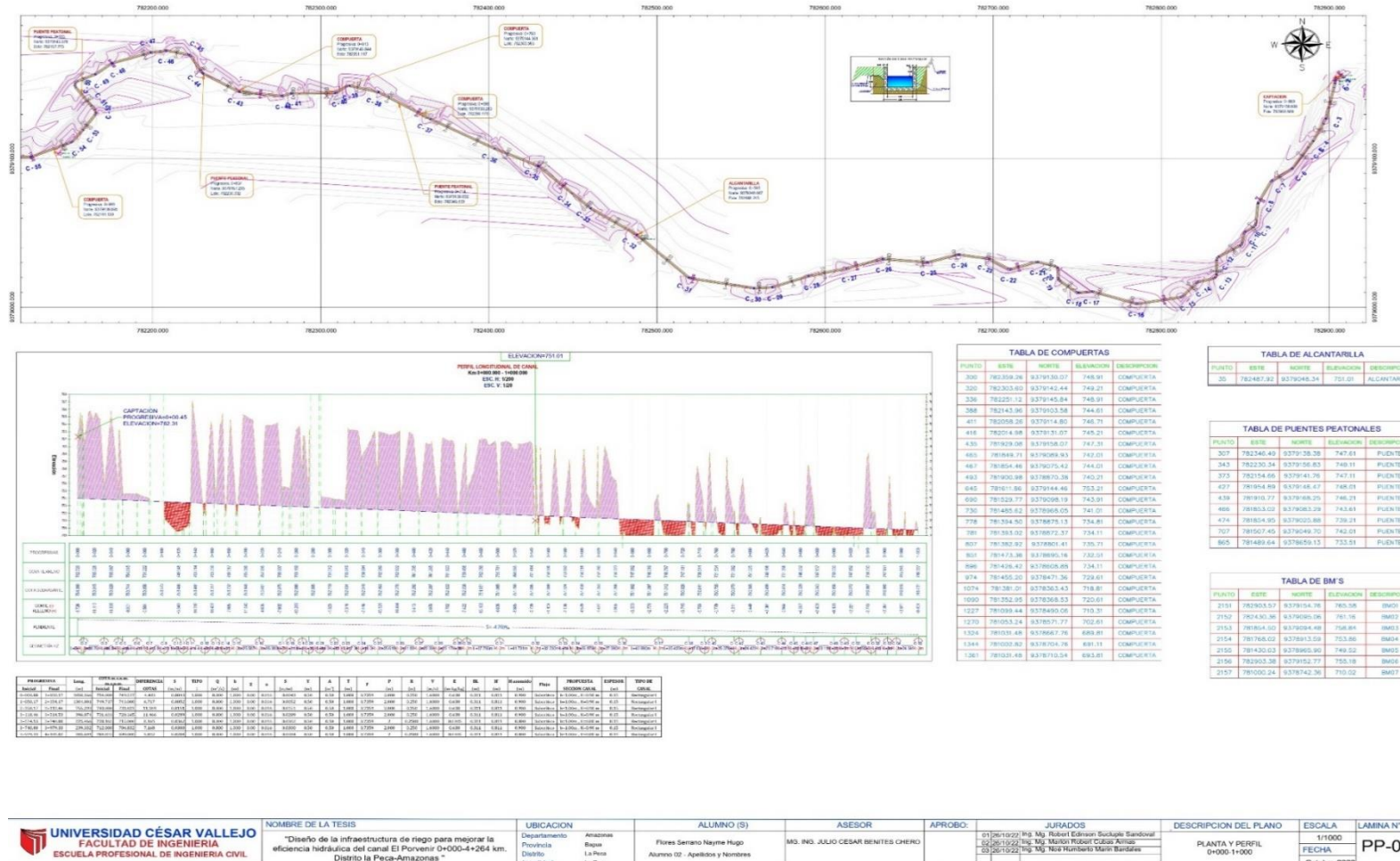
| | | | | | | |
|-------|-------|-------|--------|-------|----------|---------|
| 3+575 | 0.713 | 0.018 | 0.616 | 0.003 | 9934.292 | 3620.91 |
| 3+576 | 2.382 | 0.000 | 1.424 | 0.007 | 9935.716 | 3620.92 |
| 3+580 | 5.096 | 0.000 | 13.926 | 0.000 | 9949.642 | 3620.92 |
| 3+592 | 0.699 | 0.000 | 34.433 | 0.000 | 9984.076 | 3620.92 |
| 3+592 | 0.568 | 0.000 | 0.160 | 0.000 | 9984.236 | 3620.92 |
| 3+592 | 0.560 | 0.000 | 0.141 | 0.000 | 9984.377 | 3620.92 |
| 3+600 | 4.314 | 0.000 | 18.464 | 0.000 | 10002.84 | 3620.92 |
| 3+610 | 3.075 | 0.000 | 35.621 | 0.000 | 10038.46 | 3620.92 |
| 3+610 | 2.620 | 0.113 | 1.000 | 0.026 | 10039.46 | 3620.95 |
| 3+610 | 2.367 | 0.361 | 0.598 | 0.075 | 10040.06 | 3621.02 |
| 3+611 | 2.735 | 0.042 | 1.468 | 0.153 | 10041.53 | 3621.17 |
| 3+620 | 4.663 | 0.000 | 33.785 | 0.193 | 10075.31 | 3621.37 |
| 3+635 | 0.045 | 0.848 | 34.426 | 6.197 | 10109.74 | 3627.56 |
| 3+635 | 0.041 | 0.821 | 0.011 | 0.153 | 10109.75 | 3627.72 |
| 3+635 | 0.036 | 0.742 | 0.008 | 0.118 | 10109.76 | 3627.83 |
| 3+635 | 0.034 | 0.716 | 0.001 | 0.027 | 10109.76 | 3627.86 |

| | | | | | | |
|-------|--------|-------|---------|-------|----------|---------|
| 3+940 | 0.000 | 0.589 | 41.682 | 5.888 | 12415.93 | 3636.41 |
| 3+942 | 0.000 | 0.584 | 0.000 | 1.46 | 12415.93 | 3637.87 |
| 3+943 | 0.000 | 0.569 | 0.000 | 0.127 | 12415.93 | 3638.00 |
| 3+943 | 0.000 | 0.547 | 0.000 | 0.123 | 12415.93 | 3638.12 |
| 3+960 | 1.474 | 0.000 | 12.596 | 4.674 | 12428.53 | 3642.79 |
| 3+978 | 0.268 | 0.085 | 15.911 | 0.773 | 12444.44 | 3643.56 |
| 3+980 | 0.000 | 1.394 | 0.272 | 1.327 | 12444.71 | 3644.89 |
| 3+981 | 0.000 | 1.636 | 0.000 | 0.969 | 12444.71 | 3645.86 |
| 3+983 | 4.084 | 0.000 | 4.596 | 2.009 | 12449.31 | 3647.87 |
| 3+992 | 0.000 | 6.695 | 17.907 | 29.35 | 12467.21 | 3677.22 |
| 3+992 | 0.000 | 5.748 | 0.000 | 1.417 | 12467.21 | 3678.64 |
| 3+992 | 0.000 | 4.382 | 0.000 | 1.133 | 12467.21 | 3679.77 |
| 4+000 | 12.771 | 0.000 | 49.955 | 14.14 | 12517.17 | 3696.91 |
| 4+020 | 0.000 | 3.267 | 127.707 | 32.67 | 12644.88 | 3729.59 |
| 4+023 | 0.000 | 2.402 | 0.000 | 8.854 | 12644.88 | 3738.44 |
| 4+025 | 0.000 | 3.297 | 0.000 | 4.676 | 12644.88 | 3743.12 |

| | | | | | | |
|-------|---------|-------|---------|-------|-----------|---------|
| 4+164 | 0.255 | 0.753 | 2.162 | 2.031 | 12653.326 | 4505.51 |
| 4+165 | 0.002 | 2.048 | 0.071 | 1.084 | 12653.397 | 4506.60 |
| 4+167 | 0.000 | 2.966 | 0.002 | 5.082 | 12653.399 | 4511.68 |
| 4+169 | 1.392 | 0.254 | 1.526 | 4.484 | 12654.925 | 4516.16 |
| 4+180 | 16.596 | 0.000 | 94.978 | 1.343 | 12749.903 | 4517.51 |
| 4+188 | 903.034 | 0.000 | 3895.29 | 0.000 | 16645.199 | 4517.51 |

Fuente: Elaboración propia

Anexo 04:



UNIVERSIDAD CÉSAR VALLEJO
FACULTAD DE INGENIERÍA
ESCUELA PROFESIONAL DE INGENIERIA CIVIL

NOMBRE DE LA TESIS

"Diseño de la infraestructura de riego para mejorar la eficiencia hidráulica del canal El Poveren 0+000-4+264 km. Distrito la Peca-Amazonas"

UBICACION

Departamento
Provincia
Distrito
Localidad

ALUMNO (S)

Flóres Sereno Nayme Hugo
Alumno 02 - Apellidos y Nombres

ASESOR

M3. ING. JULIO CESAR BENITES CHERO

APROBO:

01/09/2022 Ing. M. Julian Robles Cubas Arribas

JURADOS

02/05/2022 Ing. Mg. Marlon Robert Cubas Arribas
03/05/2022 Ing. Mg. Noé Humberto Martín Bandales

DESCRIPCION DEL PLANO
PLANTA Y PERFIL
FECHA
Octubre 2022

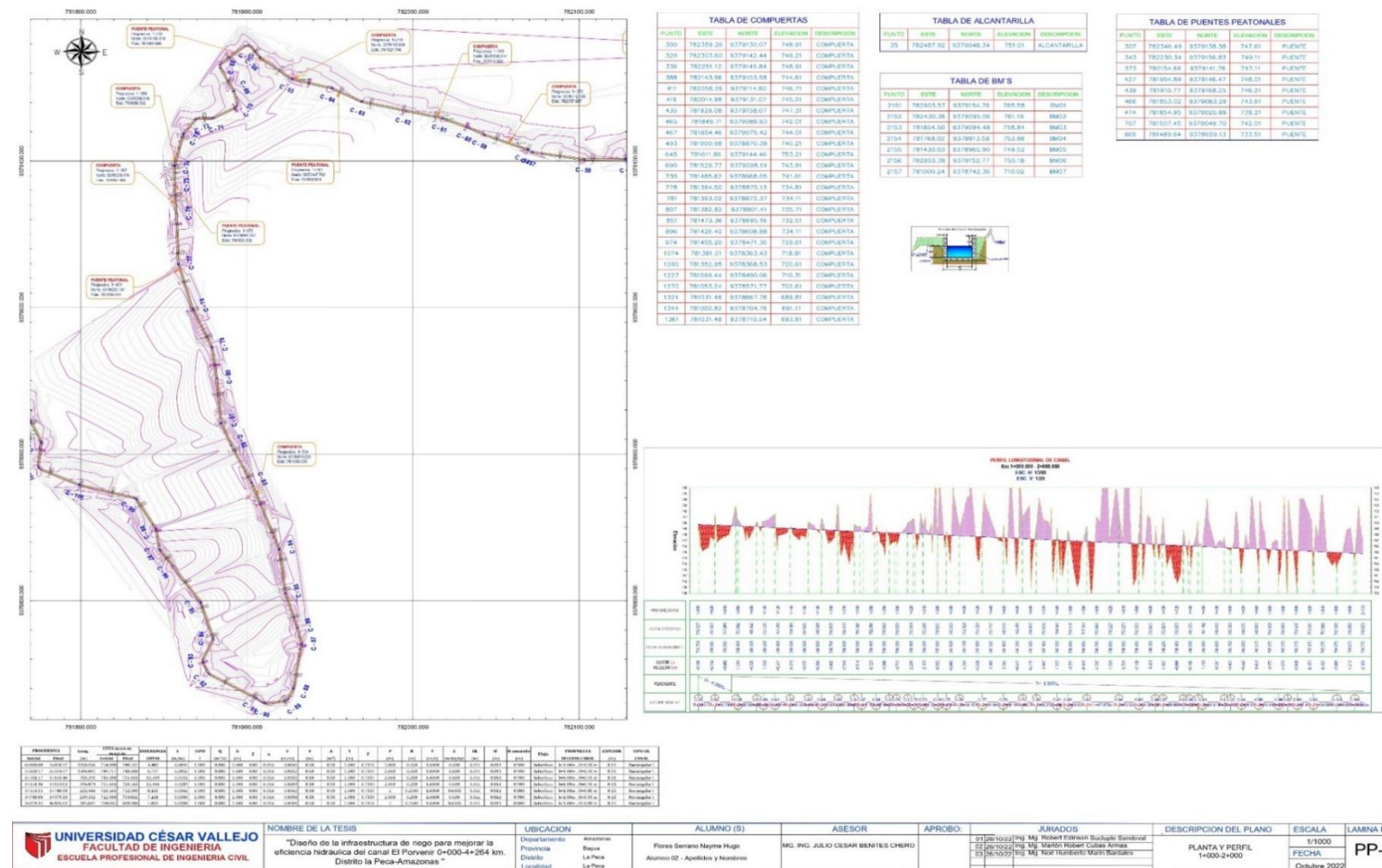
1/1000

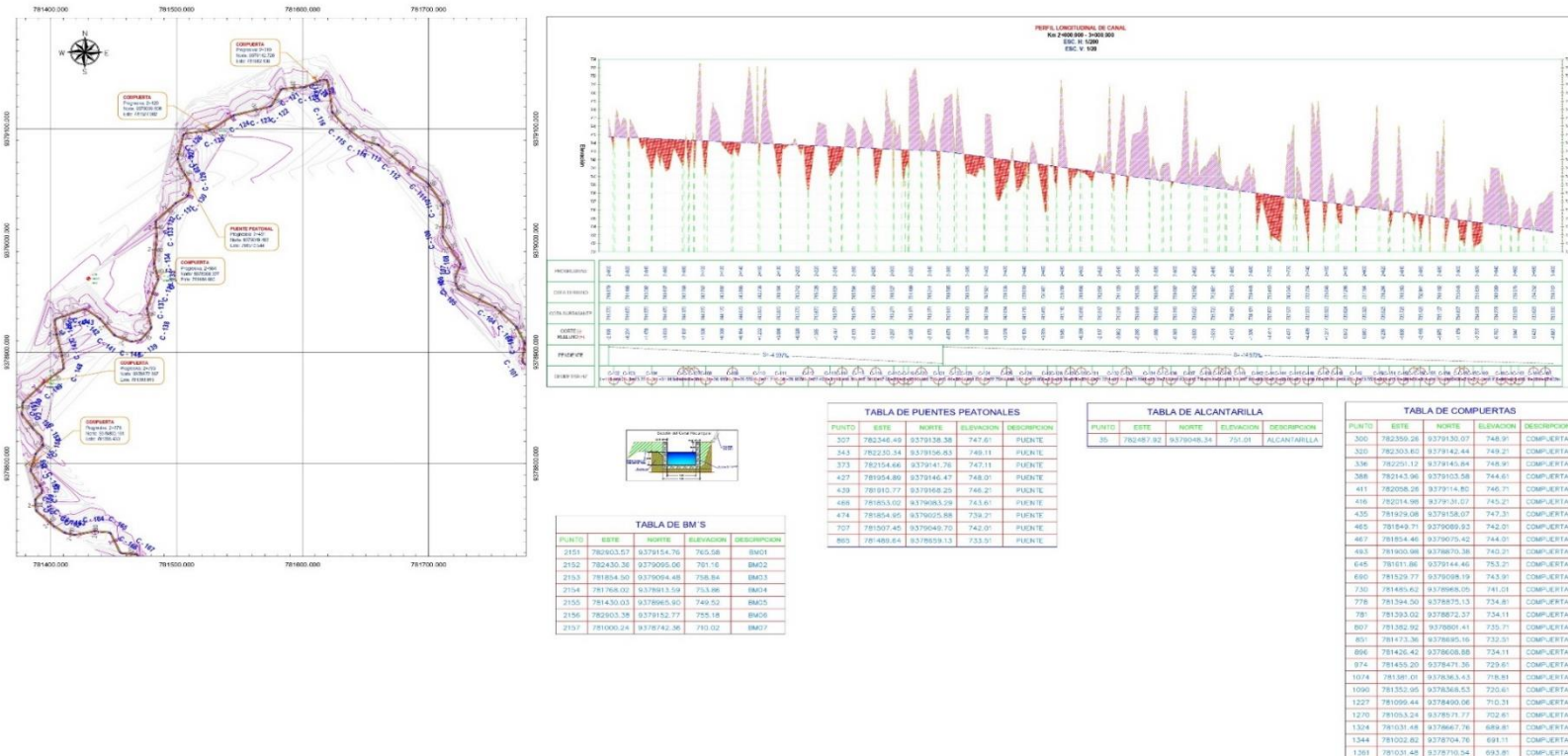
PP-01

LAMINA N°

Figura 06: Plano de planta y perfil

Fuente: Elaboración propia





| NOMBRE DE LA TESIS | | UBICACION | ALUMNO (S) | ASESOR | APROBO: | JURADOS | DESCRIPCION DEL PLANO | ESCALA | LAMINA N° |
|-----------------------------------------------------------------------------------------------------------------------------------------------|--|---------------------------------------------------------------------------------------|-----------------------------------------------------------------------------|------------------------------------|-----------------------------------------------------------------------------------------------------------------------------------------------------|-------------------------------|----------------------------------|--------|-----------|
| “Diseño de la infraestructura de riego para mejorar la eficiencia hidráulica del canal El Pionero” ESCUOLA PROFESIONAL DE INGENIERIA CIVIL | | Departamento: Amazonas Provincia: Bajío Distrito: La Peña Localidad: La Peña | Alfonso Ospina Flores Serrano Nayme Hugo Alumno 02 - Apellidos y Nombres | MG. ING. JULIO CESAR BENITES CHERO | 01/26/1927 Ing. Mg. Ricardo Edinson Sandoval 02/26/1927 Ing. Mg. Matías Robert Cobres Armas 03/26/1927 Ing. Mg. Matías Huancaíra Mora Sánchez | PLANTA Y PERIF 2-050-3-000 | 1:1000 FECHA: Octubre 2022 | PP-3 | |

Figura 08: Planta y perfil

Fuente: Elaboración propia

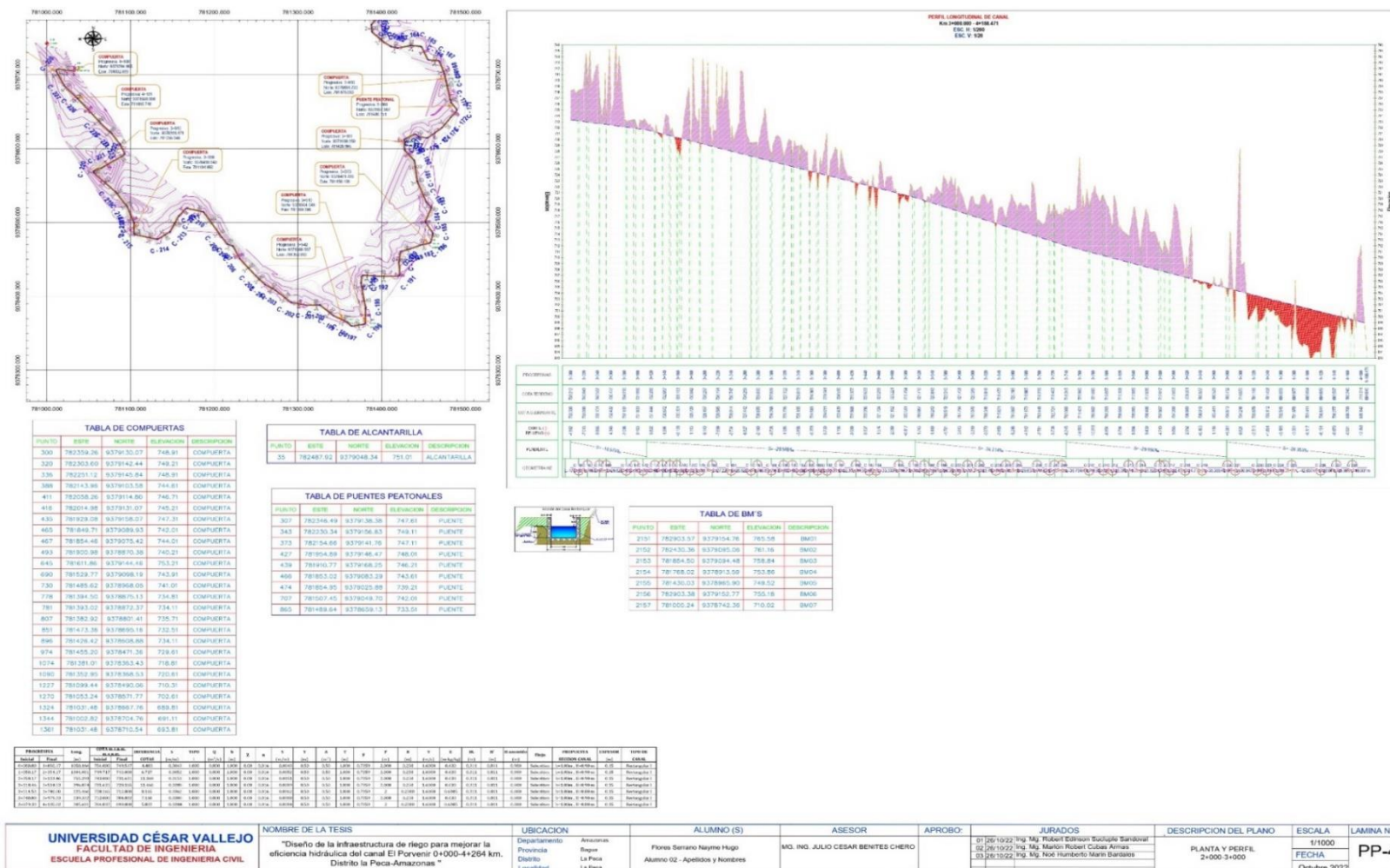


Figura 09: Planta y perfil

Fuente: Elaboración propia

Anexo 05: Revestimiento de Canal

| REVESTIMIENTO DE CANAL | | | |
|------------------------|------|---------|----------|
| PROGRESIVA | AREA | VOLUMEN | VOL.ACUM |
| 0+000.00 | 0.47 | 0.00 | 0.00 |
| 0+003.58 | 0.47 | 1.66 | 1.66 |
| 0+004.59 | 0.47 | 0.47 | 2.13 |
| 0+005.00 | 0.47 | 0.19 | 2.33 |
| 0.005.59 | 0.47 | 0.28 | 2.50 |
| 0+007.00 | 0.47 | 0.65 | 5.25 |
| 0.007.17 | 0.47 | 0.08 | 3.33 |
| 0.007.34 | 0.47 | 0.08 | 3.41 |
| 0.020.00 | 0.47 | 5.89 | 0.30 |
| 0.031.10 | 0.47 | 5.18 | 14.46 |
| 0.031.46 | 0.47 | 0.17 | 14.63 |
| 0.031.82 | 0.47 | 0.17 | 14.80 |
| 0.040.00 | 0.47 | 3.80 | 18.60 |
| 0.048.12 | 0.47 | 3.78 | 22.38 |
| 0.048.31 | 0.47 | 0.09 | 22.46 |
| 0+048.49 | 0.47 | 0.09 | 22.55 |
| 0+053.62 | 0.47 | 2.39 | 24.34 |
| 0.053.64 | 0.47 | 0.01 | 24.94 |
| 0+053.66 | 0.47 | 0.01 | 24.95 |
| 0+060.00 | 0.47 | 2.95 | 27.90 |

| REVESTIMIENTO DE CANAL | | | |
|------------------------|------|---------|----------|
| PROGRESIVA | AREA | VOLUMEN | VOL.ACUM |
| 0+070.16 | 0.47 | 4.72 | 32.62 |
| 0+070.74 | 0.47 | 0.27 | 32.89 |
| 0+071.31 | 0.47 | 0.27 | 33.16 |
| 0+080.00 | 0.47 | 4.04 | 37.20 |
| 0+084.87 | 0.47 | 2.25 | 39.46 |
| 0+085.00 | 0.47 | 0.06 | 39.53 |
| 0+085.58 | 0.47 | 0.27 | 39.79 |
| 0+086.29 | 0.47 | 0.33 | 40.12 |
| 0+100.00 | 0.47 | 6.38 | 46.50 |
| 0+102.10 | 0.47 | 0.98 | 47.48 |
| 0+102.68 | 0.47 | 0.27 | 47.75 |
| 0+103.25 | 0.47 | 0.27 | 48.01 |
| 0+116.36 | 0.47 | 8.09 | 54.11 |
| 0+117.62 | 0.47 | 0.59 | 54.69 |
| 0+118.89 | 0.47 | 0.59 | 55.28 |
| 0+124.53 | 0.47 | 2.52 | 57.91 |
| 0+125.00 | 0.47 | 0.22 | 58.13 |
| 0+125.70 | 0.47 | 0.32 | 58.45 |
| 0+126.87 | 0.47 | 0.54 | 58.99 |
| 0+132.71 | 0.47 | 2.72 | 61.71 |

| REVESTIMIENTO DE CANAL | | | |
|------------------------|------|---------|----------|
| PROGRESIVA | AREA | VOLUMEN | VOL.ACUM |
| 0+133.98 | 0.47 | 0.59 | 62.30 |
| 0+135.00 | 0.47 | 0.47 | 62.78 |
| 0+135.25 | 0.47 | 0.12 | 62.90 |
| 0+140.00 | 0.47 | 2.20 | 65.10 |
| 0+149.57 | 0.47 | 4.50 | 69.60 |
| 0+150.00 | 0.47 | 0.15 | 69.75 |
| 0+151.17 | 0.47 | 0.54 | 70.29 |
| 0+152.67 | 0.47 | 0.70 | 70.99 |
| 0+150.00 | 0.47 | 3.41 | 74.40 |
| 0+152.28 | 0.47 | 1.06 | 75.46 |
| 0+164.17 | 0.47 | 0.88 | 76.34 |
| 0+165.00 | 0.47 | 0.38 | 76.73 |
| 0+166.05 | 0.47 | 0.49 | 77.22 |
| 0+175.04 | 0.47 | 4.17 | 81.39 |
| 0+175.88 | 0.47 | 0.39 | 81.78 |
| 0+176.72 | 0.47 | 0.39 | 82.17 |
| 0+180.00 | 0.47 | 1.53 | 83.70 |
| 0+188.19 | 0.47 | 3.81 | 87.51 |
| 0+189.15 | 0.47 | 0.45 | 87.96 |
| 0+190.00 | 0.47 | 0.39 | 88.35 |

| REVESTIMIENTO DE CANAL | | | |
|------------------------|------|---------|----------|
| PROGRESIVA | AREA | VOLUMEN | VOL.ACUM |
| 0+812.59 | 0.47 | 0.27 | 373.20 |
| 0+813.18 | 0.47 | 0.27 | 373.48 |
| 0+820.00 | 0.47 | 3.17 | 376.65 |
| 0+836.90 | 0.47 | 7.86 | 384.50 |
| 0+837.63 | 0.47 | 0.34 | 384.84 |
| 0+838.36 | 0.47 | 0.34 | 385.18 |
| 0+840.00 | 0.47 | 0.76 | 385.95 |
| 0+850.86 | 0.47 | 5.05 | 391.00 |
| 0+852.03 | 0.47 | 0.55 | 391.54 |
| 0+853.21 | 0.47 | 0.55 | 392.09 |
| 0+860.00 | 0.47 | 3.16 | 395.25 |
| 0+865.78 | 0.47 | 2.69 | 397.94 |
| 0+866.31 | 0.47 | 0.24 | 398.18 |
| 0+866.83 | 0.47 | 0.24 | 398.42 |
| 0+875.62 | 0.47 | 4.09 | 402.51 |
| 0+875.84 | 0.47 | 0.10 | 402.61 |
| 0+876.05 | 0.47 | 0.10 | 402.71 |
| 0+880.00 | 0.47 | 1.83 | 404.55 |
| 0+899.18 | 0.47 | 8.92 | 413.46 |
| 0+899.67 | 0.47 | 0.23 | 413.59 |

| | | | | | | | | | |
|---------------------------------------------------------------------------------------------------------------------|-------------------------------------------------------------------------------------------------------------------------------------------------------------------------|----------------------------------------------------------------------------------------------------|-------------------------------------------------------------------------------|--------------------------------------------------|---------|-----------------------------------------------------------------------------------------------------------------------------------------------------------|-----------------------|-----------------------|-----------|
| UNIVERSIDAD CÉSAR VALLEJO FACULTAD DE INGENIERIA ESCUELA PROFESIONAL DE INGENIERIA CIVIL | NOMBRE DE LA TESIS "Diseño de la infraestructura de riego para mejorar la eficiencia hidráulica del canal El Porvenir 0+000-4+284 km, Distrito la Peca-Amazonas" | UBICACION Departamento Amazonas Provincia Bagua Distrito La Poca Localidad La Poca | ALUMNO(S) Flores Serrano Nayme Hugo Alumno 02 - Apellidos y Nombres | ASESOR MG. ING. JULIO CESAR BENITES CHERO | APROBO: | JURADOS | DESCRIPCION DEL PLANO | ESCALA | LAMINA N° |
| | | | | | | 01/26/10/22 Ing. Mg. Robert Edison Sucupié Sandoval 02/26/10/22 Ing. Mg. Marlon Robert Cubas Armas 03/26/10/22 Ing. Mg. Noé Humberto Marin Bardales | PLANTA Y PERFILE | 1/1000 2+000-3+000 | PP-4 |
| | | FECHA | | | | | | | |
| | | Octubre 2022 | | | | | | | |

Fuente: Elaboración propia

| REVESTIMIENTO DE CANAL | | | |
|------------------------|------|---------|---------|
| PROGRESIVA | AREA | VOLUMEN | VOLACUM |
| 0+900.00 | 0.47 | 0.15 | 413.85 |
| 0+900.16 | 0.47 | 0.08 | 413.92 |
| 0+911.84 | 0.47 | 5.43 | 419.35 |
| 0+912.18 | 0.47 | 0.16 | 419.51 |
| 0.912.52 | 0.47 | 0.16 | 419.67 |
| 0+920.00 | 0.47 | 3.48 | 423.15 |
| 0+923.65 | 0.47 | 1.7 | 424.85 |
| 0+925.00 | 0.47 | 0.53 | 425.47 |
| 0+926.26 | 0.47 | 0.59 | 426.06 |
| 0+928.87 | 0.47 | 1.21 | 427.27 |
| 0+940.00 | 0.47 | 5.19 | 432.45 |
| 0+944.15 | 0.47 | 1.93 | 434.38 |
| 0+944.18 | 0.47 | 0.01 | 434.39 |
| 0+944.21 | 0.47 | 0.01 | 434.41 |
| 0+947.57 | 0.47 | 0.51 | 436.01 |
| 0+949.52 | 0.47 | 0.85 | 436.88 |
| 0+950.00 | 0.47 | 0.22 | 437.10 |
| 0+951.38 | 0.47 | 0.64 | 437.74 |
| 0+960.00 | 0.47 | 4.01 | 441.75 |
| 0+963.57 | 0.47 | 1.55 | 443.41 |

| REVESTIMIENTO DE CANAL | | | |
|------------------------|------|---------|---------|
| PROGRESIVA | AREA | VOLUMEN | VOLACUM |
| 0+963.66 | 0.47 | 0.04 | 443.45 |
| 0+963.74 | 0.47 | 0.04 | 443.49 |
| 0+973.56 | 0.47 | 4.56 | 448.05 |
| 0+974.28 | 0.47 | 0.33 | 448.39 |
| 0+974.99 | 0.47 | 0.33 | 448.72 |
| 0+980.00 | 0.47 | 2.33 | 451.05 |
| 0+999.94 | 0.47 | 9.27 | 460.32 |
| 1+000.00 | 0.47 | 0.03 | 460.35 |
| 1+000.50 | 0.47 | 0.23 | 460.58 |
| 1+001.05 | 0.47 | 0.26 | 460.83 |
| 1+020.00 | 0.47 | 8.81 | 469.65 |
| 1+024.52 | 0.47 | 2.24 | 471.89 |
| 1+025.00 | 0.47 | 0.08 | 471.97 |
| 1+025.06 | 0.47 | 0.03 | 472.00 |
| 1+025.31 | 0.47 | 0.11 | 472.11 |
| 1+040.00 | 0.47 | 6.83 | 478.95 |
| 1+056.09 | 0.47 | 7.48 | 486.43 |
| 1+056.65 | 0.47 | 0.26 | 486.69 |
| 1+057.21 | 0.47 | 0.26 | 486.95 |
| 1+059.63 | 0.47 | 1.13 | 488.07 |

| REVESTIMIENTO DE CANAL | | | |
|------------------------|------|---------|---------|
| PROGRESIVA | AREA | VOLUMEN | VOLACUM |
| 1+687.59 | 0.47 | 3.53 | 772.39 |
| 1+687.70 | 0.47 | 0.05 | 772.44 |
| 1+687.80 | 0.47 | 0.05 | 772.49 |
| 1+698.50 | 0.47 | 4.97 | 777.46 |
| 1+699.05 | 0.47 | 0.26 | 777.72 |
| 1+699.61 | 0.47 | 0.26 | 777.98 |
| 1+705.00 | 0.47 | 2.51 | 780.48 |
| 1+720.00 | 0.47 | 6.98 | 787.46 |
| 1+729.47 | 0.47 | 4.40 | 791.56 |
| 1+729.85 | 0.47 | 0.18 | 792.04 |
| 1+730.00 | 0.47 | 0.07 | 792.11 |
| 1+730.23 | 0.47 | 0.11 | 792.21 |
| 1+737.35 | 0.47 | 3.31 | 795.52 |
| 1+738.80 | 0.47 | 0.67 | 796.20 |
| 1+740.00 | 0.47 | 0.56 | 796.76 |
| 1+740.25 | 0.47 | 0.11 | 796.87 |
| 1+751.13 | 0.47 | 5.06 | 801.93 |
| 1+752.24 | 0.47 | 0.52 | 802.45 |
| 1+753.35 | 0.47 | 0.52 | 802.97 |
| 1+758.40 | 0.47 | 2.35 | 805.31 |

| REVESTIMIENTO DE CANAL | | | |
|------------------------|------|---------|---------|
| PROGRESIVA | AREA | VOLUMEN | VOLACUM |
| 1+758.54 | 0.47 | 0.07 | 805.38 |
| 1+758.68 | 0.47 | 0.07 | 805.44 |
| 1+760.00 | 0.47 | 0.61 | 805.06 |
| 1+780.00 | 0.47 | 9.30 | 815.36 |
| 1+790.59 | 0.47 | 4.93 | 820.28 |
| 1+791.51 | 0.47 | 0.43 | 820.71 |
| 1+792.43 | 0.47 | 0.43 | 821.14 |
| 1+799.87 | 0.47 | 3.46 | 824.60 |
| 1+800.00 | 0.47 | 0.06 | 824.66 |
| 1+801.07 | 0.47 | 0.50 | 825.15 |
| 1+802.27 | 0.47 | 0.58 | 825.71 |
| 1+816.26 | 0.47 | 6.50 | 832.22 |
| 1+817.30 | 0.47 | 0.48 | 832.70 |
| 1+818.34 | 0.47 | 0.48 | 833.19 |
| 1+825.00 | 0.47 | 3.10 | 836.28 |
| 1+842.90 | 0.47 | 8.32 | 844.61 |
| 1+843.33 | 0.47 | 0.20 | 844.80 |
| 1+843.75 | 0.47 | 0.20 | 845.00 |
| 1+860.00 | 0.47 | 7.55 | 852.56 |
| 1+873.16 | 0.47 | 6.12 | 858.68 |

| | | | | | | | | | | |
|---------------------------------------------------------------------------------------------------------------------|---------------------------------------------------------------------------------------------------------------------------------------------------|--|----------------------------------------------------|-----------------------------------------|--------------------------------------------------------------|------------------------------------|---------|-------------------------------------------------------------------------------------------------------------------------------------------------------------|--------------|-----------|
| UNIVERSIDAD CÉSAR VALLEJO FACULTAD DE INGENIERIA ESCUELA PROFESIONAL DE INGENIERIA CIVIL | NOMBRE DE LA TESIS | | UBICACION | ALUMNO(S) | ASESOR | APROBO: | JURADOS | DESCRIPCION DEL PLANO | ESCALA | LAMINA N° |
| | "Diseño de la infraestructura de riego para mejorar la eficiencia hidráulica del canal El Porvenir 0+000-4+264 km. Distrito la Peca-Amazonas " | | Departamento Provincia Distrito Localidad | Amazonas Bagua La Poca La Peca | Flores Serrano Nayme Hugo Alumno 02 - Apellidos y Nombres | MG. ING. JULIO CESAR BENITES CHERO | | 01/26/10/22 Ing. Mg. Robert Edinson Sucupile Sandoval 02/26/10/22 Ing. Mg. Marlon Robert Cubas Armas 03/26/10/22 Ing. Mg. Noé Humberto Marin Bardales | | |
| | | | | | | | | PLANTA Y PERFIL | 1/1000 | |
| | | | | | | | | FECHA | 2+000-3+000 | PP-4 |
| | | | | | | | | | Octubre 2022 | |

Fuente: Elaboración propia

| REVESTIMIENTO DE CANAL | | | |
|------------------------|------|---------|----------|
| PROGRESIVA | AREA | VOLUMEN | VOL.ACUM |
| 1+873.21 | 0.47 | 0.02 | 858.70 |
| 1+873.26 | 0.47 | 0.02 | 858.72 |
| 1+880.00 | 0.47 | 3.13 | 861.86 |
| 1+886.00 | 0.47 | 2.79 | 864.65 |
| 1+886.67 | 0.47 | 0.31 | 864.96 |
| 1+887.35 | 0.47 | 0.31 | 865.27 |
| 1+900.00 | 0.47 | 5.88 | 871.16 |
| 1+900.89 | 0.47 | 0.41 | 871.57 |
| 1+901.42 | 0.47 | 0.25 | 871.82 |
| 1+901.95 | 0.47 | 0.25 | 872.06 |
| 1+920.00 | 0.47 | 8.39 | 880.46 |
| 1+924.30 | 0.47 | 2.03 | 882.49 |
| 1+925.00 | 0.47 | 0.30 | 882.75 |
| 1+925.50 | 0.47 | 0.23 | 883.01 |
| 1+926.63 | 0.47 | 0.53 | 883.54 |
| 1+940.00 | 0.47 | 6.22 | 889.76 |
| 1+960.00 | 0.47 | 9.30 | 899.05 |
| 1+960.72 | 0.47 | 0.34 | 899.39 |
| 1+960.97 | 0.47 | 0.11 | 899.51 |
| 1+961.21 | 0.47 | 0.11 | 899.62 |

| REVESTIMIENTO DE CANAL | | | |
|------------------------|------|---------|----------|
| PROGRESIVA | AREA | VOLUMEN | VOL.ACUM |
| 0+190.11 | 0.47 | 0.05 | 88.40 |
| 0+200.00 | 0.47 | 4.60 | 93.00 |
| 0+215.62 | 0.47 | 7.26 | 100.26 |
| 0+216.32 | 0.47 | 0.32 | 100.59 |
| 0.217.01 | 0.47 | 0.32 | 100.91 |
| 0+220.00 | 0.47 | 1.39 | 102.30 |
| 0+240.00 | 0.47 | 9.3 | 116.60 |
| 0+243.40 | 0.47 | 1.58 | 113.18 |
| 0+243.99 | 0.47 | 0.27 | 113.45 |
| 0+244.57 | 0.47 | 0.27 | 113.73 |
| 0+250.00 | 0.47 | 2.52 | 116.25 |
| 0+251.93 | 0.47 | 0.9 | 117.15 |
| 0+253.02 | 0.47 | 0.51 | 117.66 |
| 0+254.12 | 0.47 | 0.51 | 118.17 |
| 0+260.00 | 0.47 | 2.73 | 120.90 |
| 0+265.99 | 0.47 | 2.78 | 123.68 |
| 0+267.34 | 0.47 | 0.63 | 124.31 |
| 0+268.68 | 0.47 | 0.63 | 124.94 |
| 0+273.46 | 0.47 | 2.22 | 127.16 |
| 0+275.00 | 0.47 | 0.72 | 127.88 |

| REVESTIMIENTO DE CANAL | | | |
|------------------------|------|---------|----------|
| PROGRESIVA | AREA | VOLUMEN | VOL.ACUM |
| 0+275.37 | 0.47 | 0.17 | 128.05 |
| 0+277.29 | 0.47 | 0.59 | 128.94 |
| 0+280.00 | 0.47 | 1.26 | 130.20 |
| 0+287.38 | 0.47 | 3.43 | 133.63 |
| 0+288.23 | 0.47 | 0.39 | 134.03 |
| 0+289.08 | 0.47 | 0.39 | 134.42 |
| 0+295.00 | 0.47 | 2.75 | 137.18 |
| 0+304.01 | 0.47 | 4.19 | 141.37 |
| 0+305.00 | 0.47 | 0.46 | 141.83 |
| 0+305.24 | 0.47 | 0.11 | 141.94 |
| 0+306.47 | 0.47 | 0.57 | 142.51 |
| 0+318.76 | 0.47 | 5.71 | 148.22 |
| 0+319.31 | 0.47 | 0.26 | 148.48 |
| 0+319.86 | 0.47 | 0.26 | 148.74 |
| 0+325.00 | 0.47 | 2.39 | 151.13 |
| 0+337.17 | 0.47 | 5.66 | 156.78 |
| 0+337.79 | 0.47 | 0.29 | 157.07 |
| 0+338.42 | 0.47 | 0.29 | 157.36 |
| 0+340.00 | 0.47 | 0.74 | 158.10 |
| 0+356.49 | 0.47 | 7.67 | 165.77 |

| REVESTIMIENTO DE CANAL | | | |
|------------------------|------|---------|----------|
| PROGRESIVA | AREA | VOLUMEN | VOL.ACUM |
| 0+357.01 | 0.47 | 0.27 | 166.01 |
| 0+357.54 | 0.47 | 0.27 | 166.26 |
| 0+360.00 | 0.47 | 3.17 | 167.40 |
| 0+380.00 | 0.47 | 7.86 | 176.70 |
| 0+383.16 | 0.47 | 0.34 | 178.17 |
| 0+383.70 | 0.47 | 0.34 | 178.42 |
| 0+384.24 | 0.47 | 0.76 | 178.67 |
| 0+390.00 | 0.47 | 5.05 | 181.35 |
| 0+406.17 | 0.47 | 0.55 | 188.87 |
| 0+406.25 | 0.47 | 0.55 | 188.91 |
| 0+406.33 | 0.47 | 3.16 | 188.94 |
| 0+420.00 | 0.47 | 2.69 | 195.30 |
| 0+429.26 | 0.47 | 0.24 | 199.61 |
| 0+429.42 | 0.47 | 0.24 | 199.68 |
| 0+429.57 | 0.47 | 4.09 | 199.75 |
| 0+440.00 | 0.47 | 0.10 | 204.60 |
| 0+451.75 | 0.47 | 0.10 | 210.06 |
| 0+452.14 | 0.47 | 1.83 | 210.25 |
| 0+452.53 | 0.47 | 8.92 | 210.43 |
| 0+460.00 | 0.47 | 0.23 | 213.90 |

| | | | | | | | | | |
|-----------------------------------------------------------------------------------------------------------------------------------------------|--------------------|----------------------------------------------------|-----------------------------------------|--------------------------------------------------------------|------------------------------------|---------|---------------------------------|---------------------------------|-----------|
| UNIVERSIDAD CÉSAR VALLEJO FACULTAD DE INGENIERIA ESCUELA PROFESIONAL DE INGENIERIA CIVIL | NOMBRE DE LA TESIS | UBICACION | ALUMNO(S) | ASESOR | APROBO: | JURADOS | DESCRIPCION DEL PLANO | ESCALA | LAMINA N° |
| | | | | | | | | | |
| "Diseño de la infraestructura de riego para mejorar la eficiencia hidráulica del canal El Porvenir 0+000-4+264 km, Distrito la Peca-Amazonas" | | Departamento Provincia Distrito Localidad | Amazonas Bagua La Peca La Peca | Flores Serrano Nayme Hugo Alumno 02 - Apellidos y Nombres | MG. ING. JULIO CESAR BENITES CHERO | | PLANTA Y PERFILE 2+000 3+000 | 1/1000 FECHA Octubre 2022 | PP-4 |

Fuente: Elaboración propia

| REVESTIMIENTO DE CANAL | | | |
|------------------------|------|---------|----------|
| PROGRESIVA | AREA | VOLUMEN | VOL.ACUM |
| 1+059.87 | 0.47 | 0.11 | 488.19 |
| 1+060.00 | 0.47 | 0.06 | 488.25 |
| 1+060.11 | 0.47 | 0.05 | 488.30 |
| 1+080.00 | 0.47 | 9.25 | 497.55 |
| 1+087.68 | 0.47 | 3.57 | 501.12 |
| 1+087.82 | 0.47 | 0.07 | 501.19 |
| 1+087.97 | 0.47 | 0.07 | 501.25 |
| 1+098.27 | 0.47 | 4.79 | 508.04 |
| 1+098.40 | 0.47 | 0.06 | 506.10 |
| 1+0098.52 | 0.47 | 0.06 | 506.16 |
| 1+100.00 | 0.47 | 0.69 | 506.85 |
| 1+115.31 | 0.47 | 7.12 | 513.97 |
| 1+115.55 | 0.47 | 0.11 | 514.08 |
| 1+115.78 | 0.47 | 0.11 | 514.19 |
| 1+120.00 | 0.47 | 1.96 | 518.15 |
| 1+138.26 | 0.47 | 4.25 | 520.39 |
| 1+38.27 | 0.47 | 0.00 | 520.39 |
| 1+138.27 | 0.47 | 0.00 | 520.39 |
| 1+140.00 | 0.47 | 0.40 | 520.80 |
| 1+160.00 | 0.47 | 9.30 | 530.10 |

| REVESTIMIENTO DE CANAL | | | |
|------------------------|------|---------|----------|
| PROGRESIVA | AREA | VOLUMEN | VOL.ACUM |
| 1+165.21 | 0.47 | 2.42 | 532.52 |
| 1+156.56 | 0.47 | 0.16 | 532.68 |
| 1+156.91 | 0.47 | 0.16 | 532.84 |
| 1+180.00 | 0.47 | 6.55 | 539.40 |
| 1+185.31 | 0.47 | 2.47 | 541.88 |
| 1+185.63 | 0.47 | 0.15 | 542.01 |
| 1+185.94 | 0.47 | 0.15 | 542.16 |
| 1+200.00 | 0.47 | 6.54 | 548.70 |
| 1+209.81 | 0.47 | 4.56 | 553.26 |
| 1+210.00 | 0.47 | 0.09 | 553.35 |
| 1+210.39 | 0.47 | 0.18 | 553.53 |
| 1+210.97 | 0.47 | 0.27 | 553.80 |
| 1+220.00 | 0.47 | 4.2 | 558.00 |
| 1+234.35 | 0.47 | 6.67 | 564.67 |
| 1+234.76 | 0.47 | 0.19 | 564.88 |
| 1+235.00 | 0.47 | 0.11 | 564.97 |
| 1+235.16 | 0.47 | 0.07 | 565.04 |
| 1+240.00 | 0.47 | 2.25 | 567.30 |
| 1+243.48 | 0.47 | 1.62 | 568.91 |
| 1+245.00 | 0.47 | 0.71 | 569.62 |

| REVESTIMIENTO DE CANAL | | | |
|------------------------|------|---------|----------|
| PROGRESIVA | AREA | VOLUMEN | VOL.ACUM |
| 1+245.81 | 0.47 | 0.38 | 570.00 |
| 1+248.14 | 0.47 | 1.08 | 571.08 |
| 1+60.00 | 0.47 | 5.52 | 576.60 |
| 1+265.87 | 0.47 | 2.73 | 579.33 |
| 1+267.85 | 0.47 | 0.92 | 580.24 |
| 1+269.82 | 0.47 | 0.92 | 581.16 |
| 1+275.00 | 0.47 | 2.41 | 583.57 |
| 1+287.29 | 0.47 | 5.72 | 589.29 |
| 1+287.60 | 0.47 | 0.14 | 589.43 |
| 1+287.91 | 0.47 | 0.14 | 589.57 |
| 1+296.02 | 0.47 | 3.77 | 593.35 |
| 1+297.95 | 0.47 | 0.89 | 594.24 |
| 1+299.87 | 0.47 | 0.89 | 595.13 |
| 1+305.00 | 0.47 | 2.39 | 597.52 |
| 1+314.14 | 0.47 | 4.25 | 601.77 |
| 1+314.86 | 0.47 | 0.34 | 602.10 |
| 1+315.00 | 0.47 | 0.07 | 602.17 |
| 1+315.58 | 0.47 | 0.27 | 602.44 |
| 1+320.00 | 0.47 | 2.05 | 604.50 |
| 1+323.33 | 0.47 | 1.55 | 606.05 |

| REVESTIMIENTO DE CANAL | | | |
|------------------------|------|---------|----------|
| PROGRESIVA | AREA | VOLUMEN | VOL.ACUM |
| 1+980.00 | 0.47 | 8.74 | 908.36 |
| 1+986.04 | 0.47 | 2.81 | 911.16 |
| 1+987.87 | 0.47 | 0.85 | 912.01 |
| 1+989.70 | 0.47 | 0.85 | 912.87 |
| 1+995.00 | 0.47 | 2.47 | 915.33 |
| 2+004.77 | 0.47 | 4.54 | 919.87 |
| 2+005.00 | 0.47 | 0.11 | 919.98 |
| 2+005.58 | 0.47 | 0.27 | 920.25 |
| 2+006.39 | 0.47 | 0.38 | 920.63 |
| 2+020.00 | 0.47 | 6.33 | 926.96 |
| 2+021.17 | 0.47 | 0.54 | 927.50 |
| 2+021.64 | 0.47 | 0.22 | 927.72 |
| 2+022.12 | 0.47 | 0.22 | 927.94 |
| 2+040.00 | 0.47 | 8.31 | 936.26 |
| 2+045.34 | 0.47 | 2.48 | 938.74 |
| 2+045.79 | 0.47 | 0.21 | 938.95 |
| 2+046.23 | 0.47 | 0.21 | 939.15 |
| 2+060.00 | 0.47 | 6.40 | 945.56 |
| 2+078.14 | 0.47 | 8.43 | 953.99 |
| 2+079.13 | 0.47 | 0.46 | 954.45 |

| UNIVERSIDAD CÉSAR VALLEJO FACULTAD DE INGENIERIA ESCUELA PROFESIONAL DE INGENIERIA CIVIL | NOMBRE DE LA TESIS | UBICACION | ALUMNO (S) | ASESOR | APROBO: | JURADOS | DESCRIPCION DEL PLANO | ESCALA | LAMINA N° |
|------------------------------------------------------------------------------------------------|---------------------------------------------------------------------------------------------------------------------------------------------------|-------------------|---------------------------|------------------------------------|---------|-------------------------------------------------------------------------------------------------------------------------------------------------------------|--------------------------------|---------------------------------|-----------|
| | Departamento | Provincia | Distrito | Localidad | | | | | |
| | "Diseño de la infraestructura de riego para mejorar la eficiencia hidráulica del canal El Porvenir 0+000-4+264 km. Distrito La Peña-Amazonas " | Amazonas Bagua | Flores Serrano Nayme Hugo | MG. ING. JULIO CESAR BENITES CHERO | | 01/26/10/22 Ing. Mg. Robert Edinson Sucupite Sandoval 02/26/10/22 Ing. Mg. Marlon Robert Cubas Armas 03/26/10/22 Ing. Mg. Not Humberto Marin Bardales | PLANTA Y PERFIL 2-000 3-000 | 1/1000 FECHA Octubre 2022 | PP-4 |

Fuente: Elaboración propia

| REVESTIMIENTO DE CANAL | | | |
|------------------------|------|---------|----------|
| PROGRESIVA | AREA | VOLUMEN | VOL.ACUM |
| 2+080.00 | 0.47 | 0.41 | 954.86 |
| 2+080.11 | 0.47 | 0.05 | 954.91 |
| 2+084.35 | 0.47 | 1.97 | 956.88 |
| 2+084.87 | 0.47 | 0.24 | 957.12 |
| 2+085.00 | 0.47 | 0.08 | 957.18 |
| 2+085.39 | 0.47 | 0.18 | 957.36 |
| 2+090.21 | 0.47 | 2.24 | 959.60 |
| 2+090.76 | 0.47 | 0.28 | 959.86 |
| 2+091.31 | 0.47 | 0.28 | 960.12 |
| 2+100.00 | 0.47 | 4.04 | 964.16 |
| 2+101.75 | 0.47 | 0.81 | 964.97 |
| 2+103.03 | 0.47 | 0.80 | 965.57 |
| 2+104.32 | 0.47 | 0.80 | 966.17 |
| 2+110.00 | 0.47 | 2.64 | 968.81 |
| 2+120.000 | 0.47 | 4.65 | 973.46 |
| 2+130.50 | 0.47 | 4.88 | 978.34 |
| 2+131.30 | 0.47 | 0.37 | 978.71 |
| 2+132.10 | 0.47 | 0.37 | 979.08 |
| 2+140.00 | 0.47 | 3.67 | 982.76 |
| 2+158.66 | 0.47 | 8.68 | 991.43 |

| REVESTIMIENTO DE CANAL | | | |
|------------------------|------|---------|----------|
| PROGRESIVA | AREA | VOLUMEN | VOL.ACUM |
| 2+159.48 | 0.47 | 0.38 | 991.81 |
| 2+160.00 | 0.47 | 0.24 | 992.06 |
| 2+160.29 | 0.47 | 0.14 | 992.19 |
| 2+180.00 | 0.47 | 9.16 | 1001.36 |
| 2+181.51 | 0.47 | 0.7 | 1002.06 |
| 2+181.98 | 0.47 | 0.22 | 1002.28 |
| 2+182.45 | 0.47 | 0.22 | 1002.50 |
| 2+200.00 | 0.47 | 8.16 | 1010.66 |
| 2+211.39 | 0.47 | 5.3 | 1015.95 |
| 2+211.48 | 0.47 | 0.04 | 1015.99 |
| 2+211.56 | 0.47 | 0.04 | 1016.03 |
| 2+220.00 | 0.47 | 3.92 | 1019.96 |
| 2+234.06 | 0.47 | 6.54 | 1026.49 |
| 2+234.71 | 0.47 | 0.3 | 1026.80 |
| 2+235.00 | 0.47 | 0.13 | 1026.93 |
| 2+235.37 | 0.47 | 0.17 | 1027.10 |
| 2+240.00 | 0.47 | 2.15 | 1029.26 |
| 2+246.70 | 0.47 | 3.11 | 1032.37 |
| 2+247.26 | 0.47 | 0.26 | 1032.63 |
| 2+247.82 | 0.47 | 0.26 | 1032.89 |

| REVESTIMIENTO DE CANAL | | | |
|------------------------|------|---------|----------|
| PROGRESIVA | AREA | VOLUMEN | VOL.ACUM |
| 0+462.72 | 0.47 | 1.26 | 215.16 |
| 0+463.06 | 0.47 | 0.16 | 215.32 |
| 0+463.41 | 0.47 | 0.16 | 215.48 |
| 0+480.00 | 0.47 | 7.72 | 223.20 |
| 0+500.00 | 0.47 | 9.30 | 232.50 |
| 0+501.20 | 0.47 | 0.56 | 233.06 |
| 0+502.03 | 0.47 | 0.39 | 233.45 |
| 0+502.87 | 0.47 | 0.39 | 233.83 |
| 0+520.00 | 0.47 | 7.97 | 241.80 |
| 0+540.00 | 0.47 | 9.30 | 251.10 |
| 0+544.60 | 0.47 | 2.14 | 253.24 |
| 0+544.85 | 0.47 | 0.12 | 253.36 |
| 0+545.00 | 0.47 | 0.07 | 253.43 |
| 0+545.11 | 0.47 | 0.05 | 253.48 |
| 0+560.00 | 0.47 | 6.92 | 250.40 |
| 0+577.34 | 0.47 | 8.06 | 260.46 |
| 0+577.58 | 0.47 | 0.11 | 268.58 |
| 0+577.83 | 0.47 | 0.11 | 268.69 |
| 0+580.00 | 0.47 | 1.01 | 289.70 |
| 0+592.34 | 0.00 | 2.87 | 272.57 |

| REVESTIMIENTO DE CANAL | | | |
|------------------------|------|---------|----------|
| PROGRESIVA | AREA | VOLUMEN | VOL.ACUM |
| 0+592.35 | 0.00 | 0.00 | 272.57 |
| 0+592.35 | 0.00 | 0.00 | 272.57 |
| 0+600.00 | 0.47 | 1.78 | 274.35 |
| 0+619.33 | 0.47 | 8.99 | 283.34 |
| 0+619.79 | 0.47 | 0.21 | 283.55 |
| 0+620.00 | 0.47 | 0.10 | 283.65 |
| 0+620.24 | 0.47 | 0.11 | 283.76 |
| 0+640.000 | 0.47 | 9.19 | 292.95 |
| 0+848.22 | 0.47 | 3.82 | 296.77 |
| 0+648.31 | 0.47 | 0.04 | 296.81 |
| 0+648.39 | 0.47 | 0.04 | 296.85 |
| 0+660.00 | 0.47 | 5.40 | 302.25 |
| 0+680.00 | 0.47 | 9.30 | 311.55 |
| 0+691.27 | 0.47 | 5.24 | 316.79 |
| 0+691.34 | 0.47 | 0.03 | 316.82 |
| 0+691.42 | 0.47 | 0.03 | 316.86 |
| 0+700.00 | 0.47 | 3.99 | 320.85 |
| 0+700.00 | 0.47 | 9.30 | 330.15 |
| 0+726.84 | 0.47 | 3.18 | 333.33 |
| 0+727.26 | 0.47 | 0.19 | 333.52 |

| | | | | | | | | |
|---------------------------------------------------------------------------------------------------------------------|------------------------------------------------------------------------------------------------------------------------------------------------------------------------------------|-------------------------------------------------------------------------------------------------------------------------|---------------------------------------------------------------------------------------|---------------------------------------------------------|-----------------------------------------------------------------------------------------------------------------------------------------------------------------------------------|--------------------------------------------------------------------|-----------------------------|-------------------------------------------------------|
| UNIVERSIDAD CÉSAR VALLEJO FACULTAD DE INGENIERIA ESCUELA PROFESIONAL DE INGENIERIA CIVIL | NOMBRE DE LA TESIS "Diseño de la infraestructura de riego para mejorar la eficiencia hidráulica del canal El Porvenir 0+000-4+264 km. Distrito la Peca-Amazonas " | UBICACION Departamento Amazonas Provincia Iquitos Distrito La Peca Localidad La Peca | ALUMNO (S) Flores Serrano Nayme Hugo Alumno 02 - Apellidos y Nombres | ASESOR MG. ING. JULIO CESAR BENITES CHERO | JURADOS 01/26/10/22 Ing. Mg. Robert Edinson Sudiuple Sandoval 02/26/10/22 Ing. Mg. Marlon Robert Cubas Armas 03/26/10/22 Ing. Mg. Noé Humberto Marin Bardales | DESCRIPCION DEL PLANO PLANTA Y PERFIL 2+000-3+000 | ESCALA 1/1000 | LAMINA N° PP-4 FECHA Octubre 2022 |
| | | | | | | | | |

Fuente: Elaboración propia

| REVESTIMIENTO DE CANAL | | | |
|------------------------|------|---------|----------|
| PROGRESIVA | AREA | VOLUMEN | VOL.ACUM |
| 0+727.67 | 0.47 | 0.19 | 33.72 |
| 0+740.00 | 0.47 | 5.73 | 339.45 |
| 0+744.75 | 0.47 | 2.21 | 341.66 |
| 0+745.00 | 0.47 | 0.12 | 341.77 |
| 0+745.99 | 0.47 | 0.46 | 342.23 |
| 0+747.23 | 0.47 | 0.58 | 342.81 |
| 0+753.87 | 0.47 | 3.09 | 345.90 |
| 0+754.74 | 0.47 | 0.41 | 346.30 |
| 0+755.00 | 0.47 | 0.12 | 346.42 |
| 0+755.62 | 0.47 | 0.29 | 346.71 |
| 0+760.00 | 0.47 | 2.04 | 348.75 |
| 0+780.00 | 0.47 | 9.30 | 358.05 |
| 0+780.69 | 0.47 | 0.32 | 358.37 |
| 0+781.14 | 0.47 | 0.21 | 358.58 |
| 0+781.58 | 0.47 | 0.21 | 358.78 |
| 0+786.34 | 0.47 | 2.22 | 361.00 |
| 0+786.96 | 0.47 | 0.29 | 361.29 |
| 0+787.58 | 0.47 | 0.29 | 361.57 |
| 0+800.00 | 0.47 | 5.77 | 367.35 |
| 0+812.00 | 0.47 | 5.58 | 372.93 |

| REVESTIMIENTO DE CANAL | | | |
|------------------------|------|---------|----------|
| PROGRESIVA | AREA | VOLUMEN | VOL.ACUM |
| 1+324.71 | 0.47 | 0.64 | 606.68 |
| 1+325.00 | 0.47 | 0.14 | 606.82 |
| 1+326.08 | 0.47 | 0.50 | 607.32 |
| 1+337.41 | 0.47 | 5.27 | 612.59 |
| 1+337.95 | 0.47 | 0.25 | 612.84 |
| 1+338.49 | 0.47 | 0.25 | 613.09 |
| 1+340.00 | 0.47 | 0.70 | 613.80 |
| 1+359.82 | 0.47 | 9.22 | 623.01 |
| 1+360.00 | 0.47 | 0.08 | 623.10 |
| 1+360.17 | 0.47 | 0.08 | 623.18 |
| 1+360.53 | 0.47 | 0.16 | 623.34 |
| 1+373.17 | 0.47 | 5.88 | 629.22 |
| 1+373.27 | 0.47 | 0.04 | 629.28 |
| 1+373.36 | 0.47 | 0.04 | 629.31 |
| 1+380.00 | 0.47 | 3.09 | 632.40 |
| 1+392.82 | 0.47 | 2.98 | 635.38 |
| 1+392..86 | 0.47 | 0.00 | 365.38 |
| 1+392.89 | 0.47 | 0.01 | 635.38 |
| 1+400.00 | 0.47 | 3.31 | 638.69 |
| 1+420.00 | 0.47 | 9.30 | 647.99 |

| REVESTIMIENTO DE CANAL | | | |
|------------------------|------|---------|----------|
| PROGRESIVA | AREA | VOLUMEN | VOL.ACUM |
| 0+462.72 | 0.47 | 3.27 | 651.28 |
| 0+463.06 | 0.47 | 0.15 | 651.42 |
| 0+463.41 | 0.47 | 0.15 | 651.57 |
| 0+480.00 | 0.47 | 5.72 | 657.29 |
| 0+500.00 | 0.47 | 8.72 | 666.01 |
| 0+501.20 | 0.47 | 0.1 | 666.11 |
| 0+502.03 | 0.47 | 0.1 | 666.21 |
| 0+502.87 | 0.47 | 0.38 | 666.59 |
| 0+520.00 | 0.47 | 9.30 | 675.89 |
| 0+540.00 | 0.47 | 3.39 | 679.28 |
| 0+544.60 | 0.47 | 0.19 | 679.47 |
| 0+544.85 | 0.47 | 0.19 | 679.68 |
| 0+545.00 | 0.47 | 5.53 | 685.19 |
| 0+545.11 | 0.47 | 4.12 | 689.31 |
| 0+560.00 | 0.47 | 0.02 | 689.32 |
| 0+577.34 | 0.47 | 0.02 | 689.34 |
| 0+577.58 | 0.47 | 5.12 | 694.46 |
| 0+577.83 | 0.47 | 8.94 | 703.40 |
| 0+580.00 | 0.47 | 0.20 | 703.60 |
| 0+592.34 | 0.00 | 0.16 | 703.76 |

| REVESTIMIENTO DE CANAL | | | |
|------------------------|------|---------|----------|
| PROGRESIVA | AREA | VOLUMEN | VOL.ACUM |
| 1+540.09 | 0.00 | 0.04 | 703.80 |
| 1+556.12 | 0.00 | 7.45 | 711.25 |
| 1+556.20 | 0.47 | 0.04 | 711.29 |
| 1+556.28 | 0.47 | 0.04 | 711.33 |
| 1+560.00 | 0.47 | 1.73 | 713.06 |
| 1+580.00 | 0.47 | 9.30 | 722.36 |
| 1+584.29 | 0.47 | 2.00 | 724.35 |
| 1+584.42 | 0.47 | 0.06 | 724.41 |
| 1+584.55 | 0.47 | 0.06 | 724.47 |
| 1+600.00 | 0.47 | 7.19 | 731.66 |
| 1+620.00 | 0.47 | 9.30 | 740.96 |
| 1+632.52 | 0.47 | 5.82 | 746.78 |
| 1+632.86 | 0.47 | 0.16 | 746.94 |
| 1+633.20 | 0.47 | 0.16 | 747.10 |
| 1+640.00 | 0.47 | 3.16 | 750.26 |
| 1+660.00 | 0.47 | 9.30 | 759.56 |
| 1+662.70 | 0.47 | 1.26 | 760.81 |
| 1+662.96 | 0.47 | 0.12 | 760.94 |
| 1+663.22 | 0.47 | 0.12 | 761.06 |
| 1+680.00 | 0.47 | 7.80 | 768.86 |

| | | | | | | | | | |
|---------------------------------------------------------------------------------------------------------------------|------------------------------------------------------------------------------------------------------------------------------------------------|-----------------------------------------------------------------------------------|--------------------------------------------------------------|------------------------------------|---------|-------------------------------------------------------------------------------------------------------------------------------------------------------------|--------------------------------|---------------------------------|-----------|
| UNIVERSIDAD CÉSAR VALLEJO FACULTAD DE INGENIERIA ESCUELA PROFESIONAL DE INGENIERIA CIVIL | NOMBRE DE LA TESIS | UBICACION | ALUMNO (\$) | ASESOR | APROBO: | JURADOS | DESCRIPCION DEL PLANO | ESCALA | LAMINA N° |
| | "Diseño de la infraestructura de riego para mejorar la eficiencia hidráulica del canal El Porvenir 0+000-4+264 km, Distrito la Peca-Amazonas " | Departamento Amazonas Provincia Bagua Distrito La Peca Localidad La Peca | Flores Serrano Nayme Hugo Alumno 02 - Apellidos y Nombres | MG. ING. JULIO CESAR BENITES CHERO | | 01/26/10/22 Ing. Mg. Robert Edinson Sucupilo Sandoval 02/26/10/22 Ing. Mg. Marlon Robert Cubas Armas 03/26/10/22 Ing. Mg. Noe Humberto Marin Barcelos | PLANTA Y PERFIL 2+000-3+000 | 1/1000 FECHA Octubre 2022 | PP-4 |

Fuente: Elaboración propia

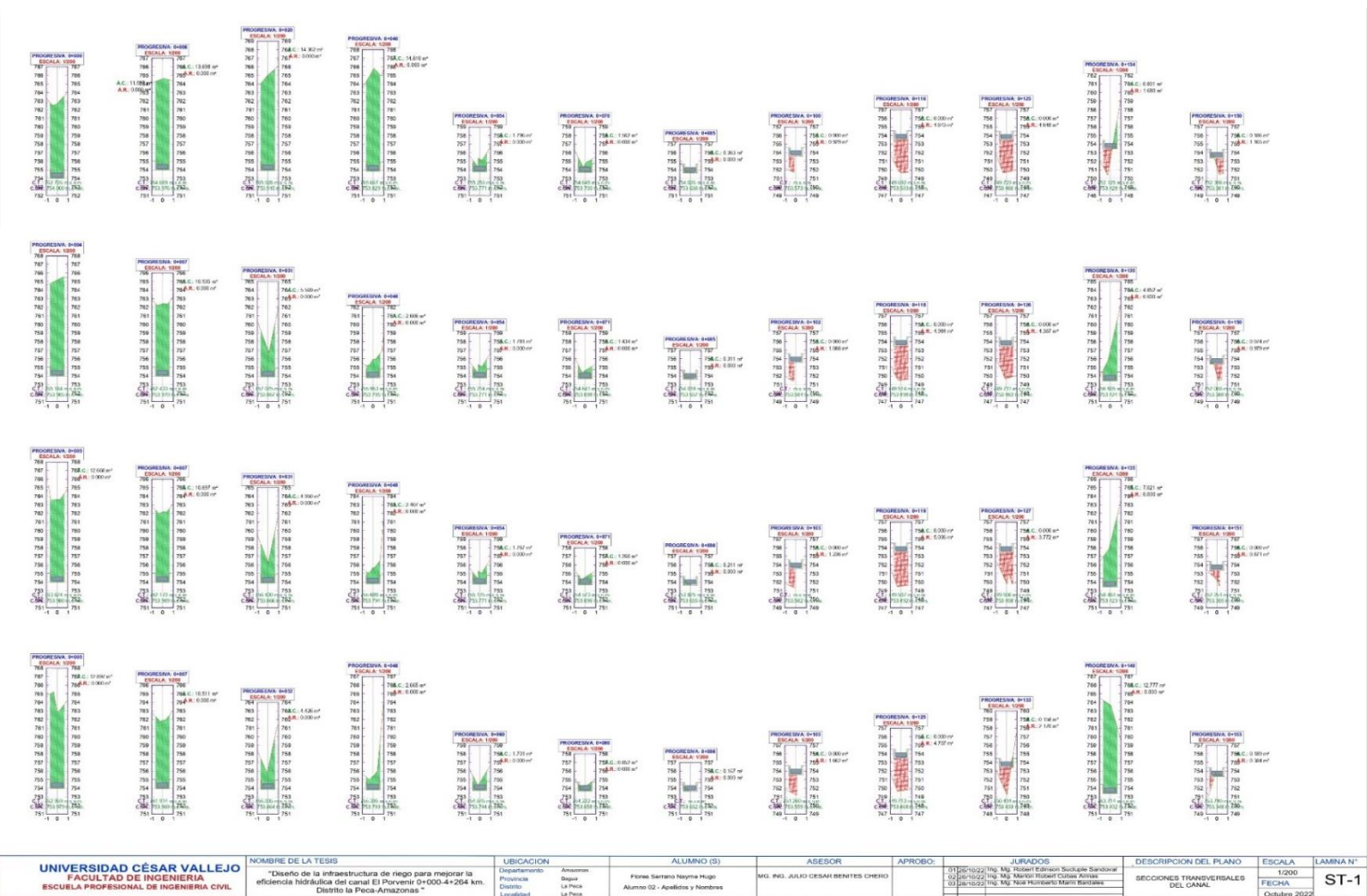


Figura 10: Secciones Transversales

Fuente: Elaboración propia

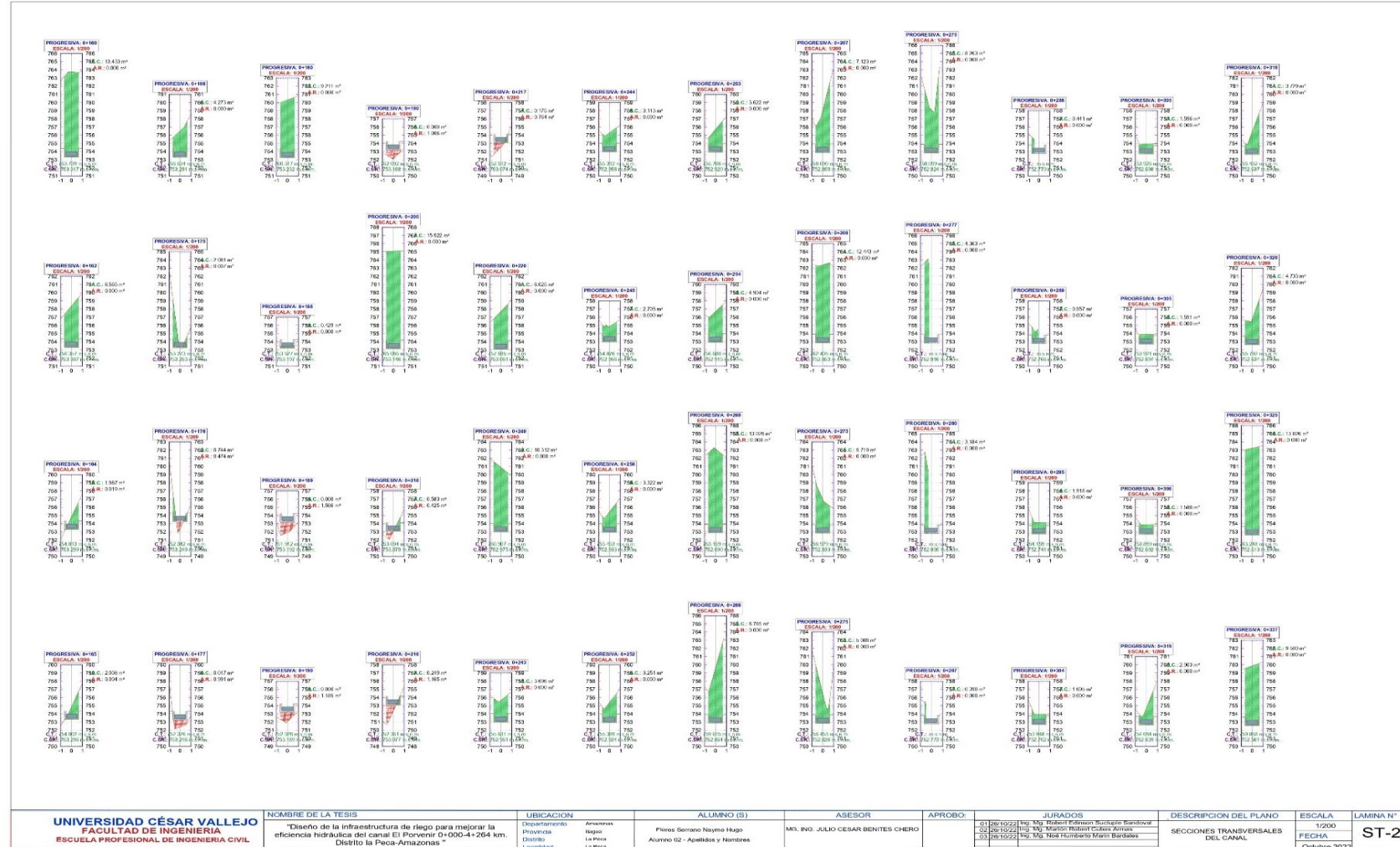


Figura 11: Secciones Transversales

Fuente: Elaboración propia

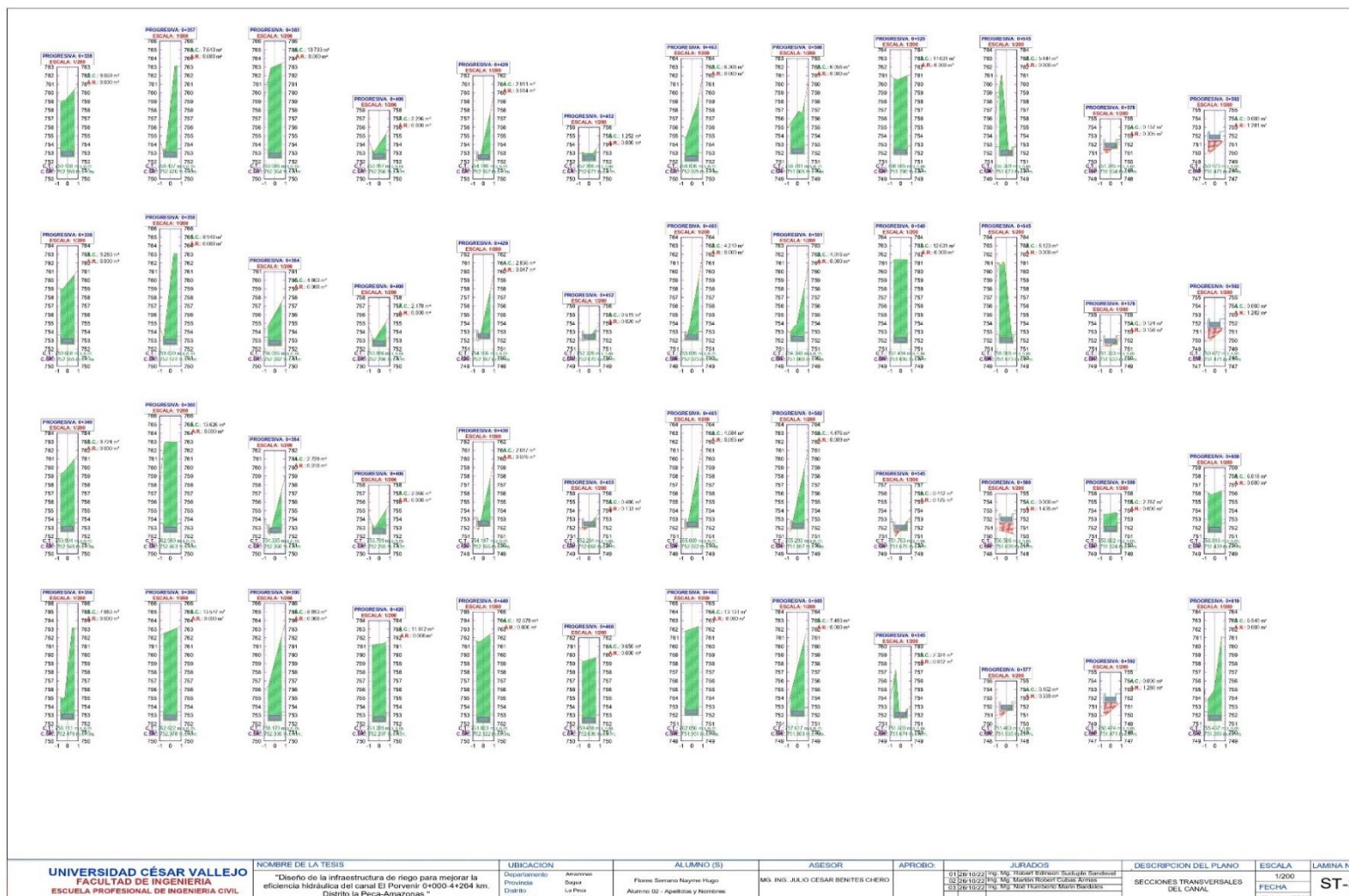


Figura 12: Secciones Transversales

Fuente: Elaboración propia

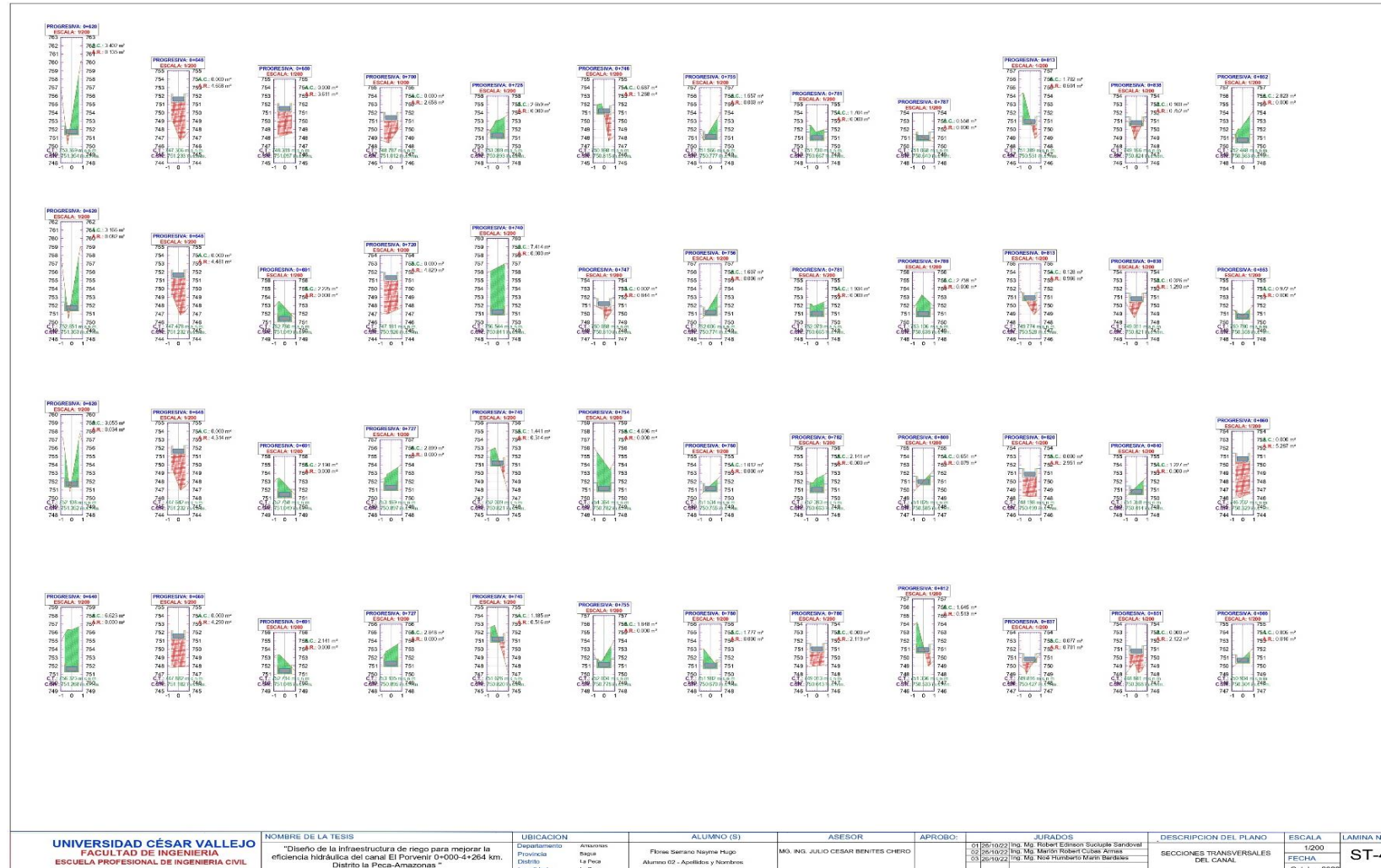


Figura 13: Secciones transversales

Fuente: Elaboración propia

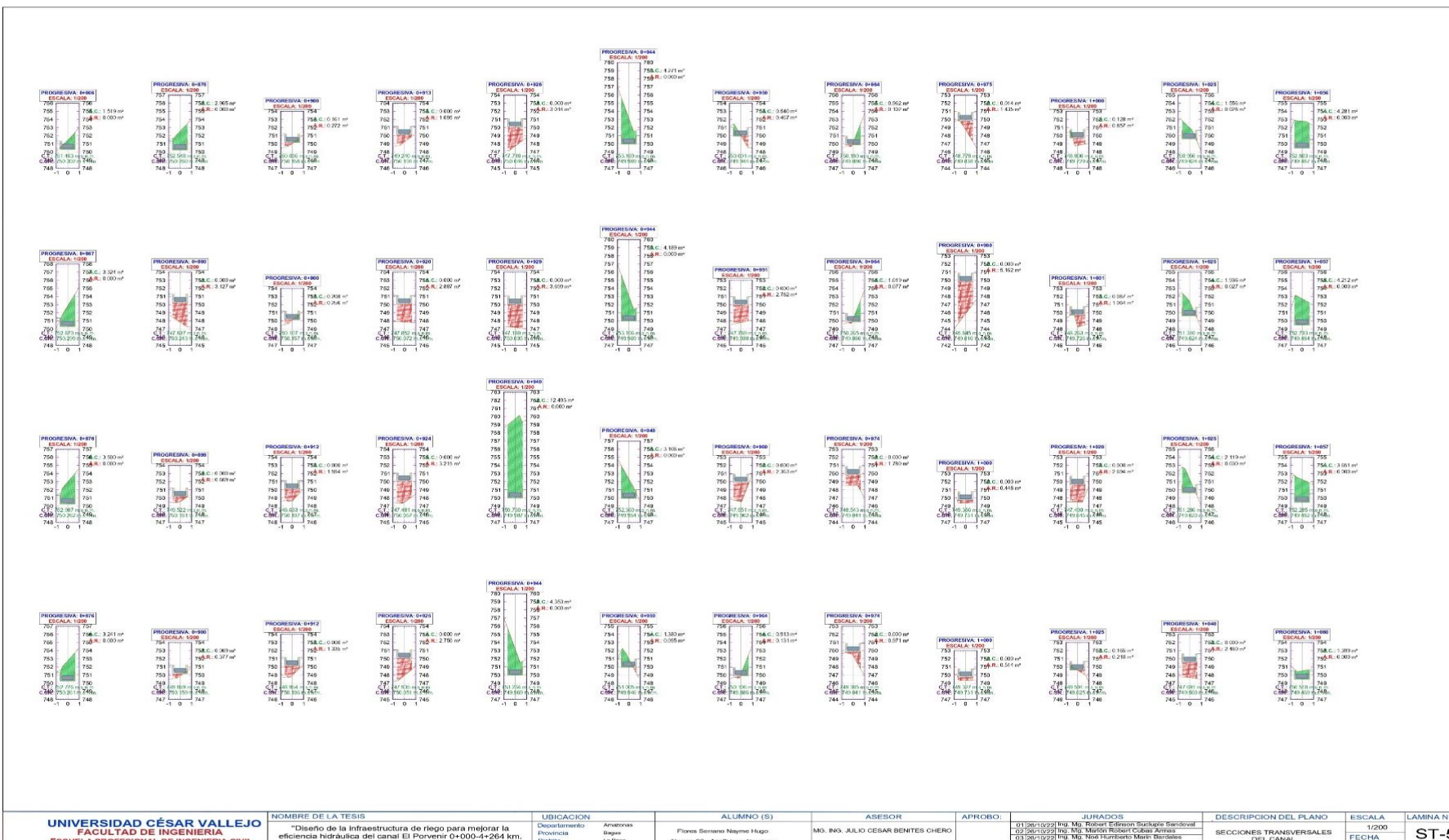


Figura 14: Secciones transversales

Fuente: Elaboración propia

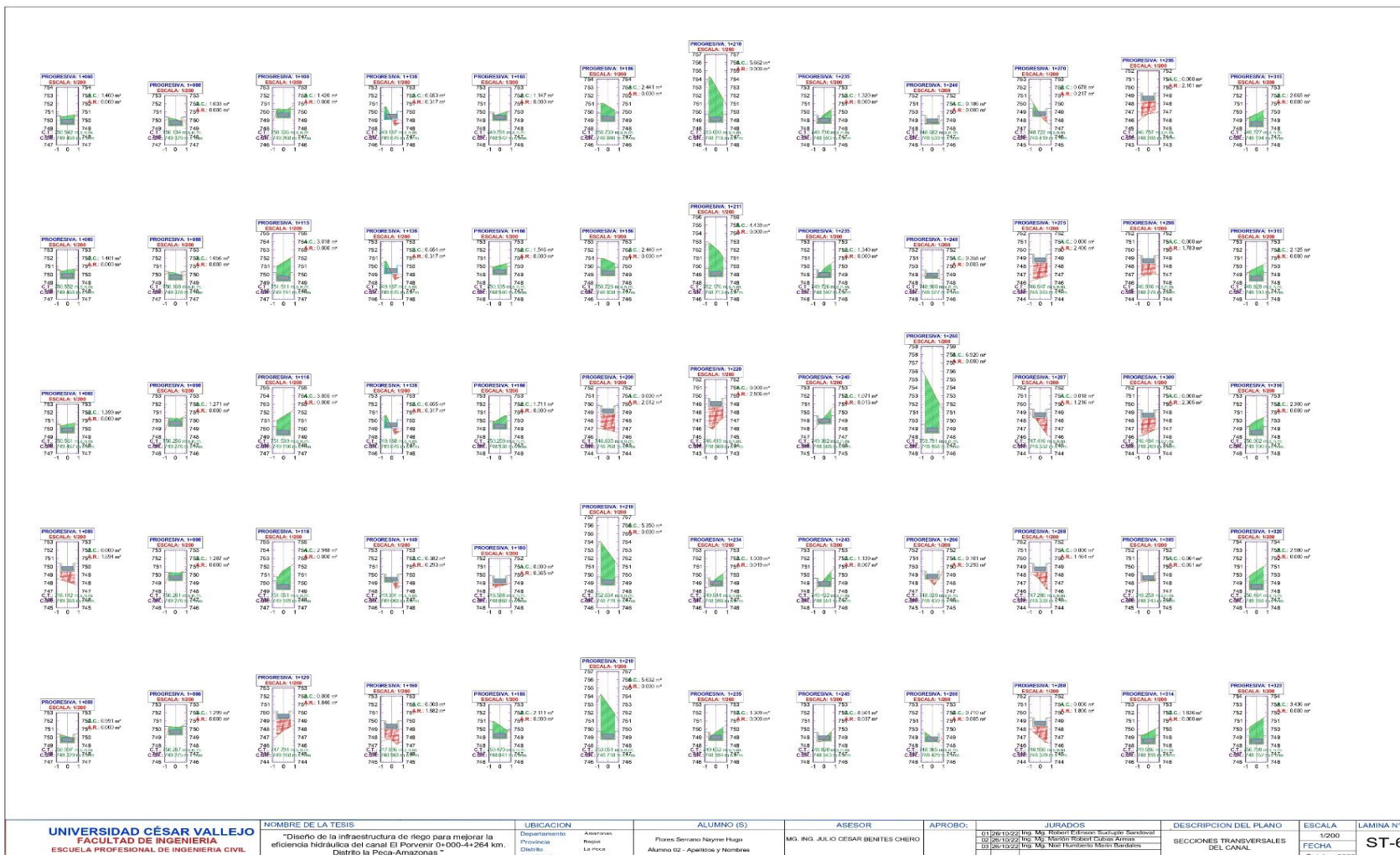


Figura 15: Secciones transversales

Fuente: Elaboración propia

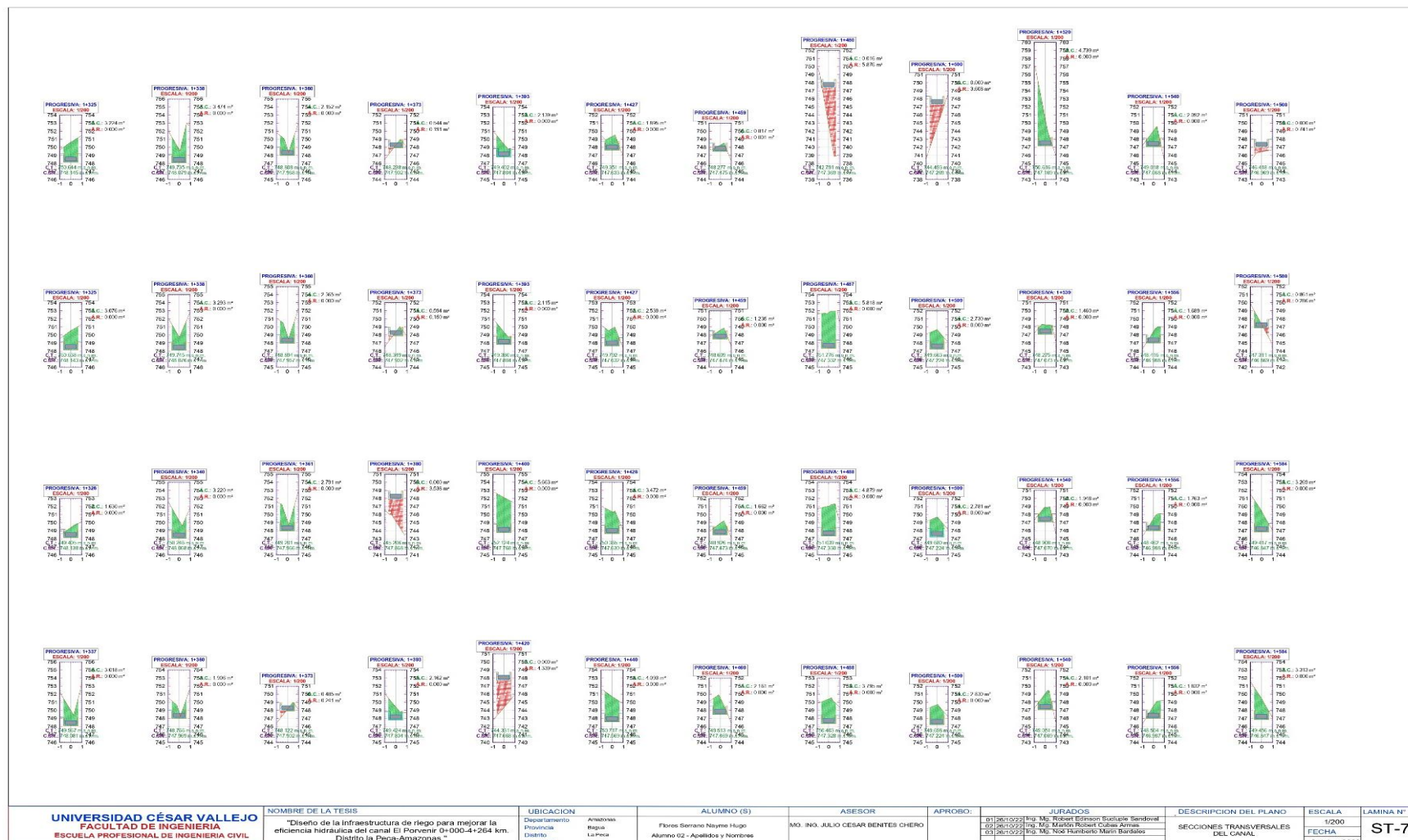


Figura 16: Secciones transversales

Fuente: Elaboración propia

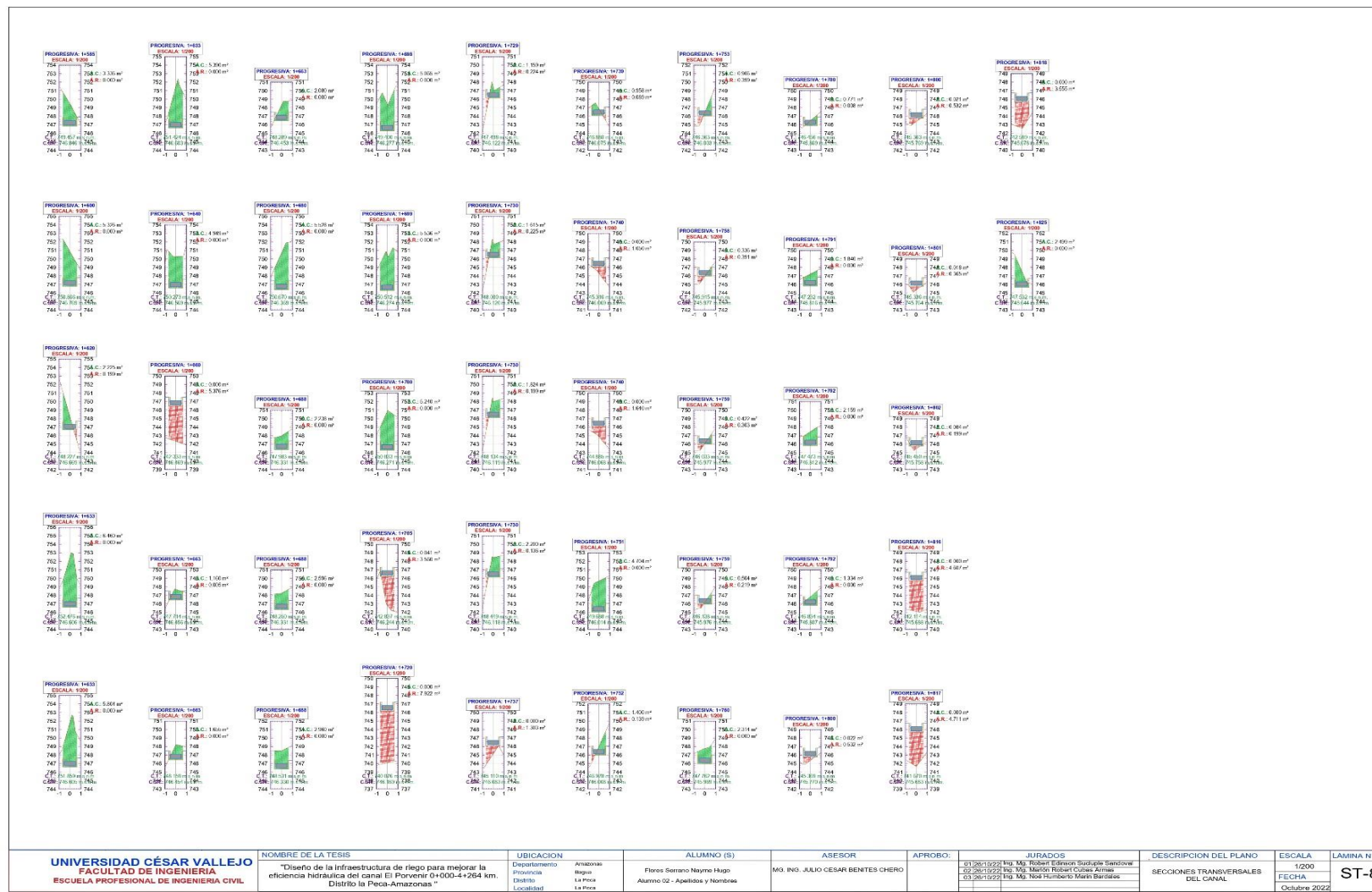


Figura 17: Secciones transversales

Fuente: Elaboración propia

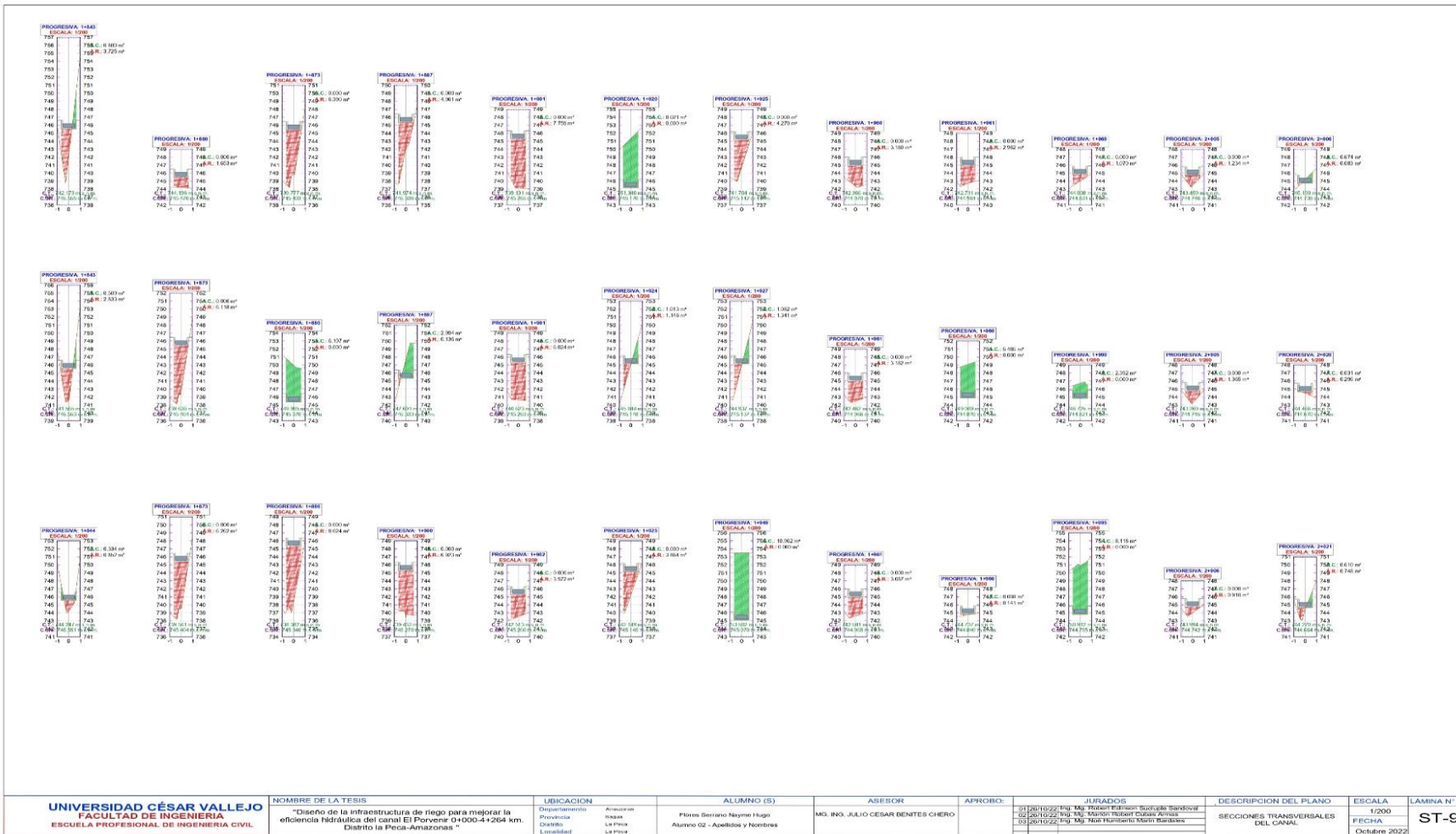


Figura 18: Secciones transversales

Fuente: Elaboración propia

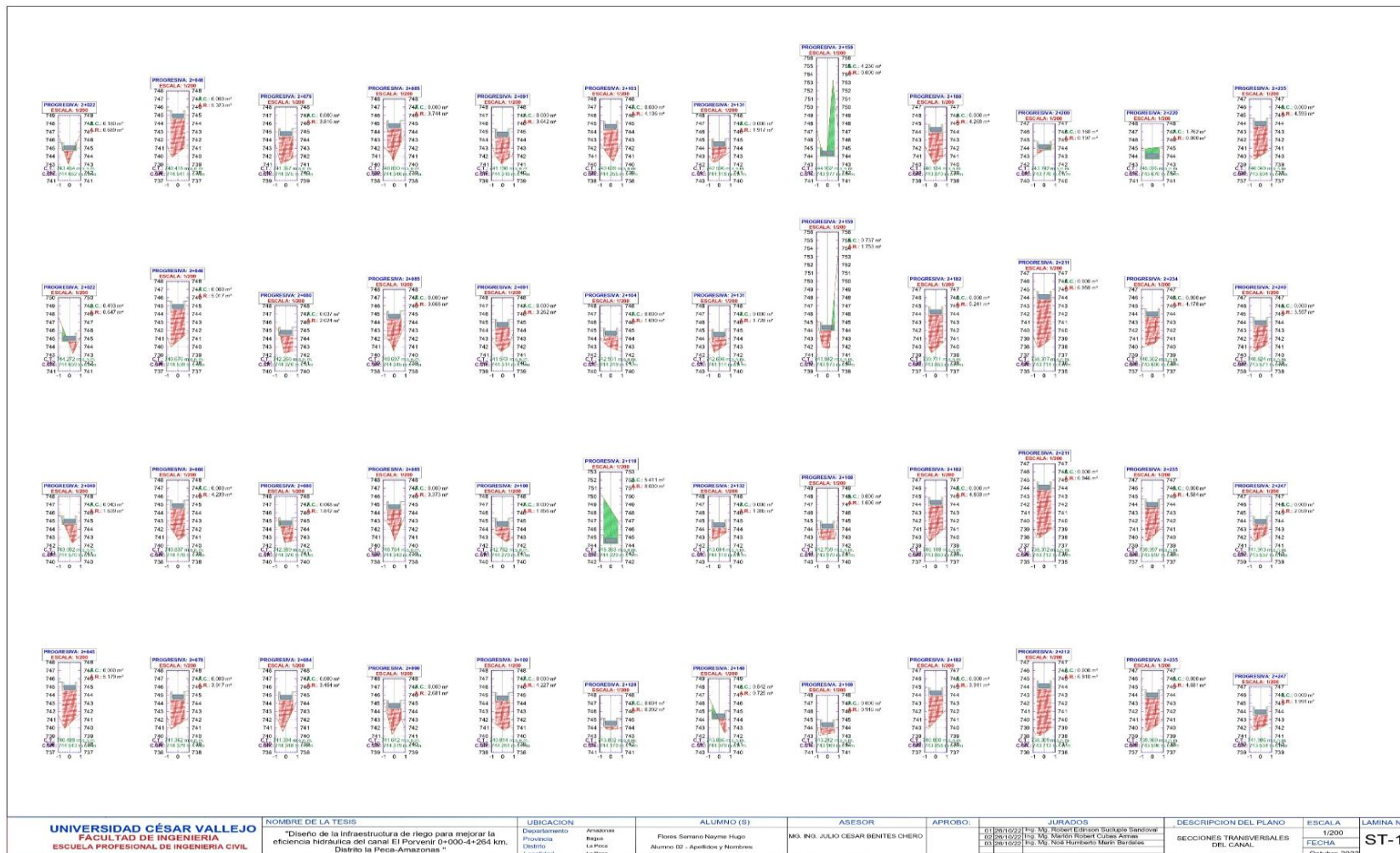


Figura 19: Secciones transversales

Fuente: Elaboración propia

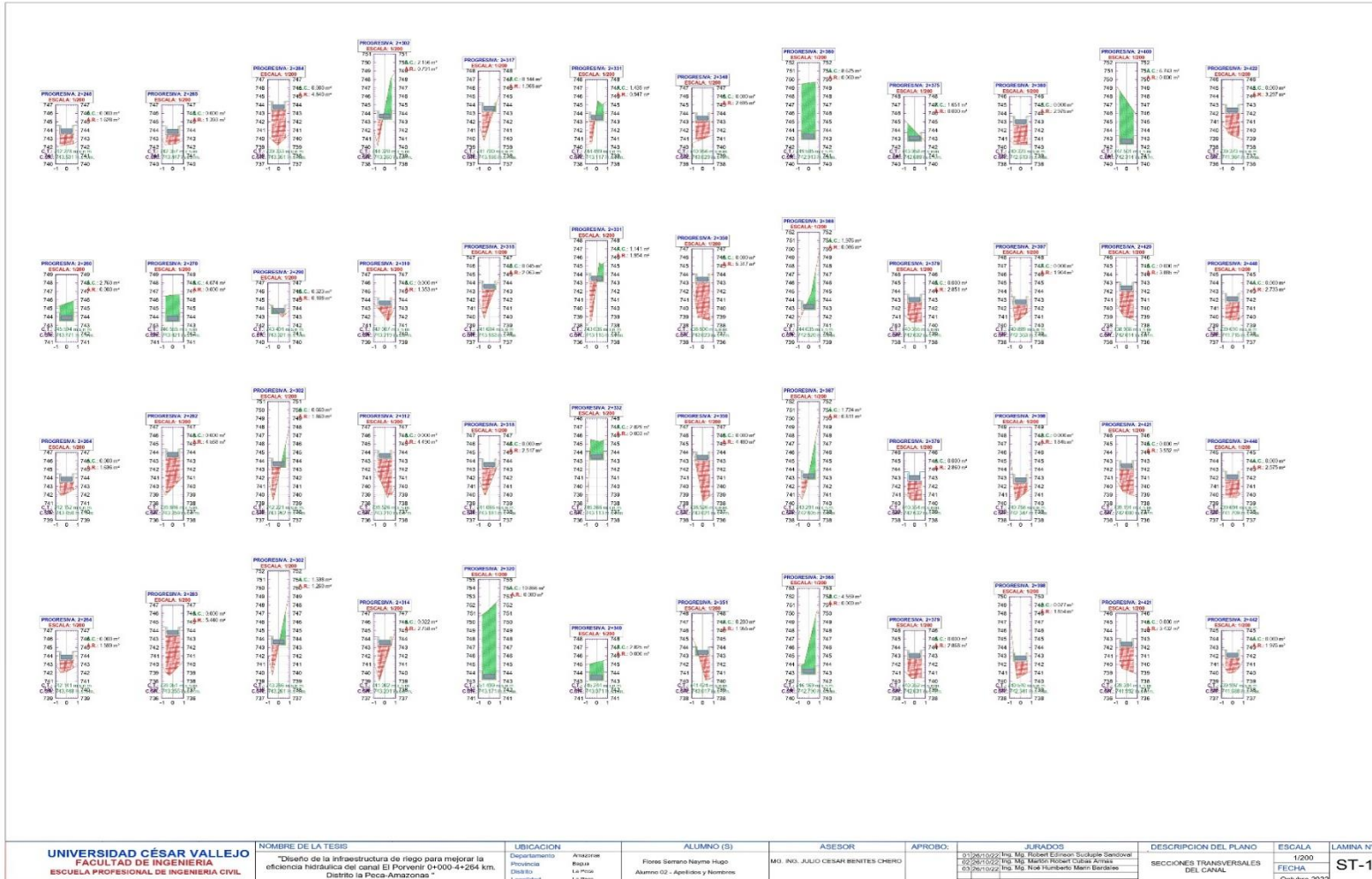


Figura 18: Secciones transversales

Fuente: Elaboración propia

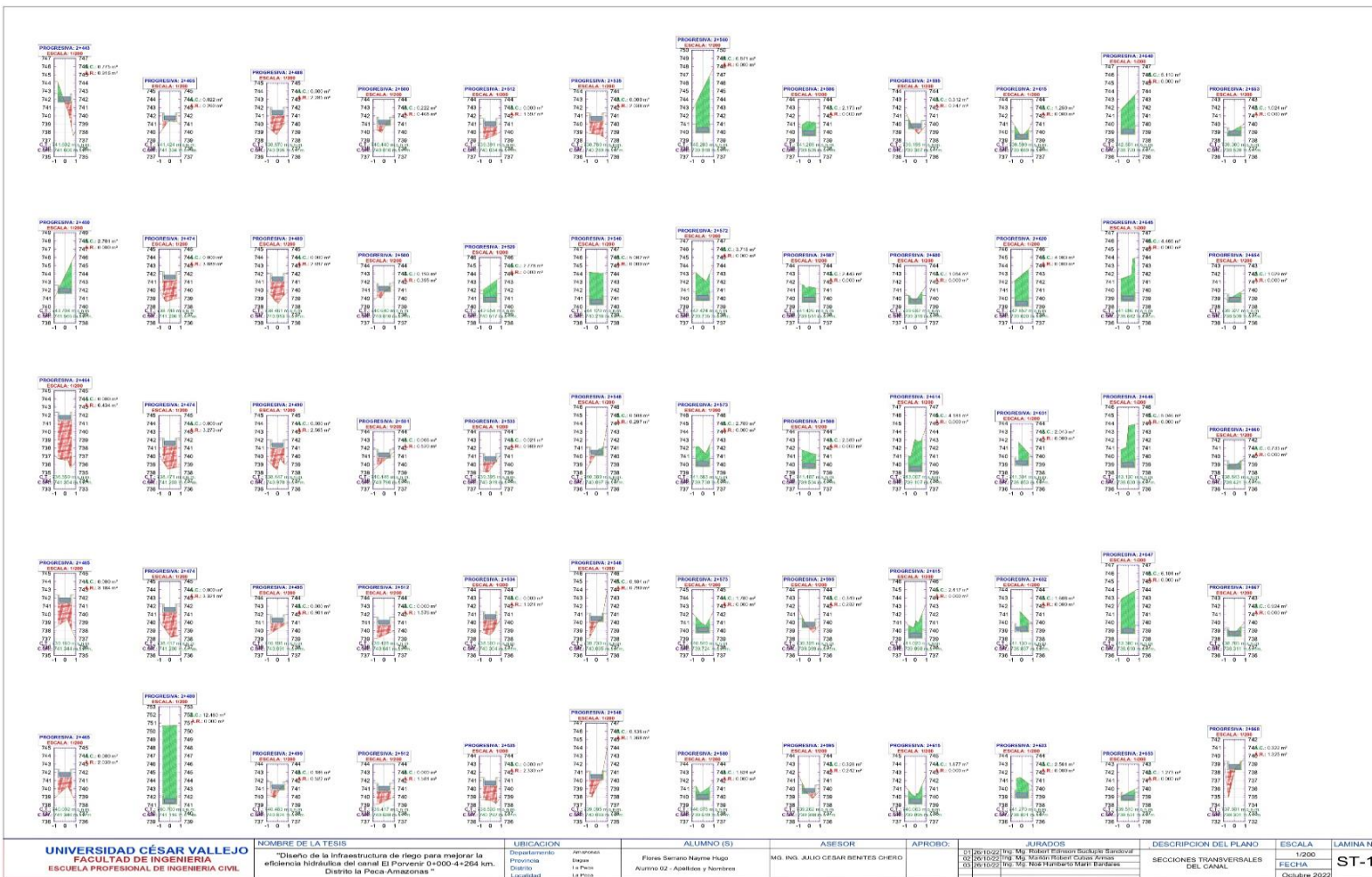


Figura 19: Secciones transversales

Fuente: Elaboración propia



Figura 20: Secciones transversales

Fuente: Elaboración propia

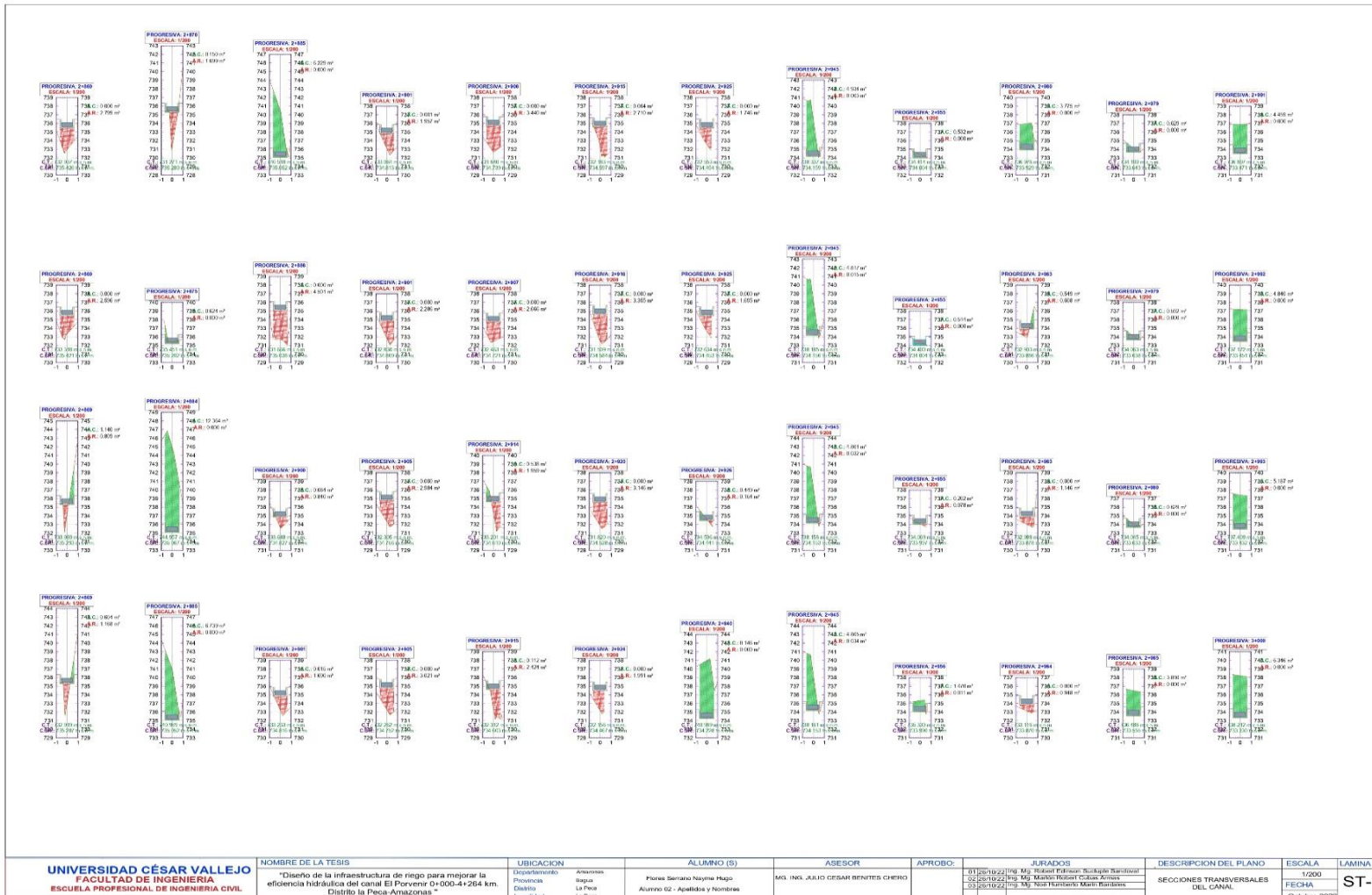


Figura 21: Secciones transversales

Fuente: Elaboración propia

| NOMBRE DE LA TESIS | UBICACION | ALUMNO (S) | ASESOR | APROBO: | JURADOS | DESCRIPCION DEL PLANO | ESCALA | LAMINA N° |
|---------------------------------------------------------------------------------------------------------------------------------------|-----------------------------------------------------------------------------------------|-------------------------------------------------------------|------------------------------------|-------------------------------------------------------------------------------------------------------------------------------------------------------------------|---------------------------------------------|-----------------------|--------|-----------|
| Diseño de la infraestructura de riego para mejorar la eficiencia hidráulica del canal El Pervenir O+000-4+264 km. Distrito La Peña | Departamento: Amazonas Provincia: Iquitos Distrito: La Peña Localidad: La Peña | Hores Serrano Nayme Hugo Alumno G2 - Apellidos y Nombres | MO. ING. JULIO CESAR BENITES CHERO | 0120210222 Ing. Mj. Róbin Edilson Simón Galván Santander 0220210222 Ing. Mj. Martín Roldán Calle Armas 0320210222 Ing. Mj. Nelson Hernández Martínez Roldán | SECCIONES TRANSVERSALES DEL CANAL: ST-14 | FECHA: Octubre 2022 | 1:200 | |

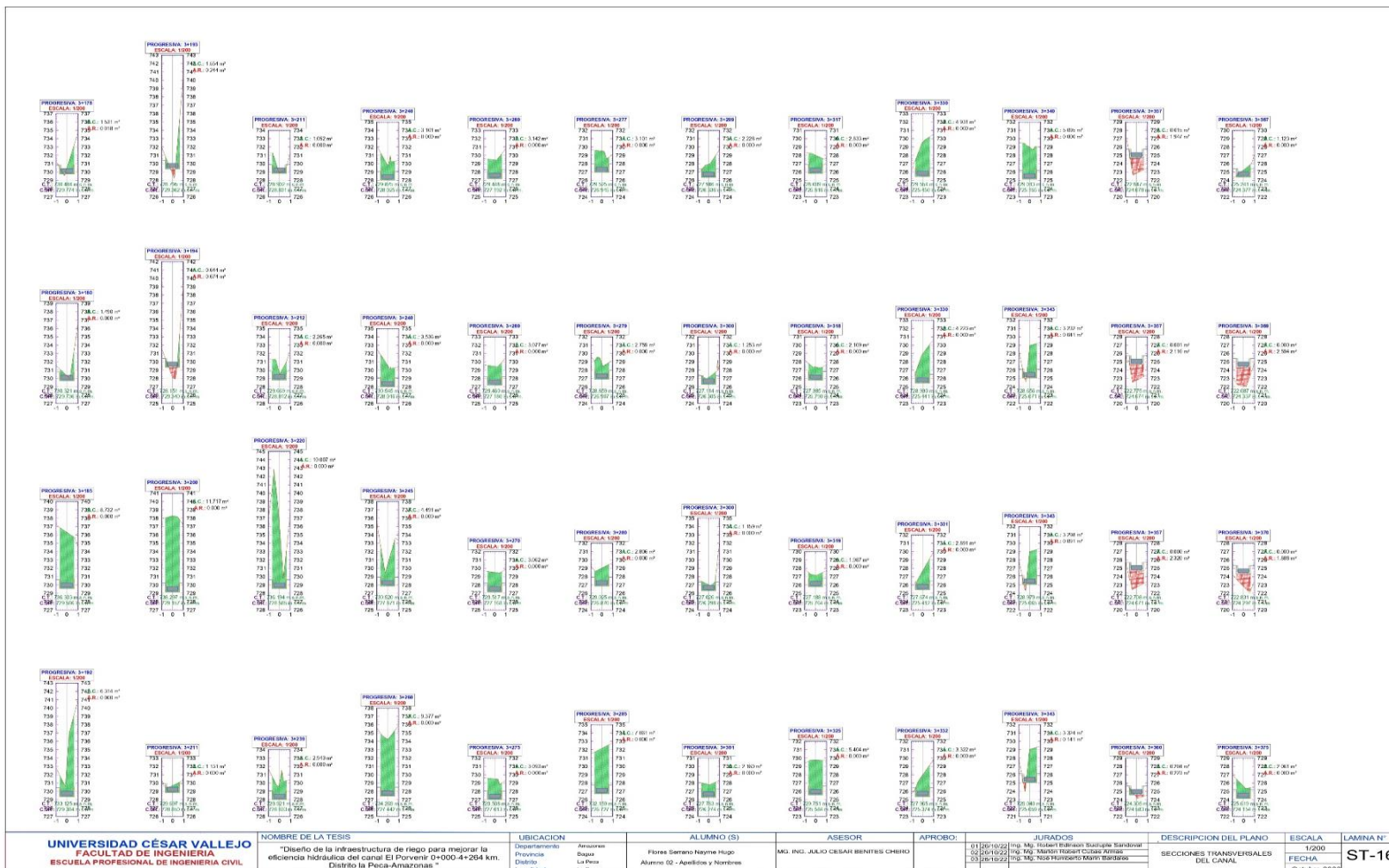


Figura 22: Secciones transversales

Fuente: Elaboración propia

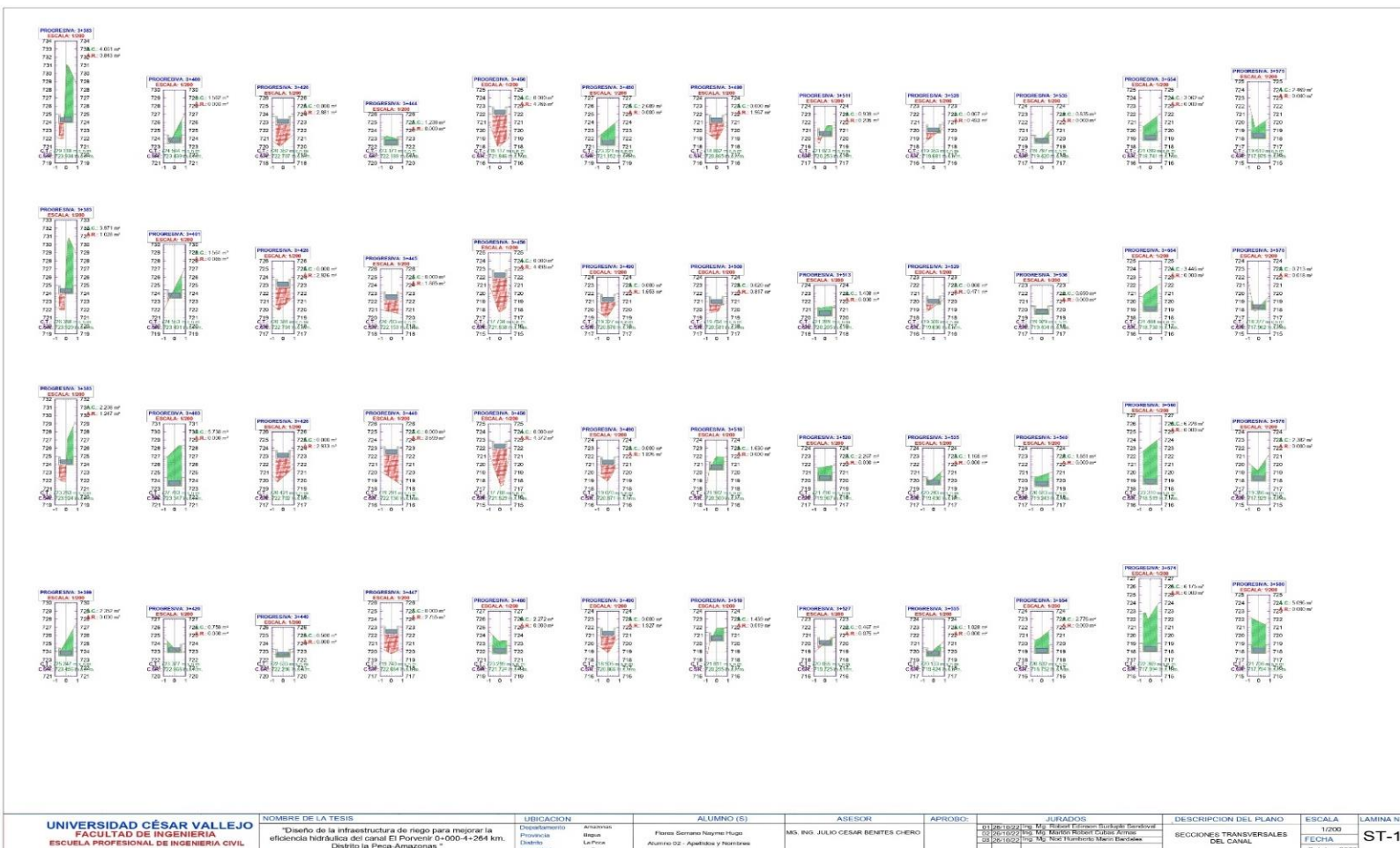


Figura 23: Secciones transversales

Fuente: Elaboración propia



Figura 24: Secciones transversales

Fuente: Elaboración propia

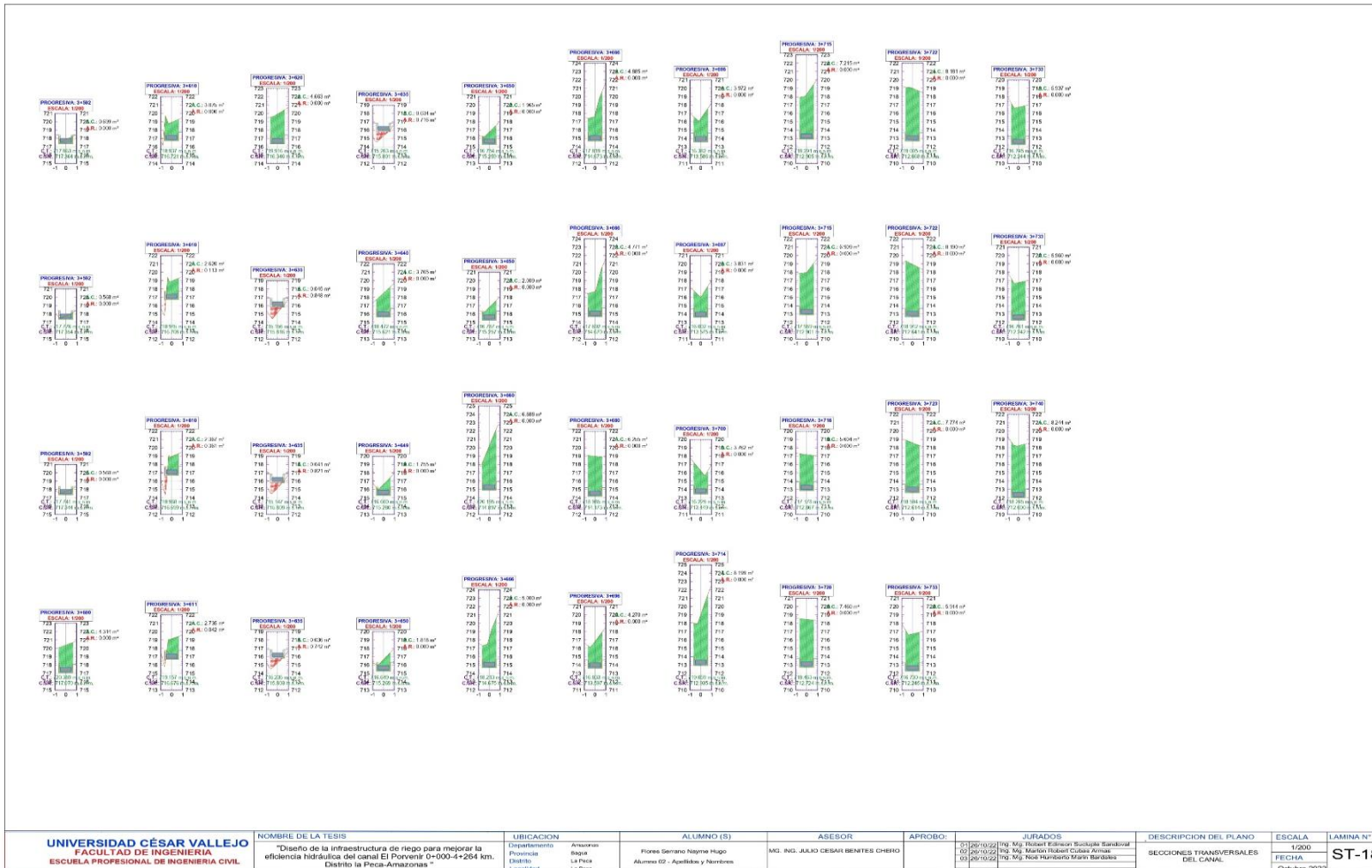


Figura 25: Secciones transversales

Fuente: Elaboración propia



Figura 26: Secciones transversales

Fuente: Elaboración propia

Anexo 06: Estudio ambiental

El **estudio ambiental** revisado para el proyecto de riego en el canal El Porvenir, abarcando un tramo de 0+000 a 4+264 km, ha implementado una evaluación detallada mediante la matriz de Leopold, optimizando el análisis de impacto ambiental. A través de este enfoque meticuloso, se identificaron y mitigaron los impactos ambientales, lo que resultó en una puntuación mejorada y ajustada a un valor menor a 120, específicamente una puntuación de 118. Esta mejora sustancial indica que el proyecto no solo es viable sino también sostenible con respectivas adaptaciones y mitigaciones.

Tabla 01: Estudio ambiental

| | Construcción del canal | Operación del sistema de riego | Mantenimiento del sistema |
|-------------------------------------------|---------------------------|-----------------------------------|------------------------------|
| Alteración del hábitat | -8 | -2 | 0 |
| Impacto en la calidad del agua | -5 | 3 | 1 |
| Erosión del suelo | -7 | -1 | 2 |
| Efectos sobre la biodiversidad | -6 | 2 | 1 |
| Uso eficiente del agua | 0 | 5 | 3 |
| Mejora de la cobertura vegetal | 0 | 4 | 2 |

Fuente: Elaboración propia

Se han propuesto las siguientes mejoras y adaptaciones para asegurar un impacto ambiental manejable:

Sistema de Riego Tecnificado: Implementación de un sistema de riego por goteo para minimizar el uso de agua y evitar el desperdicio de recursos hídricos. Esta tecnología reduce significativamente la evaporación y la filtración, garantizando que el agua se utilice de manera más eficiente.

Programas de Reforestación: Iniciar un programa de reforestación en las áreas adyacentes al canal para mejorar la captación de agua, reducir la erosión del suelo y aumentar la biodiversidad local. Se plantarán especies nativas que son resistentes a las condiciones climáticas y requieren mínimos cuidados.

Sistemas de Monitoreo Ambiental: Establecimiento de estaciones de monitoreo a lo largo del canal para supervisar la calidad del agua, la salud del ecosistema y los niveles de erosión del suelo. Esta información permitirá ajustes en tiempo real para minimizar cualquier impacto negativo.

Capacitación Comunitaria: Desarrollo de programas de capacitación para las comunidades locales sobre prácticas de riego sostenible y conservación del agua. Esto no solo aumentará la eficiencia del uso del agua, sino que también promoverá la sostenibilidad a largo plazo del proyecto.

Evaluación Continua: Realización de evaluaciones de impacto ambiental anuales para monitorear la efectividad de las medidas de mitigación implementadas y realizar ajustes según sea necesario.

**FACULTAD DE INGENIERÍA Y ARQUITECTURA
ESCUELA PROFESIONAL DE INGENIERÍA CIVIL**

Declaratoria de Autenticidad del Asesor

Yo, BENITES CHERO JULIO CESAR, docente de la FACULTAD DE INGENIERÍA Y ARQUITECTURA de la escuela profesional de INGENIERÍA CIVIL de la UNIVERSIDAD CÉSAR VALLEJO SAC - CHICLAYO, asesor de Tesis titulada: "Diseño de la infraestructura de riego para mejorar la eficiencia hidráulica del canal El Porvenir 0+000-4+264 km. Distrito la Peca-Amazonas.", cuyo autor es FLORES SERRANO NAYME HUGO, constato que la investigación tiene un índice de similitud de 19%, verificable en el reporte de originalidad del programa Turnitin, el cual ha sido realizado sin filtros, ni exclusiones.

He revisado dicho reporte y concluyo que cada una de las coincidencias detectadas no constituyen plagio. A mi leal saber y entender la Tesis cumple con todas las normas para el uso de citas y referencias establecidas por la Universidad César Vallejo.

En tal sentido, asumo la responsabilidad que corresponda ante cualquier falsedad, ocultamiento u omisión tanto de los documentos como de información aportada, por lo cual me someto a lo dispuesto en las normas académicas vigentes de la Universidad César Vallejo.

CHICLAYO, 05 de Diciembre del 2022

| Apellidos y Nombres del Asesor: | Firma |
|----------------------------------------------------------------------------------------|------------------------------------------------------------------------|
| BENITES CHERO JULIO CESAR DNI: 16735658 ORCID: 0000-0002-6482-0505 | Firmado electrónicamente por: JBENITESCE el 19- 12-2022 21:46:34 |

Código documento Trilce: TRI - 0473293